## ESCUELA SUPERIOR POLITÉCNICA DEL LITORAL

### Facultad de Ingeniería Ciencias de la Tierra

Desarrollo de mapas de mapas de presión y permeabilidad de la arena productoras del campo Parahuacu, mediante software OFM.

#### PROYECTO INTEGRADOR

Previo la obtención del Título de:

Nombre de la titulación Ingeniero de petróleo

Presentado por:

- Allison Jazmin Castro Pionce
  - Jean Carlos Sánchez Jinez

GUAYAQUIL - ECUADOR Año: 2020

### **DEDICATORIA**

Jean Sánchez: A mi padre Byron Sánchez y mi abuela Cecilia Naranjo, que siempre me apoyaron en todo momento, me dieron educación y consejos. A la licenciada Shirley Flores, que sin su ayuda no hubiera podido hacer la tesis.

Allison Castro: A mi mamá Daysi Pionce, a mi papá Walter Castro, mis hermanas María y Narcisa, mi sobrina Victoria, mis tías Zoila, Yenny y Nancy, mi novio Bryan Mujica, son las personas que me dieron las fuerzas necesarias para seguir adelante, en especial mi madre que desde el cielo guía mi camino.

#### **AGRADECIMIENTOS**

Jean Sanchez: Agradezco a Dios por apoyarme durante todo este tiempo y guiarme por el mejor camino para cumplir mis metas, a mis padres y abuela. Le doy gracias a la Licenciada Shirley Flores porque nunca se apartó de mi lado y me apoyó para culminar la tesis. Agradezco al Licenciado Eduardo Franco, sin su ayuda no hubiera ingresado a La universidad.

Allison Castro: Agradezco principalmente a Dios por haberme guiado en todo mi camino estudiantil, a mi prima Estefanía Mise por sus enseñanzas diarias, a Geoconda Chiquito, Nelson Mujica y Jeaneth Chiquito por apoyarme, a mi novio Bryan Mujica por darme su apoyo incondicional y estar en todos los momentos de mi vida, a mi tío Carlos Castro por permitirme estudiar en su casa, finalmente le agradezco a mis tias sin duda alguna son las personas que siempre me han ayudado en mi vida académica.

En conjunto agradecemos a los ingenieros Fernando Sagñay, Danilo Arcentales, Andrés Guzmán, Ángel Loor y Karen Loor. Y sin duda a los demás ingenieros de la facultad que estuvieron presto en ayudarnos.

## **DECLARACIÓN EXPRESA**

"Los derechos de titularidad y explotación, nos corresponde conforme al reglamento de
propiedad intelectual de la institución; Allison Jazmin Castro Pionce y Jean Carlos Sánchez
Jinez y damos nuestro consentimiento para que la ESPOL realice la comunicación pública
de la obra por cualquier medio con el fin de promover la consulta, difusión y uso público de
la producción intelectual"

Jean Sánchez Jinez

Allison Castro Pionce

## **EVALUADORES**

Ing. Fernando Sagñay Ing. Andrés Guzmán

PROFESOR DE LA MATERIA PROFESOR TUTOR

RESUMEN

La presente investigación se realiza con la finalidad de desarrollar mapas de presión y permeabilidad

de las arenas productora del campo Parahuacu, mediante la utilización del software OFM. Los mapas

ayudan a tener conocimiento del estado actual de las presiones y permeabilidades, con el objetivo de

mejorar estos parámetros mediante reacondicionamientos o un proyecto de recuperación secundaria.

La arena con mayor producción es T inferior, en la cual se procedió a realizar análisis más detallados,

donde se llevó acabo interpretaciones actualizadas de pruebas de restauración en el software Saphir,

mediante la construcción de matrices se logró ordenar y depurar la información para que sea confiable

al momento de utilizar data de los pozos; por medio de extrapolaciones se obtuvo la estimación de

presión y producción a la fecha del 31de diciembre del 2020.

A partir de la combinación de los mapas elaborados, se observan zonas donde existen bajos valores

de permeabilidad y altos valores de presión de yacimiento. Por otra parte, en tales regiones se llevó

acabo los análisis de declinación, por lo cual se determinó que en los pozos cercanos existen valores

moderados de reservas remanentes. Esto permite concluir que estas zonas son aptas para realizar

programas de reacondicionamientos y métodos de estimulación o fracturamiento.

Palabras Clave: Reacondicionamiento, Pruebas de restauración, Saphir, Yacimiento.

V

**ABSTRACT** 

The present research is carried out with the purpose of developing pressure and permeability maps of

the productive sands of the Parahuacu field, using the OFM software. The maps help to have

knowledge of the current state of the pressures and permeabilities, with the objective of improving

these parameters by means of reconditioning or a secondary recovery project.

The sand with the highest production is lower T, in which more detailed analyses were carried out,

where updated interpretations of build up tests were made in the Saphir software. By means of the

construction of matrices, the information was ordered and purified so that it is reliable when using

data from the wells; by means of extrapolations, the pressure and production estimates were obtained

as of December 31, 2020.

From the combination of the maps elaborated, zones where there are low permeability values and high

reservoir pressure values are observed. On the other hand, in such regions the decline analysis was

carried out, so it was determined that in the nearby wells there are moderate values of remaining

reserves. This allows us to conclude that these zones are suitable to carry out reconditioning programs

and stimulation or fracture methods.

Keywords: Reconditioning, Build up test, Saphir, Oilfield.

V١

# ÍNDICE GENERAL

CA	PÍTU	LO I		1
1.	Intro	oduc	ción	1
•	1.2.	Des	cripción del problema	2
•	1.2.	Jus	tificación del problema	2
•	1.3.	Obj	etivos	3
	1.3.	1	Objetivo general	3
	1.3.	2	Objetivos específicos	3
•	1.4.	Mar	co teórico	4
CA	PÍTU	LO I	l	9
2.	Met	odol	ogía	9
2	2.1.	Tipo	de estudio	9
2	2.2.	Mue	estra	9
2	2.3.	Pro	cesamiento y Análisis de Información	9
	2.3.	1	Compilación de datos	9
	2.3.	2	Organización de información	10
	2.3.	3	Extrapolación de presiones	11
	2.3.	4	Ingreso de datos a Saphir	11
	2.3.	5.	Análisis para la construcción de mapas de presión y permeabilidad	16
	2.3.	6	Generar mapas de presión y permeabilidad con OFM	16
CA	PÍTU	LO I	II	19
3.	Res	ultad	dos y análisis	19
3	3.1.	Res	sultados estadísticos	19
3	3.2.	Mat	riz de completaciones	20
3	3.3.	Mat	riz histórica de build up de la arena Ti	21
3	3.4.	Nue	evas interpretaciones	22
3	3.5.	Mat	riz resultado	24
3	3.6.	Pro	yecciones de presiones mediante interpolación	25
3	3.7.	Мар	oas isobáricos	26
3	3.8.	Map	pas de permeabilidades	30

3.9.	Análisis de reacondicionamiento	34
CAPÍTU	ILO IV	39
4. Cor	nclusiones y recomendaciones	39
4.1.	Conclusiones	
4.2.	Recomendaciones	
	afía	
•	e No.1	
•	e No. 2	
Apéndic	e No 3	63
	ABREVIATURAS	
°API.	American Petroleum Institute (Instituto Americano del Petróleo)	
BHP.	Bottomhole Pressure (Presión de fondo de pozo)	
BLS.	Barriles	
BPPD.	Barriles de petróleo por día	
BPAD.	Barriles de Agua por día	
BSW.	Basic Sediment and Water (porcentaje de agua y sedimentos)	
BT.	Basal Tena	
BUP.	Build Up	
Ct.	Compresibilidad de la roca	
Fr.	Factor de recobro	
Grad.	Gradiente	
Hs.	Hollín superior	
K.	Permeabilidad	
Kh.	Capacidad de flujo	
Ko.	Permeabilidad efectiva del petróleo	
Np.	Petróleo producido	
OFM.	Oil Field Manager	
OMC.	Organización Mundial del Comercio	
PAM.	PetroAmazonas	
Pi.	Presión inicial	
PIB.	Producto Interno Bruto	
POES.	Petróleo de reservorio	
Pr.	Presión de reservorio	
PVT.	Presión, Volumen y temperatura	
Pwf.	Flowing Well Pressure (presión de fondo fluyente)	
Pws.	Static Well Pressure (presión estática del pozo)	

R<sub>w.</sub> Radio del pozo

S. Skin (Daño de formación)

Sw Saturación del agua

Ti. T inferior Ts. T superior

TVD. True Vertical Depth (profundidad vertical verdadera)

Ui. U inferior WO. Workover

## **SIMBOLOGÍA**

cP Centipoise mD Mili Darcy

Ft Pie

Psi Pound Square inch (Libras por pulgada cuadrada)

## ÍNDICE DE FIGURAS

Figura 1.1. Herramienta de identificación de regímenes de flujo
Figura 2.1. Ingreso a software Saphir
Figura 2.2. Crear nuevo análisis
Figura 2.3. Ingreso de información básica
Figura 2.4. Ingreso de datos del pozo
Figura 2.5. Ingreso de definición de proceso
Figura 2.6. Ingreso de parámetros analíticos
Figura 2.7. Selección de parámetros numéricos
Figura 2.8. Selección de modelo de pozo
Figura 2.9. Ingreso de data de presión y permeabilidad
Figura 2.10. Generación de gráficos
Figura 2.11. Ingreso a software OFM
Figura 2.12. Ingreso de base de datos
Figura 2.13. Creación de base de datos de presión y permeabilidad
Figura 2.14. Graficar mapas
Figura 3.15. Total de completaciones del campo

Figura 3.16. Total de completaciones en porcentaje	19
Figura 3.17. Interpretación de PRH-030, T inferior	22
Figura 3.18. Interpretación de PRH-008, T inferior	22
Figura 3.19. Interpretación de PRH-012, T inferior	23
Figura 3.20. Estimación de presión de PRH-001, Ts	25
Figura 3.21. Estimación de presión de PRH-008, T inferior	25
Figura 3.22. Mapa isobárico, Basal Tena	26
Figura 3.23. Mapa isobárico, U inferior	27
Figura 3.24. Mapa isobárico, T superior	28
Figura 3.25. Mapa isobárico, T inferior	29
Figura 3.26. Mapa de permeabilidad, Basal Tena	30
Figura 3.27. Mapa de permeabilidad, U inferior	31
Figura 3.28. Mapa de permeabilidad, T superior	32
Figura 3.29. Mapa de permeabilidad, T inferior	33
Figura 3.30. Historial de producción, PRH-002 U inferior	34
Figura 3.31. Historial de producción, PRH-011 BT	36
Figura 3.32. Historial de producción, PRH-008 T inferior	36
Figura 3.33. Historial de producción, PRH-020 U inferior	37
ÍNDICE DE TABLAS	
Tabla 1.1. Identificación del modelo del yacimiento	6
Tabla 3.2 Matriz de completaciones	20
Tabla 3.3 Matriz histórica de build up de arena T inferior	21
Tabla 3.4 Matriz resultado de interpretaciones actualizadas	24
Tabla 3.5. Declinación PRH-002 U inferior	35
Tabla 3.6. Declinación PRH-008 T inferior	35
Tabla 3.7. Declinación PRH-013 T inferior	36
Tabla 3.8. Declinación PRH-020 U inferior	38

# CAPÍTULO I

#### 1. Introducción

El petróleo, es considerado como el oro negro que, forma parte de las principales fuentes de energía a nivel mundial, dando impulso al progreso en la economía de quién lo tenga. Según los estudios realizados por la Doctora en economía Myriam Quiroa, indica que la industria petrolera representa el 2.5% del producto interior bruto mundial (PIB). (Quiroa, 2019). La Organización Mundial del Comercio (OMC) afirma que la industria petrolera en el Ecuador representó el 4,8 % del PIB en el 2017. (Comercio, 2017)

Por las dificultades económicas que atraviesa el país, se ha puesto el desafío de incrementar la producción de los campos petroleros. Conociendo de mejor forma las presiones del reservorio, se puede definir zonas que no han sido producidas o explotadas, en las cuales se ve tentado en explorar y explotar o aumentar zonas de drenajes por pozos cercanos en áreas de alta presión, también busca estimular pozos maduros. Por esta razón se realiza el estudio de cambios de presiones y permeabilidades extrapolando las presiones de las arenas productoras de cada pozo en la cual se realiza interpretaciones de la arena más productora para obtener data más real y precisa.

El campo Parahuacu forma parte de los 93 bloques petroleros que tiene el Ecuador, perteneciendo al bloque 56. Fue descubierto por la compañía Texaco-Golf, inició su producción en el año 1978 con 900 BPPD, teniendo un POES de 329.5 MMBls, ubicado en la provincia de Sucumbíos, formado por una estructura anticlinal alargada limitada por una falla, su producción se realiza principalmente de las arenas T inferior y U inferior, además posee 27 pozos perforados de los cuales 19 pozos se encuentran en producción.

El presente trabajo se lo realiza mediante extrapolaciones de cambios de presiones e interpretaciones de permeabilidades, que determina el comportamiento del reservorio durante toda la etapa de producción, revelando zonas que han sufrido cambios de presión y permeabilidad con respecto al tiempo. Los mapas isobáricos y de permeabilidad son herramientas capaces de proporcionar

información detallada de los cambios petrofísicos del reservorio, donde busca determinar el valor de la presión promedio estática actual, post producción, que permite calcular valores incluyendo el límite económico. En campos maduros, la extracción del crudo es complejo en comparación a los pozos con poco tiempo de producción y se requiere de un conjunto de herramientas y técnicas para mejorar la producción, provocando una mayor inversión. Con esta información se propone a la gerencia de activos, repotenciar pozos con baja productividad, favoreciendo a la economía del país.

#### 1.2. Descripción del problema

El campo Parahuacu se encuentra ubicado sobre el flanco norte del arco de la trans-cuenca, que separa la cuenca del oriente en Ecuador y Perú hacia el sur de la cuenca Putumayo en Colombia. Ya que está en una zona formado por estructuras anticlinales alargadas limitadas por falla inversa, no cuenta con acuíferos laterales ni de fondo que aporte energía al fluido de formación, en la cual apunta a numerosos estudios para determinar el mejor método de levantamiento artificial. Debido a este problema existe una baja producción, y para mejorarlo se requiere de datos en pruebas de presiones (build up), conocer métodos y modelos que engloban el análisis e interpretación de dichas pruebas.

En la actualidad se presentan inconvenientes con pozos maduros que no cuentan con suficiente información para su respectivo análisis, dichos pozos han sido abandonados, cerrados o han tenido fallas operacionales que preferentemente optaron en dejar de registrar su actividad productiva. Si no se cuenta con un análisis para su abandono o cierre temporal existe la posibilidad que se presenten anomalías en cambios de presiones y temperaturas en el yacimiento, haciendo que se vuelva un peligro para la infraestructura, tanto en fondo como en superficie y al personal de trabajo.

#### 1.2. Justificación del problema

Debido a la ubicación geográfica del campo, se sabe que su mecanismo de producción primaria es de expansión roca fluido, esta energía es débil y varía con el tiempo, es por ellos que se requiere desarrollar mapas de presión y permeabilidad para conocer:

- ¿Conocer pozos que tengan problema de permeabilidad y presión, que implique baja productividad?
- ¿En qué punto se puede aplicar un reacondicionamiento o recuperación para mejorada la producción de los pozos?

• ¿Qué pozos se puedan convertir de productores a inyectores para mantenimiento de presión de la arena?

El análisis de prueba de restauración de presión (build up), es la más empleada por los ingenieros en yacimientos debido a que se efectúa cuando el pozo ha sido cerrado temporalmente. Se realiza con caudal constante por un tiempo determinado y permite precisar; daño de formación, permeabilidad, presión estática del yacimiento, límites del yacimiento, presencia de fallas, geometría del yacimiento, interferencias en la producción del pozo, efectos de almacenamiento.

Este tipo de pruebas deben ser realizadas con un determinado tiempo previamente establecido por la empresa, tanto estatales como multinacional, deben contar con las respectivas interpretaciones de mapas de presión y permeabilidad, teniendo presente las condiciones actuales del yacimiento para evitar implementar métodos aleatorios, cuya finalidad es la de optimizar la producción; al no contar con las respectivas interpretaciones seguirán teniendo incremento de gastos excesivos operacionales.

#### 1.3. Objetivos

#### 1.3.1 Objetivo general

Verificar la presión promedio estática actual del yacimiento y confirmar la permeabilidad efectiva de las arenas del campo Parahuacu con el fin de optimizar el desarrollo del campo.

#### 1.3.2 Objetivos específicos

- Realizar una matriz histórica con los datos petrofísicos, geológicos, historial de producción, otorgados por Petroamazonas Ep.
- Analizar interpretaciones de los resultados en las pruebas build up de la arena Napo T inferior mediante el programa Saphir.
- Estimar presiones de cierre del año 2020 mediante extrapolaciones
- Realizar mapas de presión y permeabilidad por el programa OFM.

#### 1.4. Marco teórico

Este campo fue descubierto en el año 1968 por la compañía Texaco-Golf iniciando la perforación de su primer pozo llamado PRH-001, debido a la falta de facilidades se conoce que en el año 1978 se perforó formalmente, completado a una profundidad de 10.173 ft, obteniendo una producción comercial de la arenisca "T" de 448 BPPD, teniendo un crudo de 31 °API considerado liviano y 0.2% BSW. (Baby, Patrice; Rivadeneira, Marco; Barragán, 2004).

Los reservorios principales del campo Parahuacu son; T inferior y U inferior, sus reservorios secundarios son; basal tena y T superior, en el 2017 se tenía 23 pozos perforados donde 14 son pozos productores y 9 pozos están cerrados, con una producción de 3159 BPPD, 12% BSW.(Ep, 2017). Los datos otorgados por Petroamazonas Ep, indica que en el año 2020 el campo Parahuacu consta de 27 pozos perforados, 19 en producción, 7 cerrados y 1 abandonado.

Para expresar el comportamiento volumétrico de los fluidos en función de presión y temperatura en un pozo petróleo se hace uso de las propiedades PVT. Durante la vida productiva del yacimiento se conoce que la temperatura tiende a permanecer constante y lo que varía es la presión, esto se debe a que el pozo comienza a depletarse. Este análisis es el principal para determinar comportamientos del fluido en yacimiento, en las líneas de flujos y en las facilidades.(Gonzalez, 2003).

Debido a la extensa información obtenida de cada pozo es necesario desarrollar una matriz en Excel que permite hacer arreglos de tal forma que se identifique los pozos con respecto a sus zonas de producción, donde se presenta trabajos de pruebas de producción, datos petrofísicos y geológicos, completaciones. Con la información organizada se puede escoger los pozos candidatos de estudio para la interpretación e interpolación de pruebas de restauración, posteriormente con el software se generar gráficas cuyas curvas nos indica el estado de cada pozo y del yacimiento.

Existen diferentes métodos de estudios que analizan y estiman los cambios de presiones promedio que ocurren en el yacimiento. En el artículo publicado en el 2003 por el PhD. Freddy H. Escobar en su análisis moderno de presiones de pozos, indica todas las técnicas existentes para interpretar pruebas de pozos, haciendo énfasis en el método más moderno publicado en el 1993 llamado Tiab's Direct Synthesis Technique (TDST), se obtiene una relación para estimar el daño causado por la

convergencia de flujo dual lineal a flujo pseudohemisférico y la posición del pozo. (Freddy Humberto Escobar, 2003).

En marzo del 2004, Freddy H. Escobar, Juan Navarrete y Dario Losada afirmaron que el mejor método que proporciona excelentes resultados para estimar datos derivados de la presión es la función Spline, donde realizaron un exhaustivo análisis de diferentes métodos tales como: Bourdet, Horne, Simons, Clark y Van Golf-Racht, polinomios de primer y segundo grado. La utilización del método en cualquier pozo ayuda a tener características fundamentales del yacimiento.(Freddy Humberto Escobar et al., 2004). Mientras que en agosto del mismo año se presentó un artículo SPE-88874-MS donde indica que las pruebas de presión deben realizarse significativamente teniendo en cuenta los límites extremos cerrados y abiertos y que no solo es necesario identificar estos tipos de sistemas, sino también desarrollar técnicas de interpretación adecuadas para determinar con mayor precisión cómo va evolucionando el yacimiento con respecto a la producción que tendrá toda la vida útil del pozo. Para la identificación de tales parámetros se hace el uso de técnicas convencionales como: análisis log-log y semi-log (presión vs tiempo), Horner y la derivada de la presión. (Freddy H. Escobar et al., 2004). En el 2008 el Msc Raúl Valencia corroboró esta información mediante la investigación de análisis moderno de pruebas de presión, en ese mismo año Fabio Correa aplicó estos métodos sobre interpretación de pruebas de presión tomadas en el campo Colorado en Bucaramanga (Colombia), utilizó técnicas de interpolación tipo Spline en la que llegó a suavizar la curva de datos obteniendo un mejor resultado, por lo consiguiente aplicó herramientas convencionales utilizando técnicas modernas de análisis, llegando a utilizar los mismos métodos que parecen en el artículo SPE-88874-MS, con la ayuda de software PanSystem® y F.A.S.T. WellTest para obtener un mejor análisis.

En el 2019 en Abu Dhabi International Petroleum Exhibition & Conference, Marcos Useche y Francy Francose presentaron un método alternativo a la aproximación de Horner para el análisis multi-tasas de acumulación de presión, el artículo muestra una solución rigurosa para el caso de un análisis de prueba de acumulación con una producción de tasa no constante, complementa la teoría original propuesta por Horner. Esta metodología no calcula un tiempo de producción modificado, en cambio, mantiene el tiempo de producción real y calcula una producción variable tasa, que es una función del tiempo delta ( $\Delta t$ ) para el análisis de acumulación o una función del tiempo (tp) para la reducción análisis.(Freddy H. Escobar et al., 2004).

En Ecuador por lo general se hace el uso de dos softwares para el análisis de pruebas de presión y permeabilidad. Saphir y OFM, se utilizaron en el campo Drago el año 2018 para dicho análisis en la tesis presentado por Bryan Gonzales y en el campo Drago por Alex Chomorro y Jhonny Toalombo en el año 2019 en el campo Libertador. Con toda la información obtenida se determina el mejor método que se utilizará en la presente tesis con el fin de realizar mapas de presión y permeabilidad mediante pruebas de presión. Petroamazonas Ep utiliza el software Saphir para la obtención de gráficas Horner y la derivada, con ello se busca realizar el mejor ajuste de la curva de la derivada de Bourdet con el fin de obtener excelentes interpretaciones.

Se hace uso de los criterios de Dynamic Data Analysis realizado por Olivier Houzé - Didier Viturat - Ole S. Fjaere, en la cual uno de los análisis que se realiza en las interpretaciones es identificar el modelo del yacimiento. La Tabla 1.1 explica las distintas regiones de tiempo, Gingarten (1984) indica los elementos fundamentales independientes del uno con el otro a distintos tiempos; temprano (límites internos), medio (comportamiento del reservorio), tardío (límites externos).(Hechavarría, Rodney; López, 2013).

Tabla 1.1. Identificación del modelo del yacimiento

T I E M P	Efecto de	Constante	• Asume coalmacenar 2013).	ado para las interpretaciones s de presión. onstante al coeficiente de miento de pozo.(Gonzáles,				
O T	almacenamiento	v arrable	compresib dentro del las fases	pozo o la redistribución de de los fluidos.(Gonzáles,				
E			2013).					
M		Provoca cambios	S=0	Sin daño				
P	Factor de daño	en la permeabilidad y	S=+	Con daño				
R		porosidad.	S=-	Estimulado				
A		Se da cuano	lo el espesor abierto	al pozo es menor al espesor				
N	Efecto de	total de l	a formación debid	lo a un mal trabajo de				
О	penetración parcial	<ul> <li>completación.</li> <li>Dependiendo de la completación se puede tener u esférico, hemisférico o semiesférico.(Ahmed, McKinney, 316 C.E.).</li> </ul>						

T I E	Reservorios homogéneos/ Flujo radial infinito	espesor, por Se lo recond Distintivo e perforado.(l	o asume que en toda la zona se tiene la mismo rosidad y permeabilidad. oce por una extensión o tren plano en la derivada. en pozos completados en todo el intervalo del Freddy Humberto Escobar, 2003).								
M P O		Doble porosidad  • Formado rocosa.  • Baja per de alma 2011).									
M E D I	Reservorios heterogéneos	Doble permeabilidad  Reservorios compuestos	<ul> <li>Tiene dos capas de permeabilidades diferentes.</li> <li>Produce un flujo cruzado, generado un diferencial de presión.</li> <li>Considera dos medios distintos en el reservorio.</li> <li>Se utiliza para explicar un cambio radial de propiedades debido a la característica de la formación o un cambio de fluido.(G, 2015)</li> </ul>								
T I E M P	Falla sellante  Falla de sellado simple	<ul> <li>El flujo se o</li> <li>Es una falla</li> <li>Se duplica tiempo y</li> </ul>	I paso de flujo de manera ortogonal hacia la falla. convierte en semi-radial.  I de sellado simple de extensión infinita.  la pendiente semilogarítmica después de cierto la derivada se estabiliza al doble del nivel puzé et al., 2011).								
O	Dos fallas intersecante	<ul> <li>Ángulo de hasta 180°.</li> <li>Limita área</li> </ul>	intersección entre las fallas puede tomar valores de drenaje.								
T A R D	Dos fallas paralelas	<ul><li>Distanciada</li><li>Sera homos</li></ul>	a reservorios de canales. as ortogonalmente. géneo directamente si el pozo se encuentra muy e de las dos fallas.								
Í O	Sistemas cerrados	tiempo en c • Se interpre reservorio p	minución de presión es proporcional a cualquier rualquier punto del reservorio.(G, 2015). ta cuando se han realizado pruebas largas en pequeño. se trata de un reservorio circular.								
	Presión constante	<ul> <li>Existe un soporte de presión grande que mantiene la presión constante.</li> <li>La presión se estabiliza durante los periodos de extracción y cierre por ende la derivada tiende a cero.(Gonzáles, 2013).</li> </ul>									

Existe una herramienta para diferenciar los tipos de regímenes de flujo en gráficos log-log y así determinar las condiciones del yacimiento. Son 10 patrones que se puede tener; radial, esférica, hemisférica, lineal, bilineal, pseudohemisférica, compresión/expansión, estado estable, doble porosidad o permeabilidad y pendiente doblada.(Paulina & Andrade, 2019). Se ilustra en la figura 1.1

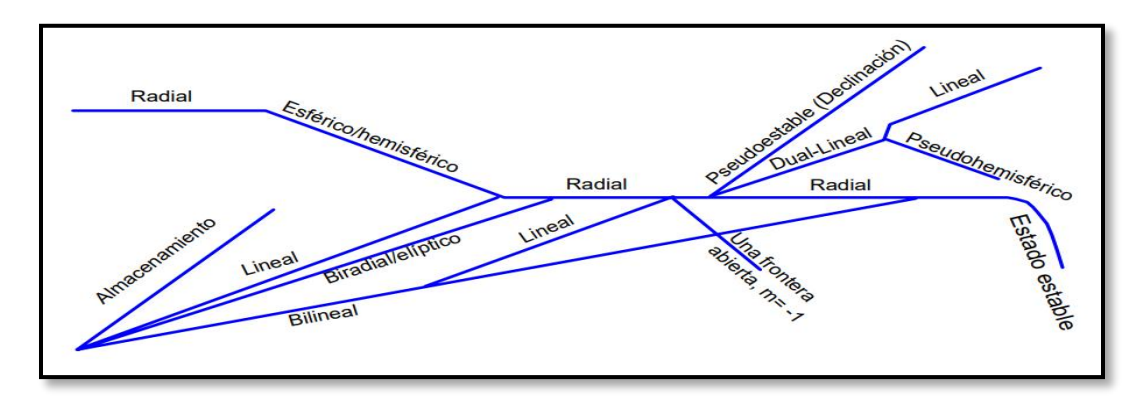


Figura 1.1. Herramienta de identificación de regímenes de flujo.

Para hacer las gráficas de Horner, aplicar la derivada y hacer mapas de presión y permeabilidad se hace uso de dos herramientas digitales. Saphir es un software PTA estándar, desarrollado por Kappa y utilizado por casi todas las principales compañías petroleras. Tiene una interfaz fácil e intuitiva donde se analiza datos de cierre de alta frecuencia y resolución. (*KAPPA - Resumen de Saphir*, n.d.). El software OFM fue creada por schlumberger para los ingenieros de yacimiento y producción, permitiéndoles tener una vigilancia de los pozos petroleros, mediante una interfaz de fácil uso, donde les permite tener valores para analizar y modificar datos de yacimiento y producción, con la finalidad de aumentar la producción, poseen una plataforma que sirve de repositorio corporativo lo que permite ser utilizado por del personal de la empresa desde el lugar de trabajo o desde sus hogares.(Schlumberger, 2019)

# CAPÍTULO II

### 2. Metodología

#### 2.1. Tipo de estudio

El presente estudio técnico es de tipo analítico-descriptivo, debido a que se realizó una descripción, compilación de información de las completaciones y pruebas de build up realizadas durante toda la vida productiva del campo en cada una de sus arenas productoras; se conoce que la arena más productora es Napo Ti y por eso se realizó un análisis de pruebas más exhaustivo, con el fin de determinar las zonas más eficientes para realizar trabajos con el fin de optimizar la producción del campo Parahuacu.

#### 2.2.Muestra

La muestra constó del 96,3% de todos los pozos que hay en el campo, tanto productores como cerrados. Se tiene información desde el inicio de la producción del campo (año 1978) hasta la actualidad; con la base de datos se realizó una matriz histórica, se interpretó los resultados obtenidos y se extrapoló presiones del reservorio.

#### 2.3. Procesamiento y Análisis de Información

#### 2.3.1 Compilación de datos

La recopilación y organización de información ayuda a optimizar el proceso del presente caso de estudio. En este punto se recopiló información de todos los pozos del campo Parahuacu que consta de 27 pozos perforados de los cuales se tiene 58 completaciones y 39 pruebas de build up. Se creó matrices para organizar de mejor forma el ingreso los datos en los softwares Saphir y OFM.

Se usó Microsoft Excel para la compilación de datos del campo Parahuacu.

Los datos de completaciones se organizaron de la siguiente manera:

- Campo
- Pozo
- Nomenclatura PAM

- Reservorio
- Fecha de inicio-Fecha fin
- Pws sensor (psi), Pws (psi)
- Pwf sensor (psi), Pwf (psi)
- Permeabilidad (mD)
- °API
- SG oil
- Gradiente
- Preservorio

Los datos de las pruebas de restauración se organizaron de la siguiente manera

- Historial de producción
- Historial de reacondicionamiento de pozos
- Diagramas de completación
- Pruebas PVT
- Pruebas de presión Build up
- Datos petrofísicos

#### 2.3.2 Organización de información

Debido a la extensa base de datos que se maneja, existe la probabilidad de confusión en cómo se hará el análisis de la información, para ello fue necesario tener claro aspecto fundamentales en la interpretación de la información. A continuación, se describe los pasos que se realizó en la presente investigación.

- Se reconoció el problema; en este caso se buscó información o resultados de pruebas de presión, datos petrofísicos, pvt con respecto a los parámetros establecidos para el campo y se analizó los datos obtenidos de dicha prueba para verificar la veracidad de los resultados.
- 2. Diseño organizacional de información: aquí se aplicó el software Microsoft Excel que ayuda a ordenar y procesar datos.
- 3. Se depuró la base de datos y se seleccionó datos que contenga la información necesaria para continuar con el proceso.

- 4. Se usó estadística descriptiva para pasar los datos numéricos a gráficos.
- 5. Se llevó a cabo el análisis de las gráficas o curvas de las pruebas de build up realizadas en cada pozo.
- 6. Se extrapoló datos de presión de reservorio incorporando las presiones obtenidas en análisis de pruebas de build up para llegar a una presión promedia para final del año.
- 7. Conclusión que se da para cada pozo.

#### 2.3.3 Extrapolación de presiones

Con las presiones obtenidas en la data de completaciones, en cada pozo y arena proporcionada por la empresa y las interpretaciones realizadas en la arena Napo T inferior, se graficó con el fin de extrapolar la recta de tendencia y lograr obtener un valor de presión estimada hasta diciembre del año 2020.

#### 2.3.4 Ingreso de datos a Saphir

• Abrir programa Saphir v5.30.03

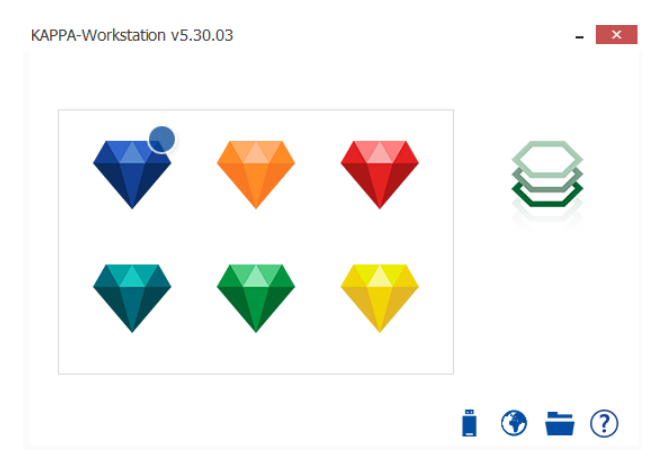


Figura 2.1. Ingreso a software Saphir

• Ingresar hora y fecha de prueba de presión

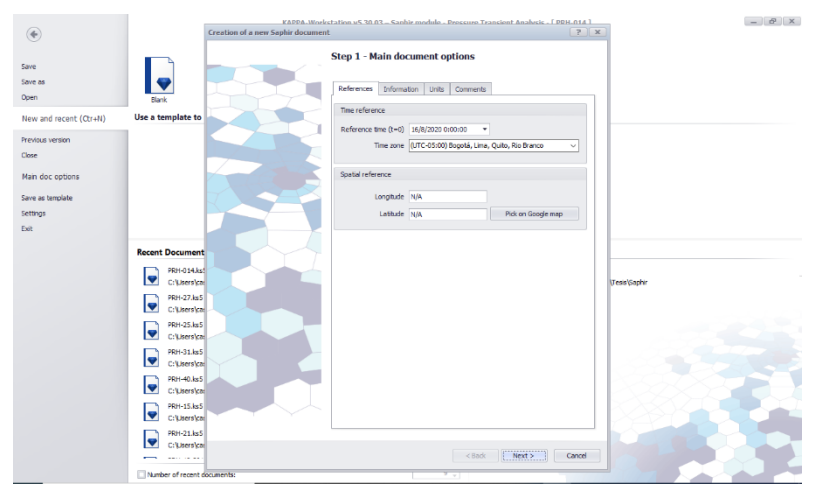


Figura 2.2. Crear nuevo análisis

• Ingresar información de numero de pozo, nombre de prueba, etc

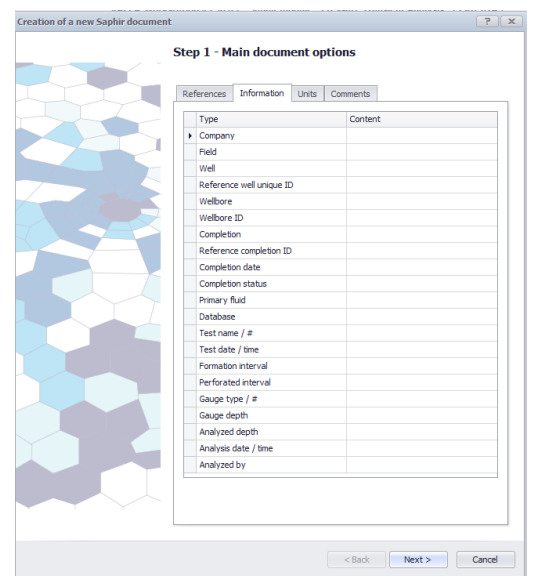


Figura 2.3. Ingreso de información básica

• Ingresar valores de: radio del pozo, zona de pago, compresibilidad de la roca, porosidad, top del reservorio.



Figura 2.4. Ingreso de datos del pozo

• Seleccionar tipo de fluido analizar.



Figura 2.5. Ingreso de definición de proceso

• Ingresar datos: factor volumétrico, viscosidad, compresibilidad total, saturación de agua.



Figura 2.6. Ingreso de parámetros analíticos

• Seleccionar parámetros numéricos

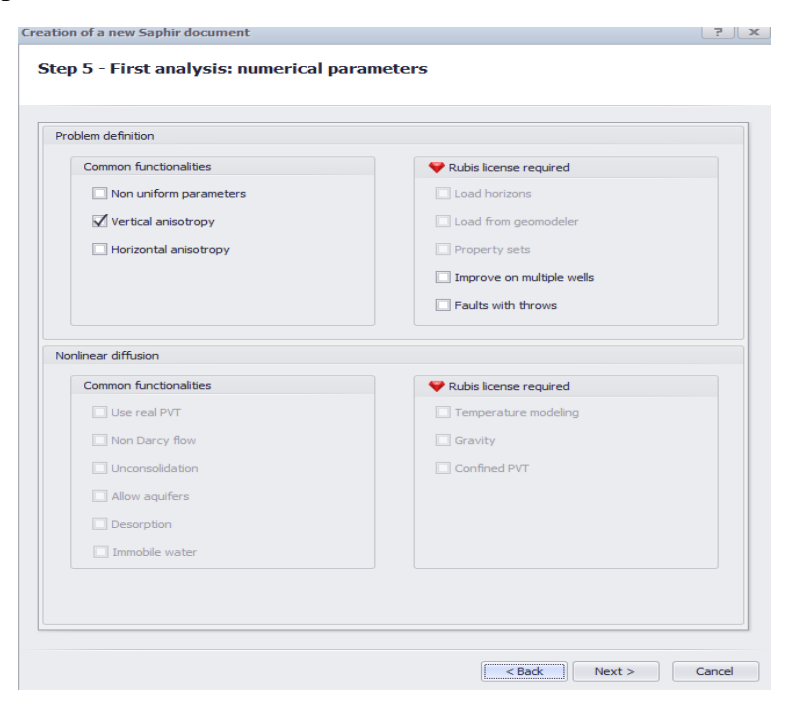


Figura 2.7. Selección de parámetros numéricos

• Seleccionar tipo de modelo inicial

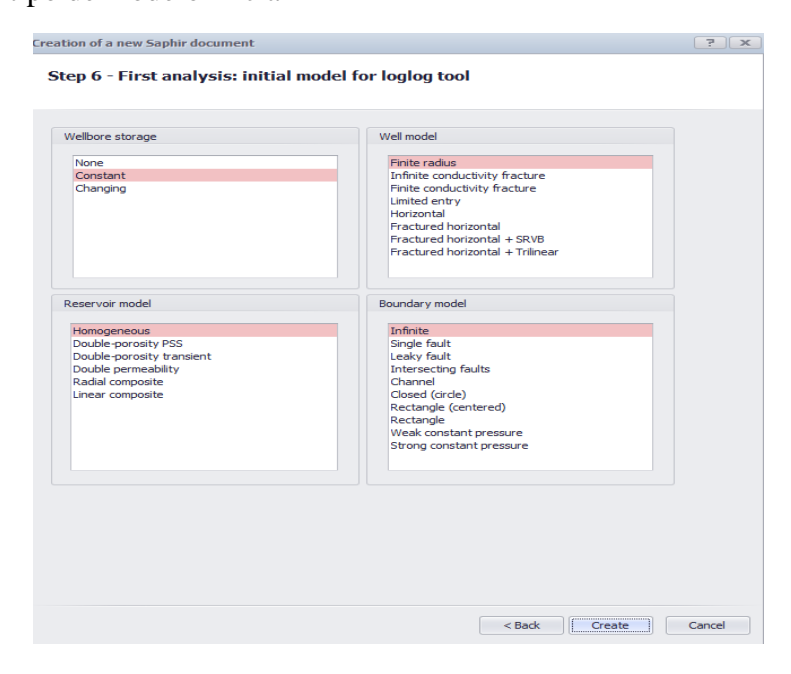


Figura 2.8. Selección de modelo de pozo

• Ingresar data de presión y caudal

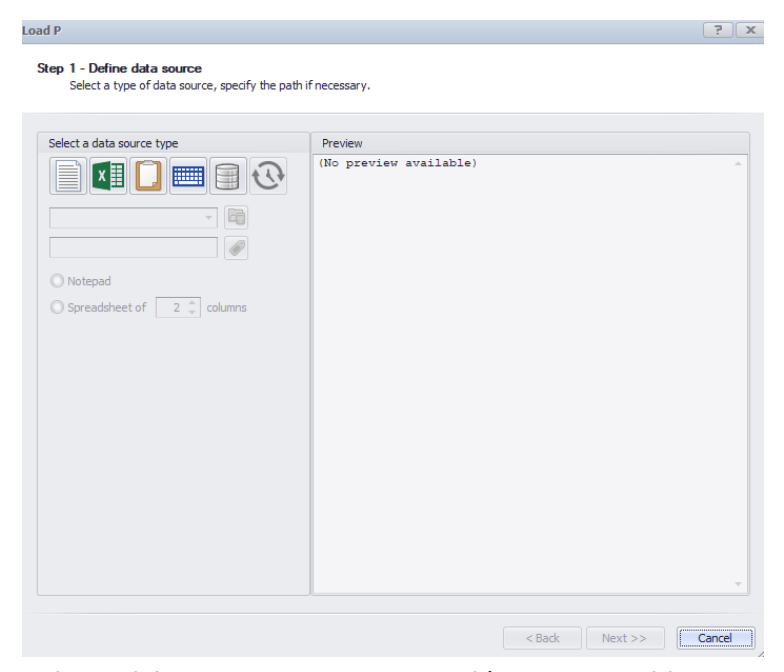


Figura 2.9. Ingreso de data de presión y permeabilidad

#### • Generar gráfico de derivada y ajuste

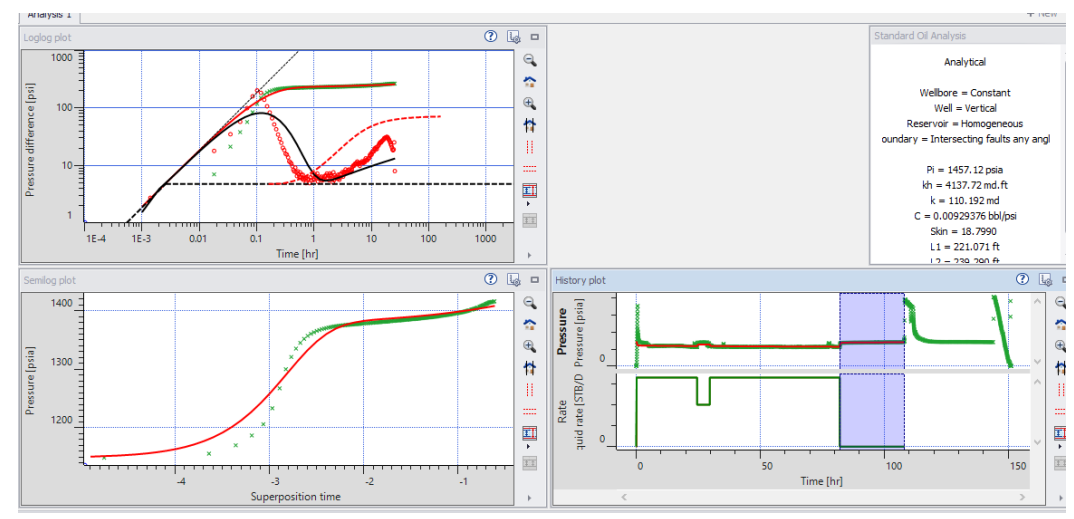


Figura 2.10. Generación de gráficos

#### 2.3.5. Análisis para la construcción de mapas de presión y permeabilidad

Para la construcción de los mapas de presión y permeabilidad se hace uso de los resultados obtenidos de interpolación con respecto a Pws, como datos de entrada se utiliza las interpretaciones de pruebas de build up, para tener una mayor cantidad de datos representativos. Esto ayuda a determinar zonas de altas y bajas permeabilidades y las presiones estáticas de las arenas productoras del campo.

#### 2.3.6 Generar mapas de presión y permeabilidad con OFM

Abrir software OFM

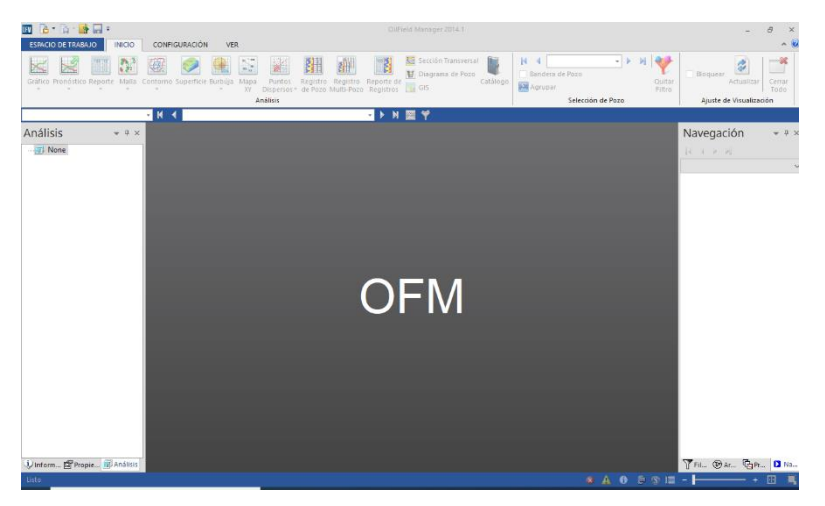


Figura 12.11. Ingreso a software OFM

• Ingresar base de datos proporcionada por PAM



Figura 2.12. Ingreso de base de datos

• Crear base de datos de presiones y permeabilidades

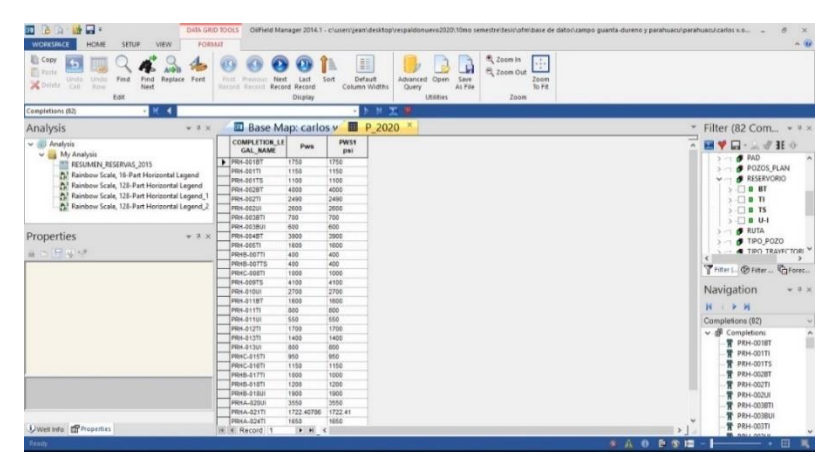


Figura 2.13. Creación de base de datos de presión y permeabilidad

• Seleccionar "Grid" para graficar mapas

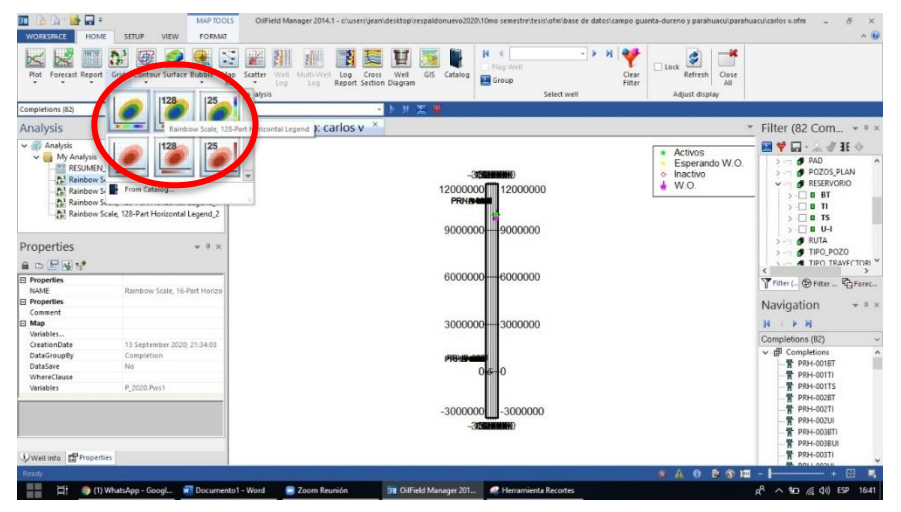


Figura 2.14. Graficar mapas

# **CAPÍTULO III**

### 3. Resultados y análisis

#### 3.1. Resultados estadísticos

El presente trabajo se basó de 58 completaciones de las arenas correspondiente a BT, Napo Ti, Ts, Ui y Hs; en el gráfico 3.15 se especifican el número de completaciones de cada una de ellas. Debido a que Napo Ti es la arena con mayor producción se realizó una nueva interpretación actualizada de las pruebas de build up en el software Saphir, fueron hechas desde el año 1988 hasta el año 2019, contando con un total de 39 pruebas en 26 pozos analizados. De estas 39 pruebas, 24 fueron utilizadas y 15 fueron dadas de baja debido a la falta de información.



Figura 3.15. Total de completaciones del campo



Figura 3.16. Total de completaciones en porcentaje

#### 3.2. Matriz de completaciones

La tabla 3.2 muestra todas las completaciones mencionadas en el punto anterior. Por medio de aplicación de fórmulas se obtuvo la presión estática a mediados de los punzonados.

Tabla 3.2 Matriz de completaciones

PARAMURACU PRINCOTS TS 178/2011 105/201	Campo	Pozo	Nomenclatura PAM	Reservo rio	Fecha	Fecha final	Pws (sensor) (psi)	Pws (psi)	Pwf (sensor) (psi)	Pwf (psi)	Permeabil idad (md)	ºApi	Grad	pws1
PARAMHACQ   PBH-0021	PARAHUACU	PRH-001	PRH-001TS	TS	7/9/2011	18/9/2011	1306	1338,7	522	554,7	2	31,3	0,377979566	1338,695232
PARAMIANCU   PRIN 002	PARAHUACU	PRH-001	PRH-001BT	BT	22/7/2013	25/7/2013	3004	3091	2885	2959	929	18	0,424620219	6757,430426
PARAMIRACU   PRIN-002	PARAHUACU	PRH-001	PRH-001TI	TI	22/6/1988	22/6/1988	-	2388	-	1555	29,39	28	0,405316689	2789,46618
PARAMHACO   PRIH-002	PARAHUACU	PRH-002	PRH-002UI	UI	18/4/1984	18/4/1984	2617	2933	460	776	13	31	0,378564781	2933,290875
PARAMHACOL   PRIN-0021   11	PARAHUACU	PRH-002	PRH-002BT	ВТ	29/3/1992	29/3/1992	2718	2770	724	729	55	26	0,421831349	2934,821313
PARANIMACU   PRIH-002	PARAHUACU	PRH-002	PRH-002Hs	H SUPERIOR	19/5/1995	19/5/1995	2655	3161	1252	1271	36	31	0,3785521	2674,306157
PADAURILACU   PRIL-GOSII   UI   14/1/1998   19/11   2163   985   1260   26   31,8   0,775,275.25   2199,023757   PADAURILACU   PRIL-GOSII   UI   30/1/2002   17/7002   2017   2700   800   992   41   47,7   0,199053777   2779,3216974   PADAURILACU   PRIL-GOSII   UI   4/4/2002   6/4/2002   2005   2255   241   2356   1360   21,5   277,   0,199053777   2779,3216974   PADAURILACU   PRIL-GOSII   UI   1/4/2002   8/1/2004   1202   1417   761   906   79,9   30,4   0,41199681   5540,345557   PADAURILACU   PRIL-GOSII   UI   12/1/2005   8/1/2005   1203   1304   1315   277,   0,19902371   1349,179055   PADAURILACU   PRIL-GOSII   UI   1/4/2002   1/4/2004	PARAHUACU	PRH-002	PRH-002TI	TI	16/1/1992	16/1/1992	2594	3205	916	1261	21	32	0,382691306	2950,859643
PARAMILACU   PRIH-0081	PARAHUACU	PRH-002	PRH-002UI	UI	24/4/1992	24/4/1992	1712	1773	473	535	7	30	0,386957211	1776,428376
PARAHUACU   PRIL-0038   PRIL-00381   TI	PARAHUACU	PRH-002	PRH-002UI	UI	14/1/1998	14/1/1998	1911	2363	985	1269	26	31,8	0,375275254	2199,023757
PARAHUACU   PRIN-0081   PRIN-00811   TI   \$1/1/2006   \$1/27205   \$1/285														
PARAHUACU   PRIN-0018   PRIN-0018T   TI   17/1/2005   12/58   13/69	PARAHUACU		PRH-003BTI	TI		5/4/2002	2500	2555	2141	2196	1340	21,8	0,417278368	2555,289384
PARAHUACU   PRH-0018   PRH-008HT   TI 71/1/2006		7/10/20/20/20	The state of the s	Charle			Maria and and				79,9	100000000000000000000000000000000000000	A Commence of the second	The second secon
PARAHILACU   PRIH-OOS		a transportation at even	1.0000000000000000000000000000000000000	222	190000000000000000000000000000000000000	100 V 10 10 10 10 10 10 10 10 10 10 10 10 10	(0.77 = 7)	19200	2000	12973000		Service Control		600000000000000000000000000000000000000
PARAHUACU   PRIH-004   PRIH-005														
PARAHUACU   PRH-004   PRH-0048FT   BT   22/11/1998   12/17   12/10   28/10													-	
DARAHUACU   PRH-004   PRH-0048T   BT   22/1/1988   22/1/1989   12/7   12/80   28/8   319   31.5   0.411231813   12/7,205616   DARAHUACU   PRH-005   PRH-005TI   TI   30/5/1988   30/5/1988   30/70   1912   223   31   0.382537422   7321,68117   DARAHUACU   PRH-005   PRH-005TI   TI   22/1/2/1919   25/50   26/78   1958   2000   220   30   0.38036814   25/51,7059   DARAHUACU   PRH-005   PRH-005TI   TI   22/1/2/1919   25/50   26/78   1958   2000   220   30   0.38036814   25/51,7059   DARAHUACU   PRH-007   PRH-005TI   TI   22/1/2/1919   22/1/2/1919   11/89   12/47   40/0   730   10,27   31,2   0.411520195   1473,566215   DARAHUACU   PRH-007   PRH-007   PRH-007TI   TI   24/1/2/1019   24/1/2/1019   11/89   12/47   40/0   730   10,27   31,2   0.411520195   1473,566215   DARAHUACU   PRH-007   PRH-007TI   TI   14/2/2/008   16/2/2/08   13/1   19/1/2   11/89   12/47   40/0   13/81   17/8   19/4   10/2   10/5   10														
PARAHUACU   PRH-004   PRH-0051   TI   30/5/1988   30/5/1988     3870														
PARAHUACU PRH-005 PRH-005TI TI 30/5/1988 30/5/1988 - 3070 - 1932 223 31 0,382517424 7321,68117 PARAHUACU PRH-005 PRH-005TI TI 23/12/1991 26/32/1991 2550 2678 1958 2000 220 30 0,380688134 2551,57059 PARAHUACU PRH-007 PRH-007TI PRH-001TI 24/11/2004 24/11/2004 1189 11297 400 7790 10,27 31,2 0,411520195 1473,56215 PARAHUACU PRH-007 PRH-007TI BT 10/9/1997 11/9/1997 3037 3359 860 886 75 19,8 0,40544196 675,500245 PARAHUACU PRH-007 PRH-008PRH-008TI TI 14/12/2008 16/2/2008 1505 1583 994 1072 10,5 32 0,377529265 160,33099 PARAHUACU PRH-009 PRH-009TS TS 12/11/2094 26/11/2097 3362 1550 1612 - 12 0,374737003 1872,066415 PARAHUACU PRH-009 PRH-009TS TS 12/11/2097 17/11/2097 2512 2617 729 854 5,05 32,1 0,42009777 6994,089713 PARAHUACU PRH-000 PRH-009TS TS 12/11/2007 14/11/2007 2512 2617 729 854 5,05 32,1 0,42009777 6994,089713 PARAHUACU PRH-010 PRH-010UI UI 24/11/2008 27/11/2008 27/11/2008 2804 2863 1553 1612 - 32 0,374737003 30,38200678 0407,37078 PARAHUACU PRH-010 PRH-010UI UI 24/11/2008 27/11/2008 27/11/2008 2804 2863 1553 1612 73 33,5 0,380472205 6007,380277 PARAHUACU PRH-010 PRH-010UI UI 15/1/2014 46/1/2014 167/5 17/8 17/8 167/6 17/8 17/8 17/8 17/8 17/8 17/8 17/8 17/8		VA							-					
PARAHUACU         PRH-005         PRH-005TI         TI         2x/12/1991         25/12/1991         2550         2678         1958         2000         220         30         0,38056814         2953,77059           PARAHUACU         PRH-006         PRH-BOOTIS-FRIB-BOO         TS + TI         24/11/2004         24/11/2004         1189         1247         400         730         10,27         31,2         0,41520195         1473,566215           PARAHUACU         PRH-007         HB-007TS-FRIB-BOO         TS + TI         24/11/2004         24/11/2004         1881         1796         266         682         6,47         32,20         0,37775795         179,6666976           PARAHUACU         PRH-008         PRH-008TI         TI         14/12/2008         16/12/2008         1505         1583         994         1072         10,5         32         0,37872906         5160,33099           PARAHUACU         PRH-008         PRH-008TI         TI         11/12/1997         1/12/1997         3300         3332         1505         1512         -0         32,10         0,37872906         5160,33099           PARAHUACU         PRH-008         PRH-009TS         TS         12/12/2004         21/12/2004         21/12/2004         21/12/200							121		121					
PARAHUACU PRH-000 PRH-000TS TI 24/1/2019 24/1/2019 1189 1247 400 730 10,27 31,2 0,41152019 1473,566215 PARAHUACU PRH-007 PRH-007 PRH-007 TF TI 24/11/2004 24/11/2004 1381 1796 266 682 6,47 32,20 0,37759786 1794,666976 PARAHUACU PRH-007 PRH-007 PRH-007 TF TI 14/1/2008 16/1/2008 1505 1583 994 1072 10,5 32 0,37549266 556,032099 PARAHUACU PRH-008 PRH-008TI TI 14/1/2008 16/1/2008 1505 1583 994 1072 10,5 32 0,37549266 556,032099 PARAHUACU PRH-008 PRH-008TI TI 17/1/1/1907 17/1/1907 3300 3362 1505 1512 - 32 0,274737003 382,206343 PARAHUACU PRH-009 PRH-008TS TS 20/1/2004 20/1/2004 2512 2607 729 841 5,06 32.1 0,42009777 694,069711 PARAHUACU PRH-009 PRH-0010TS TS 17/1/2008 17/1/2008 27/1/2004 2512 2607 729 841 5,06 32.1 0,42009777 694,069711 PARAHUACU PRH-010 PRH-010U UI 24/1/2008 27/1/2008 27/1/2008 2804 2863 1553 1612 73 33.5 0,38047225 6409,78227 PARAHUACU PRH-010 PRH-010U UI 24/1/2014 41/2014 1675,6 1794,9 230,8 350 20,8 31.1 0,411417403 5858,912277 PARAHUACU PRH-011 PRH-011U UI 2/1/2014 41/2014 1675,6 1794,9 230,8 350 20,8 31.1 0,411417403 5858,912277 PARAHUACU PRH-011 PRH-011U UI 2/1/2014 41/2014 1675,6 1794,9 230,8 350 20,8 31.1 0,411417403 5858,912277 PARAHUACU PRH-011 PRH-011U UI 3/1/2014 1675,6 1794,9 230,8 350 20,8 31.1 0,411417403 5858,912277 PARAHUACU PRH-011 PRH-011U UI 4/2/2008 0/2/2/2/2/2/2/2/2/2/2/2/2/2/2/2/2/2/2/2	Assessment Services	97 3 7 5 5 5 5 5 5 5 5 5 5 5 5 5 5 5 5 5	004974.0m.0000454	0000	7-000-000-100-000	Standard Control	2550	100/100-00000	1958	0.000000	200 d C			SALES MARKET TOWNS
PARAHUACU         PRH-007         PRHC-007BT         ET         10/9/1997         11/9/1997         3037         3359         860         896         75         19,8         0,405341986         6505,00264           PARAHUACU         PRH-008         PRH-008TI         TI         14/2/2008         16/2/2008         15.05         1583         994         1072         10,5         32         0,375249266         5160,303099           PARAHUACU         PRH-009         PRH-008TI         TI         11/1/1/1997         17/1/1997         1300         3362         1550         1612         -         32         0,374737003         3362,20643           PARAHUACU         PRH-009         PRH-009TS         TS         12/10/2007         14/10/2007         2215         2245         1032         1052         14,5         32,5         0,382000733         6042,730738           PARAHUACU         PRH-010         PRH-010UI         UI         24/1/2004         16/3/2014         16/3/2014         16/3/2014         16/3/2014         16/3/2014         16/3/2014         16/3/2014         16/3/2014         14/3/2014         16/3/2014         16/3/2014         16/3/2014         16/3/2014         16/3/2014         16/3/2014         17/3/2018         18/3/2014         <	PARAHUACU	PRH-006	PRHB-006TI	TI	10 Test 10 Tes		1189	1247	400	730	10,27	31,2	0,411520195	
PARAHUACU   PRH-008   PRH-008TI   TI   14/2/2008   16/2/2008   1505   1583   994   1072   10,5   32   0,375249266   5160,303099   PARAHUACU   PRH-009   PRH-008TI   TI   17/1/2/1997   3300   3362   1550   1612   -   32   0,37473703   3362,206438   PARAHUACU   PRH-009   PRH-008TI   TI   20/1/2004   2512   2617   729   844   5,05   52,1   0,20097737   6594,089713   PARAHUACU   PRH-009   PRH-009TS   TS   12/10/2007   14/10/2007   2325   2345   1032   1052   14,5   32,5   0,382600678   6042,730783   PARAHUACU   PRH-010   PRH-010UI   UI   24/7/2008   27/7/2008   2804   2863   1553   1612   73   33,5   0,380472325   6609,736227   PARAHUACU   PRH-010   PRH-010UI   UI   15/1/2014   16/1/2014   1636   1718   1410   1492   112   31,1   0,441417403   5858,912727   PARAHUACU   PRH-010   PRH-010UI   UI   2/1/2014   4/1/2014   1675,6   1794,9   230,8   350   20,8   31,1   0,441417403   5858,912727   PARAHUACU   PRH-011   PRH-0118T   BT   10/2/2015   12/1/2015   2546,36   2731   1585,9   1670,9   205   19,9   0.429343961   2733,516769   PARAHUACU   PRH-011   PRH-0118T   BT   10/2/2015   22/3/2018   931   991   312   193   75,8   12,6   0,432553027   94745742   PARAHUACU   PRH-011   PRH-01110   UI   19/8/2008   22/3/2008   1561   1634   1362   1435   410   32,7   0,378870674   1633,932605   PARAHUACU   PRH-011   PRH-01110   UI   4/5/2009   6/5/2009   1377   1312   931   1036   7,5   31,5   0,431747001   1434,266257   PARAHUACU   PRH-011   PRH-01110   UI   4/5/2009   6/5/2009   1377   1312   931   1036   7,5   31,5   0,431747001   1434,266257   PARAHUACU   PRH-011   PRH-01110   UI   4/5/2009   6/5/2009   1377   1312   931   1036   7,5   31,5   0,431747001   1434,266257   PARAHUACU   PRH-011   PRH-01110   UI   4/5/2009   6/5/2009   1377   1312   931   1036   7,5   31,5   0,431747001   1434,266257   PARAHUACU   PRH-012   PRH-012T   TI   19/8/2009   6/5/2009   1377   1312   931   1036   7,5   31,5   0,431747001   1434,266257   PARAHUACU   PRH-012   PRH-0110   UI   4/5/2009   6/5/2009   1377   1312   931   131   1326   33   3,4	PARAHUACU		tHB-007TS+PRHB-007	TS+TI			1381	1796	266	682				
PARAHUACU   PRH-008   PRH-00811   TI   14/2/2008   16/2/2008   1505   1583   994   1072   10,5   32   0,375249266   5160,303099   PARAHUACU   PRH-009   PRH-00815   TI   17/12/1997   3300   3362   1550   1612   - 32   0,37473703   3362,206438   720472004   729   848   5,05   501   729   848   5,05   32,1   0,42090737   5494,089713   729   848   5,05   32,1   0,42090737   5494,089713   729   848   5,05   32,1   0,42090737   5494,089713   729   848   5,05   32,1   0,42090737   5494,089713   729   848   5,05   32,1   0,42090737   729   848   5,05   729	PARAHUACU	PRH-007	PRHC-007BT	BT	10/9/1997	11/9/1997	3037	3359	860	896	75	19.8	0.405341986	6595.90264
PARAHUACU   PRH-008   PRH-008TI   TI   17/12/1997   77/12/1997   3300   3362   1550   1612   - 32   0,374737003   3362,206343   PARAHUACU   PRH-009   PRH-009TS   TS   20/1/2004   20/1/2004   2512   2637   729   854   5,05   32,1   0,420097737   6594,089713   PARAHUACU   PRH-009   PRH-009TS   TS   12/10/2007   14/10/2007   2255   2345   1032   1052   14,5   32,5   0,382060783   PARAHUACU   PRH-010   PRH-010I   UI   24/7/2008   27/7/2008   2804   2863   1553   1612   73   33,5   0,380472325   6609,736227   PARAHUACU   PRH-010   PRH-010I   UI   15/1/2014   16/1/2014   16/36   1718   1410   1402   112   31,1   0,435190298   5760,298457   PARAHUACU   PRH-010   PRH-010II   UI   24/1/2014   16/1/2014   16/36   1718   1410   1402   112   31,1   0,435190298   5760,298457   PARAHUACU   PRH-011   PRH-011BT   BT   10/1/2015   12/1/2015   2646,36   2731   1585,9   1670,9   205   19,9   0,429343691   2733,516769   PARAHUACU   PRH-011   PRH-011BT   BT   24/3/2018   29/3/2018   931   991   132   193   75,8   12,6   0,43553027   994,152742   PARAHUACU   PRH-011   PRH-011II   TI   19/8/2008   22/8/2008   1561   1614   1362   1435   4410   32,7   0,73887664   1633,93266   PARAHUACU   PRH-011   PRH-011U   UI   4/5/2008   9/5/2009   1377   1432   981   1036   7.5   31.5   0,43194701   1434,26625   PARAHUACU   PRH-011   PRH-011U   UI   4/5/2008   9/5/2008   1481   1657   1208   1384   385   33   0,393727699   1659,752375   PARAHUACU   PRH-011   PRH-011U   UI   4/5/2008   9/5/2008   1481   1657   1208   1384   385   33   0,393727699   1659,752375   PARAHUACU   PRH-011   PRH-011U   UI   4/5/2008   9/5/2008   1481   1657   1208   1384   385   33   0,393727699   1659,752375   PARAHUACU   PRH-011   PRH-011U   UI   4/5/2008   9/5/2008   1481   1657   1208   1384   385   33   0,393727699   1659,752375   PARAHUACU   PRH-011   PRH-011U   UI   4/5/2008   9/5/2008   1481   1657   1208   1384   385   33   0,393727699   1659,752375   PARAHUACU   PRH-012   PRH-013U   UI   2/5/2014   31/5/2014   42/5   4269   1212   1236   3,2   3,1   0,42895896					0.0000	100000000000000000000000000000000000000					17/1/1/1			
PARAHUACU   PRH-009   PRH-009TS   TS   20/1/2004   20/1/2004   25/12   2637   729   854   5,05   32,1   0,420097737   5594,089713   PARAHUACU   PRH-010   PRH-01010   UI   24/1/2008   27/1/2008   2804   2863   1553   1612   73   33,5   0,38260678   6042,730783   74/100707   74/100		1516 it 1916 https://doi.org/	10,440,470,700,700	6559	300 marks 21 00 mm	The state of the s	_ 2000 to 1000	- bacada	0.000	69000000	Carlo al	C2 100	100000000000000000000000000000000000000	
PARAHUACU   PRH-010   PRH-010   PRH-010   UI   24/7/2008   27/7/2008   2804   2863   1553   1612   73   33,5   0,380472325   6040,7307232														
PARAHUACU   PRH-010   PRH-010UI   UI   24/7/2008   27/7/2008   2804   2863   1553   1612   73   33,5   0,380472325   6409,736227														
PARAHUACU   PRH-010	F	87 1 91 1 1 1 1 1 1 1 1 1 1 1 1 1 1 1 1 1	A1111111111111111111111111111111111111							410000	74.7	and the same		production of the second second second
PARAHUACU   PRH-011   PRH-011BT   BT   10/2/2015   12/2/2015   2646,36   2731   1585,9   1670,9   205   19,9   0,429343691   2735,516769   PARAHUACU   PRH-011   PRH-011BT   BT   24/3/2018   29/3/2018   931   991   132   193   75,8   12,6   0,432553027   994,152742   PARAHUACU   PRH-011   PRH-011II   TI   19/8/2008   22/8/2008   1561   1634   1362   1435   410   32,7   0,378876074   1633,932742   PARAHUACU   PRH-011   PRH-011UI   UI   7/9/2008   9/9/2008   1481   1657   1208   1384   385   33   0,393727699   1659,752375   PARAHUACU   PRH-011   PRH-011UI   UI   4/5/2009   6/5/2009   1377   1432   981   1036   7,5   31,5   0,437147001   1343,2602517   PARAHUACU   PRH-011   PRH-011UI   UI   27/5/2014   13/5/2014   4245   4269   1212   1236   3,2   32,1   0,428965963   4269,062517   PARAHUACU   PRH-011   PRH-011UI   UI   6/6/2014   11/6/2014   17/66   1789   870   893   1,22   30,4   0,40325285   1788,582158   PARAHUACU   PRH-012   PRH-012TI   TI   27/9/2008   30/9/2008   1485   1582   1168   1265   150   31,8   0,402177227   5393,760466   PARAHUACU   PRH-012   PRH-012TI   TI   13/1/2009   14/1/2009   1305   811   70,7   32,2   0,37588164   246,5625955   PARAHUACU   PRH-012   PRH-012TI   TI   22/2/2014   24/2/2014   1030   1127   945   1040   114   32   0,413979993   1130,183158   PARAHUACU   PRH-013   PRH-013TI   TI   12/10/2008   15/10/2008   1553   1582   1207   1297   29   33   0,398011948   5419,686076   PARAHUACU   PRH-013   PRH-013UI   UI   22/10/2008   147/2001   147/2004   147/2014   17/13   250   32   0,415497224   5777,780666   PARAHUACU   PRH-013   PRH-013UI   UI   22/10/2008   15/10/2008   1521   1903   1631   17/13   250   32   0,415497224   5777,780666   PARAHUACU   PRH-013   PRH-013UI   UI   22/10/2008   15/10/2008   1821   1903   1631   17/13   250   32   0,415497224   5777,780666   PARAHUACU   PRH-013   PRH-013UI   UI   22/10/2008   14/10/2009   1800   172   57,4   31,8   0,375997468   5500,48865   PARAHUACU   PRH-014   PRH-015   PRH-015TI   TI   10/7/2010   14/7/2010   14/7/2013   18/00   11/2	PARAHUACU	PRH-010	PRH-010UI	UI	15/1/2014	16/1/2014	1636	1718	1410	1492	112	31,1	0,435190298	5760,298457
PARAHUACU   PRH-011   PRH-011BT   BT   24/3/2018   29/3/2018   931   991   132   193   75,8   12,6   0,432553027   994,152742	PARAHUACU	PRH-010	PRH-010UI	UI	2/1/2014	4/1/2014	1675,6	1794,9	230,8	350	20,8	31,1	0,441417403	5858,912727
PARAHUACU   PRH-011   PRH-011II   II   19/8/2008   22/8/2008   1561   1634   1362   1435   410   32,7   0,378870674   1633,932605	PARAHUACU	PRH-011	PRH-011BT	BT	10/2/2015	12/2/2015	2646,36	2731	1585,9	1670,9	205	19,9	0,429343691	2733,516769
PARAHUACU   PRH-011   PRH-011UI   UI   7/9/2008   9/9/2008   1481   1657   1208   1384   385   33   0,393727699   1659,752375												_		
PARAHUACU   PRH-011   PRH-011UI   UI   4/5/2009   6/5/2009   1377   1432   981   1036   7,5   31,5   0,437147001   1434,266257														
PARAHUACU   PRH-011   PRH-01UI   UI   27/5/2014   31/5/2014   4245   4269   1212   1236   3,2   32,1   0,429805963   4269,069134   PARAHUACU   PRH-011   PRH-01UI   UI   6/6/2014   11/6/2014   1766   1789   870   893   1,22   30,4   0,403252825   1788,582158   PARAHUACU   PRH-012   PRH-012T   TI   27/9/2008   30/9/2008   1485   1582   1168   1265   150   31,8   0,402177227   5393,760466   PARAHUACU   PRH-012   PRH-012TI   TI   13/1/2009   14/1/2009   1305   811   70,7   32,2   0,375878614   246,5629555   PARAHUACU   PRH-012   PRH-012TI   TI   22/2/2014   24/2/2014   1030   1127   945   1040   114   32   0,413979993   1130,183158   PARAHUACU   PRH-012   PRH-012TI   TI   10/2/2014   12/2/2014   1114   1158   327   371   32,2   0,429534115   1158,242014   PARAHUACU   PRH-013   PRH-013TI   TI   12/10/2008   15/10/2008   1553   1582   1207   1297   29   33   0,398011948   5419,686076   PARAHUACU   PRH-013   PRH-013UI   UI   22/10/2008   24/10/2008   1821   1903   1631   1713   250   32   0,415497224   5777,780066   PARAHUACU   PRH-013   PRH-013UI   UI   20/9/2012   20/9/2012   3370   3411   604   644   29,3   32,9   0,384034451   7027,160074   PARAHUACU   PRH-013   PRH-013UI   UI   20/9/2012   20/9/2012   3370   3411   604   644   29,3   32,9   0,374375512   4385,178004   PARAHUACU   PRH-015   PRH-015UI   UI   1/5/2013   1/5/2013   820   860   642,5   682   34   32,9   0,374375512   3485,178004   PARAHUACU   PRH-016   PRH-015TI   TI   10/7/2010   14/7/2010   1456   1564   1128   1236   63   32   0,410697852   1564,21884   PARAHUACU   PRH-016   PRH-016TI   TI   2/11/2010   8/11/2010   1417   1501   1138   1222   75   32   0,389916555   1501,221976   PARAHUACU   PRH-018D   PRHB-018TI   TI   8/12/2010   16/9/2010   1708   1800   1080   1172   57,4   31,8   0,375997468   5500,498465   PARAHUACU   PRH-018D   PRHB-018TI   TI   8/12/2010   16/9/2010   1403   1448   1259   1328   110   32   0,42684801   1473,108965   PARAHUACU   PRH-018D   PRHB-018TI   TI   8/12/2010   16/9/2010   1404   1473   1259   1328   110   32   0,4														
PARAHUACU   PRH-011   PRH-011UI   UI   6/6/2014   11/6/2014   1766   1789   870   893   1,22   30,4   0,403252825   1788,582158														
PARAHUACU   PRH-012   PRH-012TI   TI   27/9/2008   30/9/2008   1485   1582   1168   1265   150   31,8   0,402177227   5393,760466   PARAHUACU   PRH-012   PRH-012TI   TI   13/1/2009   14/1/2009   1305   811   70,7   32,2   0,37558164   246,562555   246,625555   246,2458514   246,562555   246,2458514   246,626555   246,2458514   246,626555   246,2458514   246,626555   246,2458514   246,245814														
PARAHUACU   PRH-012   PRH-012TI   TI   22/2/2014   24/2/2014   1030   1127   945   1040   114   32   0,413979993   1130,183158	PARAHUACU	PRH-012	PRH-012TI	TI			1485	1582	1168	1265	150	31,8	0,402177227	
PARAHUACU   PRH-012   PRH-012TI   TI   10/2/2014   12/2/2014   1114   1158   327   371   32,2   0,429534115   1158,242014														
PARAHUACU   PRH-013   PRH-013TI   TI   12/10/2008   15/10/2008   15/3   1582   1207   1297   29   33   0,398011948   5419,686076											114			
PARAHUACU   PRH-013   PRH-013UI   UI   22/10/2008   24/10/2008   1821   1903   1631   1713   250   32   0,415497224   5777,78066   PARAHUACU   PRH-013   PRH-013UI   UI   30/10/2011   30/10/2011   913   960   372   435   15,8   32   0,4466587   5166,530803   PARAHUACU   PRH-013   PRH-013UI   UI   20/9/2012   20/9/2012   3370   3411   604   644   29,3   32,9   0,384034451   7027,160074   PARAHUACU   PRH-013   PRH-013UI   UI   1/5/2013   1/5/2013   820   860   642,5   682   34   32,9   0,374375512   4385,178004   PARAHUACU   PRH-015   PRHC-015TI   TI   10/7/2010   14/7/2010   14/5   1128   1236   63   32   0,410697852   1564,21884   1128   1236   63   32   0,410697852   1501,221976   PARAHUACU   PRH-016   PRHC-016TI   TI   2/11/2010   8/11/2010   1417   1501   1138   1222   75   32   0,389916555   1501,221976   PARAHUACU   PRH-017D   PRHB-017TI   TI   8/9/2010   16/9/2010   1708   1800   1080   1172   57,4   31,8   0,375997468   5500,488465   PARAHUACU   PRH-018D   PRHB-018TI   TI   8/12/2010   16/12/2010   1404   1473   1259   1328   110   32   0,422684801   1473,108965   PARAHUACU   PRH-018D   PRHB-018TI   TI   7/5/2011   12/5/2011   1403   1448   1250   1295   16,6   33   0,374099891   1448,079037   PARAHUACU   PRH-020D   PRHB-018U   UI   27/5/2015   31/5/2014   1610   1740   791   921   73,1   32   0,37587661   5256,210527   PARAHUACU   PRH-020D   PRHB-024TI   TI   15/6/2015   18/7/2015   1529   1619   1048   1139   17,4   32,2   0,434557292   1623,73349   PARAHUACU   PRH-027   PRHG-027BT   BT   1/11/2019   4/11/2019   4617   4669   3556   3608   54,86   20,2   0,40874429   4675,041689   PARAHUACU   PRH-027   PRHG-027BT   BT   1/11/2019   4/11											20			
PARAHUACU   PRH-013   PRH-013UI   UI   30/10/2011   30/10/2011   913   960   372   435   15,8   32   0,4466587   5166,530803											22222			
PARAHUACU   PRH-013   PRH-013UI   UI   1/5/2013   1/5/2013   820   860   642,5   682   34   32,9   0,374375512   4385,178004							_							
PARAHUACU   PRH-015   PRHC-015TI   TI   10/7/2010   14/7/2010   1456   1564   1128   1236   63   32   0,410697852   1564,218884	PARAHUACU	PRH-013	PRH-013UI	UI	20/9/2012	20/9/2012	3370	3411	604	644	29,3	32,9	0,384034451	7027,160074
PARAHUACU         PRH-016         PRHC-016TI         TI         2/11/2010         8/11/2010         1417         1501         1138         1222         75         32         0,389916555         1501,221976           PARAHUACU         PRH-017D         PRHB-017TI         TI         8/9/2010         16/9/2010         1708         1800         1080         1172         57,4         31,8         0,375997468         5500,498465           PARAHUACU         PRH-018D         PRHB-018TI         TI         8/12/2010         16/12/2010         1404         1473         1259         1328         110         32         0,422684801         1473,108965           PARAHUACU         PRH-018D         PRHB-018TI         TI         7/5/2011         12/5/2011         1403         1448         1250         1295         16,6         33         0,37499891         1448,079937           PARAHUACU         PRH-018D         PRHB-018UI         UI         27/5/2014         31/5/2014         1610         1740         791         921         73,1         32         0,374978617         526,210527           PARAHUACU         PRH-020D         PRHA-020UI         UI         1/7/2015         9/7/2015         1877         1903         301         32	PARAHUACU	PRH-013	PRH-013UI	UI	1/5/2013	1/5/2013	820	860	642,5	682	34	32,9	0,374375512	4385,178004
PARAHUACU         PRH-017D         PRHB-017TI         TI         8/9/2010         16/9/2010         1708         1800         1080         1172         57,4         31,8         0,375997468         5500,498465           PARAHUACU         PRH-018D         PRHB-018TI         TI         8/12/2010         16/12/2010         1404         1473         1259         1328         110         32         0,422684801         1473,108965           PARAHUACU         PRH-018D         PRHB-018TI         TI         7/5/2011         12/5/2011         1403         1448         1250         1295         16,6         33         0,37499891         148,079037           PARAHUACU         PRH-018D         PRHB-018UI         UI         27/5/2014         31/5/2014         1610         1740         791         921         73,1         32         0,375978617         526,210527           PARAHUACU         PRH-020D         PRHA-020UI         UI         17/2015         9/7(2015         1877         1903         301         327         34,5         31,5         0,417179987         5897,99304           PARAHUACU         PRH-024         PRHA-024TI         TI         15/6/2015         18/7/2015         1529         1619         1048         11	PARAHUACU	PRH-015	PRHC-015TI	TI	10/7/2010	14/7/2010	1456	1564	1128	1236	63	32	0,410697852	1564,218884
PARAHUACU   PRH-018D   PRHB-018TI   TI   8/12/2010   16/12/2010   1404   1473   1259   1328   110   32   0,422684801   1473,108965   PARAHUACU   PRH-018D   PRHB-018TI   TI   7/5/2011   12/5/2011   1403   1448   1250   1295   16,6   33   0,37499891   1448,079037   PARAHUACU   PRH-018D   PRHB-018U    UI   27/5/2014   31/5/2014   1610   1740   791   921   73,1   32   0,375876617   526,210527   PARAHUACU   PRH-020D   PRHA-020U    UI   17/2015   9/7(2015   1877   1903   301   327   34,5   31,5   0,417179987   5897,99304   PARAHUACU   PRH-024   PRHA-024TI   TI   15/6/2015   18/7/2015   1529   1619   1048   1139   17,4   32,2   0,434557292   1623,73349   PARAHUACU   PRH-027   PRHG-027BT   BT   1/11/2019   4/11/2019   4617   4669   3556   3608   54,86   20,2   0,40874429   4675,041689   14/12019	PARAHUACU	PRH-016	PRHC-016TI	TI	2/11/2010	8/11/2010	1417	1501	1138	1222	75	32	0,389916555	1501,221976
PARAHUACU   PRH-018D   PRHB-018TI   TI   7/5/2011   12/5/2011   1403   1448   1250   1295   16,6   33   0,374099891   1448,079037   PARAHUACU   PRH-018D   PRHB-018U    UI   27/5/2014   31/5/2014   1610   1740   791   921   73,1   32   0,375878617   5256,210527   PARAHUACU   PRH-02D   PRHA-02U    UI   1/7/2015   9/7/2015   1877   1903   301   327   34,5   31,5   0,47179987   859,7989304   PARAHUACU   PRH-024   PRHA-024TI   TI   15/6/2015   18/7/2015   1529   1619   1048   1139   17,4   32,2   0,474557292   1623,73349   PARAHUACU   PRH-027   PRHG-027BT   BT   1/11/2019   4/11/2019   4617   4669   3556   3608   54,86   20,2   0,40874429   4675,041689														
PARAHUACU         PRH-018D         PRHB-018UI         UI         27/5/2014         31/5/2014         1610         1740         791         921         73,1         32         0,375878617         5256,210527           PARAHUACU         PRH-020D         PRHA-020UI         UI         1/7/2015         9/7/2015         1877         1903         301         327         34,5         31,5         0,417179987         5897,989304           PARAHUACU         PRH-024         PRHA-024TI         TI         15/6/2015         18/7/2015         1529         1619         1048         1139         17,4         32,2         0,434557292         1623,73349           PARAHUACU         PRH-027         PRHG-027BT         BT         1/11/2019         4/11/2019         4617         4669         3556         3608         54,86         20,2         0,40874429         4675,041689														
PARAHUACU         PRH-020D         PRHA-020UI         UI         1/7/2015         9/7/2015         1877         1903         301         327         34,5         31,5         0,417179987         5897,989304           PARAHUACU         PRH-024         PRHA-024TI         TI         15/6/2015         18/7/2015         1529         1619         1048         1139         17,4         32,2         0,434557292         1623,73349           PARAHUACU         PRH-027         PRHG-027BT         BT         1/11/2019         4/11/2019         4617         4669         3556         3608         54,86         20,2         0,40874429         4675,041689														
PARAHUACU         PRH-024         PRHA-024TI         TI         15/6/2015         18/7/2015         1529         1619         1048         1139         17,4         32,2         0,434557292         1623,73349           PARAHUACU         PRH-027         PRHG-027BT         BT         1/11/2019         4/11/2019         4617         4669         3556         3608         54,86         20,2         0,40874429         4675,041689														
PARAHUACU PRH-027 PRHG-027BT BT 1/11/2019 4/11/2019 4617 4669 3556 3608 54,86 20,2 0,40874429 4675,041689														
													-	
	PARAHUACU	PRH-027	PRHG-027UI	UI	20/10/2019	25/10/2019	3250	3253	2559	2734	53	-,-	0,457014691	3376,136055
PARAHUACU PRH-040 PRHA-040TI TPRINCIPAL 29/11/2013 1/12/2013 1761 1854 1168 1260 257 29,8 0,390979343 5666,101677	PARAHUACU											29,8		

#### 3.3. Matriz histórica de build up de la arena Ti

Se desarrolló una matriz histórica con el objetivo de plasmar datos petrofísicos e información sobre las fechas de los build up realizados desde los inicios de cada pozo, también sirvió para ingresar parámetros iniciales en el software Saphir, para posterior generar gráficas y realizar los respectivos análisis.

Tabla 3.3 Matriz histórica de build up de arena T inferior

		INFO	RMACIÓN INI	CIAL						DATOS PETRO	FÍSICOS					
Pozo	Arena	Fecha de inicio	Fecha fin	# Build up	top	bottom	Rw [ft]	Pay zone	Porosidad Φ	Во	Viscosidad (μο)	Compresibil idad (Ct)	Sw	API	BSW	Data
	TI	22/6/1988	22/6/1988	1	9747,5	9790,7	0,3542	43,2	19	1,190033	3,2	8,30E-06		28	30	SI
PRH-001	TI	7/9/2011	18/9/2011	1	9747,5	9790,7	0,3542	43,2	19	1,19	0,8499	2,795E-04	0,213	31.3	2.2	NO
PRH-002	TI	16/1/1992	16/1/1992	1	9612,2	9664	0,41145	51,8	12,9	1,147	1,7	8,00E-06	0,188	32	10	SI
	TI	4/4/2002	5/4/2002	1	9791,2	9812,9	0,3542	21,7	17,1	1,1286	3,22	1,46E-05		21,8	32	NO
PRH-003B	TI	5/1/2004	8/1/2004	1	9791,2	9812,9	0,3542	21,7	17,1	1,19456	0,731083	1,66E-04	0,098	30,4	46	SI
	TI	12/2/2005	16/2/2005	1	9791,2	9812,9	0,3542	21,7	17,1	1,3042	1,796	DF	,,,,,,	27,2	21	SI
	TI	7/3/2006	7/3/2006	1	9791,2	9812,9	0,3542	21,7	17,1	1,2802	0,78	7,47E-04		33,9	3	SI
PRH-05	TI	30/5/1988	30/5/1988	1	9704	9720	0,3542	18	15	1,3006	1,1	8,30E-06	0,118	31	7	SI
F 1011-05	TI	22/12/2006	23/12/2006	1	9704	9720	0,3542	17	14	1,3042	1,796	DF	l âur	27		NO
PRH-07	TI	29/11/2004	29/11/2004	1	9668	9731,6	0,3542	63,6	15,1	1,25	1,101	1,95E-05	0,138	32,2	20,6	NO
PRH-08	TI	14/2/2008	16/2/2008	1	9714,5	9776,2	0,3542	61,7	14,3	1,1949	0,69	2,50E-05	0,195	32	0,6	SI
PRH-09	TI	15-oct-13	19/10/2013	1	9760,8	9779,6	0,3542	20	34,2	1,3042	1,796	DF	0,7	34,2	, ,	SI
PRH-11	TI	19/8/2008	22/8/2008	1	9707,5	9757	0,3542	49,5	14,4	1,2024	0,65	2,50E-05	0,158	32,7	7	SI
	TI	27/9/2008	30/9/2008	1	9697,2	9738,3	0,3542	41,1	16,7	1,2005	0,7	2,47E-05		31,8	34	SI
	TI	13/1/2009	14/1/2009	1	9697,2	9738,3	0,3542	41,1	16,7	1,301	0,7	2,47E-05		31,8		NO
PRH-12	TI	10/2/2014	12/2/2014	1	9697,2	9738,3	0,3542	41,1	16,7	0,98	1,59	2,47E-05	0,147	32,2	69	SI
	TI	21/2/2014	23/2/2014	1	9697,2	9738,3	0,3542	41,1	16,7	1,3042	1,769	2,47E-05		32,2	49	SI
	TI	10/19/2019	10/19/2019	1	9697,2	9738,3	0,3542	41,1	16,7	1,3042	1,769	2,47E-05		32,2		SI
PRH-13	TI	12/10/2008	15/10/2008	1	9701,3	9753	0,41145	32	14,5	1,2045	0,6	2,53E-05	0,148	33	31	SI
PRH-14	TI	20/2/2019	24/2/2019	1	9536	9722	0,3542	31	12,47	1,3042	1,796	DF	0,183	33,2	35	SI
PRH-015	ті	10/7/2010	14/7/2010	1	10084	10136	0,3542	36,5	11,8	1,3042	0,597	2,75E-05	0,226	32	21	NO
FIG. 013	1885	14/7/2015	14/7/2015	5.	10004	10150	0,3542	30,3	11,0	1,3042	0,597	DF	0,220	34,2	ā	NO
PRH-016	П	2/11/2010	8/11/2010	1	10044,5	10091	0,3542	37,75	11,9	1,2919	0,6524	2,73E-05	0,277	31,5	19	SI
DDU 017	ті	7/9/2010	16/9/2010	1	10066,1	10126	0,3542	47,28	17,4	1,16	1	1,81E-05	0,189	31,8	1	NO
PRH-015  PRH-016  PRH-017		16/9/2010	19/9/2010	1	10000,1	10126	0,3542		17,4	1,16	0,91	2,56E-04	0,189	31,8	1	NO
	TI	12/5/1995	12/5/1995	-	9860,9	9930	0,3542	59	15,2	1,1871	0,7905	DF		30	. = (	NO
	П	8/12/2010	16/12/2010	1	9860.9	9930	0.3542	59	15,2	1,2181	0,7769	2,65E-05		32	60	SI
PRH-018	П	7/5/2011	12/5/2011	1	3000,5	3330	0,3342	33	15,2	1,2233	0,6382	4,51E-06	0,197	33	0,2	SI
	TI	21/2/2019	24/2/2019	1	9860,9	9930	0,3542	59	15,2	1,3001	0,5402	1,56E-05		35	-	SI
	TI	7/3/2019	11/3/2019	1	5000,5	3300	0,3542		10,12	1,3001	0,5402	1,56E-05		35	-	SI
PRH-021	TI	2/3/2015	4/3/2015	1	9926	9960	0.3542	20,5	12,8	1,3042	1,796	DF	0,439	28,1	92	SI
PRH-023	TI	3/8/2019	8/5/2019	1	11082	11146	0,3489	6,5	10	1,2789	1,297	DF	.,	32,1	* • *	SI
PRH-024	TI	15/6/2015	19/6/2015	1	10056,5	10109	0.3542	24,75	14,4	1,2319	0.75	2,43E-04	0,268	32.2	75	SI
PRH-025	П	8/12/2011	10/12/2011	1	9873	9961	0,3542	6	10	1,2789	1,297	DF	0,35	32,1	37	SI
PRH-027	TI	7/10/2019	18/10/2019	1	9674,748	9715,439	0,33542	13,374	11	1,3589	1,487	DF	0,476	32,1	100	NO
PRH-030	TI	3/5/2019	3/5/2019	1	9793	9868	0,3542	68,5	12,5	1,2529	1,5	DF	0,18	29,9	-	NO
PRH-031	TI	23/4/2020	23/4/2020	1	11998,42	12035,28	0,3489	20,5	14	1,2629	1,796	DF	0,22	32,1	-	NO
PRH-040	ті	29/11/2013	31/12/2013	1	9969,1	9994, 7	0,3542	23,6	12,7	1,3	0,6382	4,51E-06	0,32	29,8	14	SI
		1/12/2014	1/12/2014	1	9969,1	9994,7	0,3542	23,6	12,7	1,3	0,6382	DF		32,5	4	NO

De esta matriz histórica se observó que solo se tenían 23 pozos en la arena Napo Ti con 39 pruebas de restauración de las cuales 24 pruebas constaban con suficiente información y su respectiva data, se ingresó la información de la matriz en el software Saphir y posterior se realizó las interpretaciones mediante el ajuste de la curva de derivada.

#### 3.4. Nuevas interpretaciones

De las 24 pruebas de build up analizadas en el software se tuvo que PRH-030 no alcanza el flujo radial, por ende, fue eliminada de los resultados.

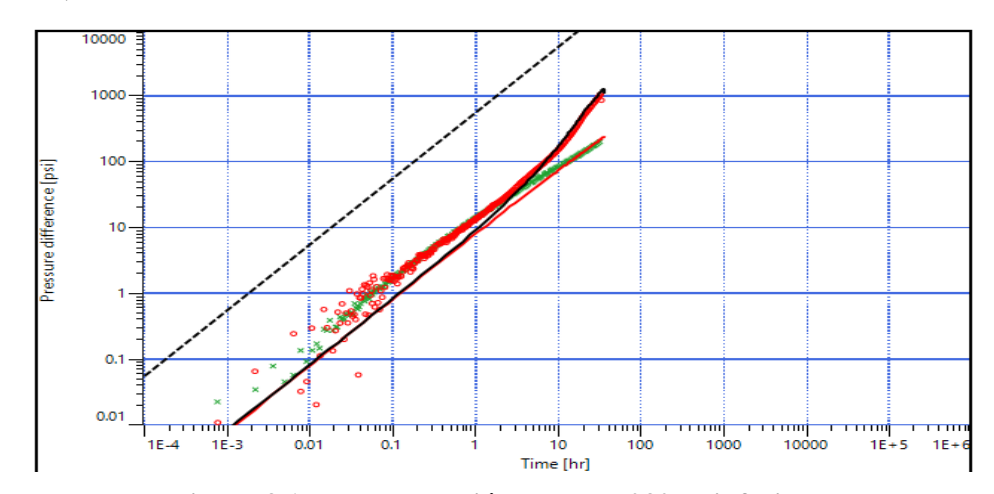


Figura 3.17. Interpretación de PRH-030, T inferior

Entre los mejores ajustes en curva de la derivada se tienen los pozos PRH-008, PRH-012, los demás análisis se presentan en el Anexo No.1

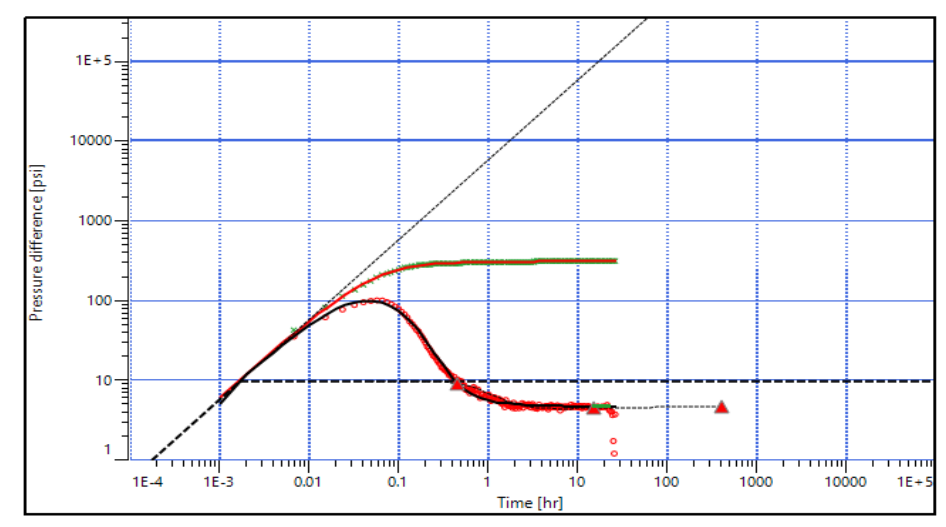


Figura 3.18. Interpretación de PRH-008, T inferior

Se puede observar que PRH-008 perteneciente a la arena Napo Ti, tiene un almacenamiento constante con un modelo de reservorio homogéneo y limite circular cerrado.

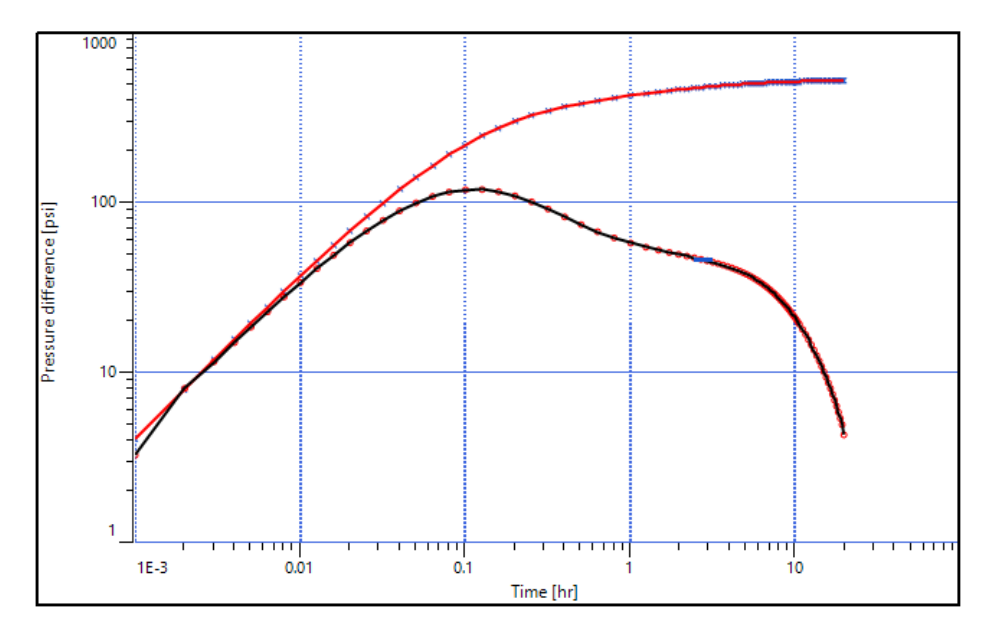


Figura 3.19. Interpretación de PRH-012, T inferior

Se observa que PRH-012 tiene un almacenamiento constante con un modelo de reservorio radial y limite infinito.

#### 3.5. Matriz resultado

Después de compilar datos, se realizaron los respectivos ajustes en la curva de la derivada, se obtuvieron los resultados generados por el software Saphir y se los clasificó de tal manera que facilite la interpretación. P(MD) es la presión a la mitad de los punzonados que se ingresó a OFM. Se desarrolló esta matriz con la finalidad de tener la información organizada y sea accesible al momento de necesitar cualquiera de estos valores.

Tabla 3.4 Matriz resultado de interpretaciones actualizadas

GENERALIDADES									DERIN	/ADA			W	но	RNER	INTERPRETACIÓN							
POZO	FECHA	ARENA	API	Gravedad especifica	densidad	porsidad	Gradiente	Espesor	Prof. Sensor	Pi (psi)	kh (md.ft)	k (md)	Skin	Pi (psi)	kh (md.ft)	k (md)	Skin	P (MD)	Longitud (ft)	Almacenamiento	Pozo	Modelo de reservorio	Limite
PRH-001	22/6/1988	Ti	28	0,89	0,89	0,19	1,01	43,20	9769,1	2387,6	558,315	12,924	4,39033	2367	581,226	13,4543	4,64772	2431,129581	153,2955	Variable	Vertical	Homogéneo	Circular
PRH-002	16/1/1992	TI	32	0,87	0,87	0,13	1,05	51,80	9638,1	2468,23	30,8957	0,596442	-0,0438735	2581,66	13,1645	0,25414	-1,72924	2522,75858	22,41	Variable	Vertical	Homogéneo	Infinito
PRH-003	5/1/2004	Ti	30,4	0,87	0,87	0,17	1,02	21,70	9802,05	1311,52	1275,14	58,7622	21,4106	1301,66	1378,26	63,5145	23,5749	1333,676786	929,462	Constante	Vertical	Homogéneo	Falla
1101 005	12/2/2005	TI	27,2	0,89	0,89	0,17	1,02	21,70	9802,05	758,266	521,434	240,292	2,23472	736,186	353,85	163,064	0,541092	780,4517555	And the party	Constante	vertical	Homogéneo	Falla paralela
PRH-05	30/5/1988	Ti	31	0,87	0,87	0,18	1,01	16,00	9712	1763,99	1480,43	82,2461	9,55	1752,94	1399,42	77,7457	8,37602	1780,212578	265,712	Variable	vertical	Homogéneo	falla intersecante
PRH-08	14/2/2008	Ti	32	0,87	0,87	0,61	0,68	61,70	9745,35	1606,02	370,523	6,00523	-0,043097	1578,97	379,885	6,15696	-0,0262158	1648,165467	185,466	Constante	vertical	Homogéneo	Circulo cerrado
PRH-11	19/8/2008	Ti	32,7	0,86	0,86	0,50	0,77	49,50	9732,25	1527,57	4534,45	77,6264	18,1517	1527,31	4501,43	77,0612	17,919	1565,716121	1254,78	Variable	Fractura finita vertical	Homogéneo	falla intersecante
PRH-12	27/9/2008	п	31,8	0,87	0,87	0,41	0,84	41,10	9717,75	1489,27	1818,55	44,247	10,22	1506,36	1891,01	46,0099	10,517	1523,636877	82,5342	Constante	Vertical	Radial compuesto	Infinito
FMF12	10/2/2014	TI	32,2	0,86	0,86	0,41	0,84	41,10	9717,75	1392,45	90,5871	2,20407	-3,30334	1175,38	178,272	4,33752	-2,25348	1426,801033	94,0544	Constante	vertical	Homogéneo	Circular
	21/2/2014	Ti	32,2	0,86	0,86	0,41	0,84	41,10	9717,75	1047,68	2620,41	63,7569	-2,8267	1041,23	3058,62	74,4191	-2,48776	1082,031033	452,1313	Variable	Vertical	Homogéneo	Rectangular
PRH-13	12/10/2008	Ti	33	0,86	0,86	0,15	1,04	51,70	9727,15	1543,05	590,322	18,4475	1,2804	1587,94	590,427	18,4509	1,2184	1596,820214	300	Constante	Vertical	Radial compuesto	Infinito
PRH-14	20/2/2019	Ti	33,2	0,86	0,86	0,31	0,91	186,00	9629	1954,98	118,537	1,53963	11,6378	1953,49	1873,43	1,60132	11,8915	2124,747296	8896,63	Variable	Vertical	Homogéneo	Infinito
PRH-016	2/11/2010	Ti	31,5	0,87	0,87	0,12	1,06	46,50	10067,75	1471,05	1060,91	28,1035	12,34	1408,54	1094,38	28,9902	12,7053	1520,363219	158,23	Variable	Vertical	Homogéneo	falla intersecante
	8/12/2010	TI	32	0,87	0,87	0,17	1,02	59,90	9895,45	1386,6	558,037	11,8028	14,8464	1400,36	70,2886	1,48665	13,2594	1447,584005	100000000	Variable	Vertical	Homogéneo	Infinito
PRH-18	7/5/2011	ті	33	0,86	0,86	0,15	1,03	59,90	9895,45	1414,72	2967,3	50,2932	21,1025	1358,87	2621,9	44,439	21,0819	1476,695394	163,208	Constante	Vertical con entrada limitada	Estado estable de porosidad dual	Rectangular
	21/2/2019	TI	35	0,85	0,85	0,15	1,03	69,10	9895,45	914,726	144,441	2,44815	31,0278	918,27	141,445	2,39738	30,8023	986,1720756	3862,473301	Constante	Vertical	Radial compuesto	Circular
	7/3/2019	Ti	35	0,85	0,85	0,15	1,03	69,10	9895,45	892,427	1675,48	28,398	20,8998	892,807	1541,29	26,1236	20,5077	963,8730756	2614,402417	Constante	Vertical	Homogéneo	Infinito
PRH-021	2/3/2015	Ti	28,1	0,89	0,89	0,13	1,05	34,00	9943	1686,55	205,578	10,0282	12,9572	1699,73	187,935	9,16756	11,4238	1722,407858	245,347	Variable	Vertical	Homogéneo	Infinito
PRH-023	3/8/2019	TI	32,1	0,86	0,86	0,10	1,07	64,00	11114	3485,25	3456,21	531,725	-3,10885	3447,6	3119,1	479,861	-3,30912	3554,045885	1170,27	Constante	Vertical	Homogéneo	Falla simple
PRH-024	15/6/2015	Ti	32,2	0,86	0,86	0,14	1,04	52,50	10082,75	1658,53	373,074	15,0737	-1,28775	1562,35	341,169	13,7846	-1,84621	1713,18679	51,9329	Constante	Vertical	Homogéneo	falla intersecante
PRH-025	8/12/2011	Ti	32,1	0,86	0,86	0,10	1,07	88,00	9917	3577,07	362,871	60,4786	4,77216	3529,68	346,943	57,8238	4,15221	3671,664342	546,087	Constante	Vertical	Homogéneo	Falla paralela
PRH-030	3/5/2019	Ti	29,9	0,88	0,88	0,13	1,06	75,00	9830,5	2487,77	0,39111	0,00570964	-3,4986	411,299	50,0949	0,731312	-5,19497	2566,997936	1177	Constante	Vertical	Homogéneo	Infinito
PRH-031	23/4/2020	Ti	32,1	0,86	0,86	0,14	1,04	36,86	12016,85	3494,37	6289,77	306,818	5,73086	3417,35	6334,85	309,017	5,66055	3532,858843	1414,964	Variable	Vertical	Homogéneo	Falla paralela
PRH-040	29/11/2013	П	29,8	0,88	0,88	0,13	1,05	25,60	9969,1	1855,36	1091,74	46,26	4,67998	1651,65	1129,99	47,8807	4,72515	1882,364831	1000	Constante	Vertical	Radial compuesto	Infinito

#### 3.6. Proyecciones de presiones mediante interpolación

Mediante las interpretaciones y en conjunto con las completaciones, se pudo realizar extrapolaciones para conocer las presiones que tendrá cada arena de cada pozo a la fecha del 31 de diciembre del 2020. Esto ayudó a tener un amplio espectro de cómo se distribuye las presiones en el campo Parahuacu, cuya finalidad es dar opciones para mejorar la productividad del campo.

Se presenta proyecciones de PRH-001 Ts, PRH-008 TI, ver en Anexo II todas las interpolaciones.

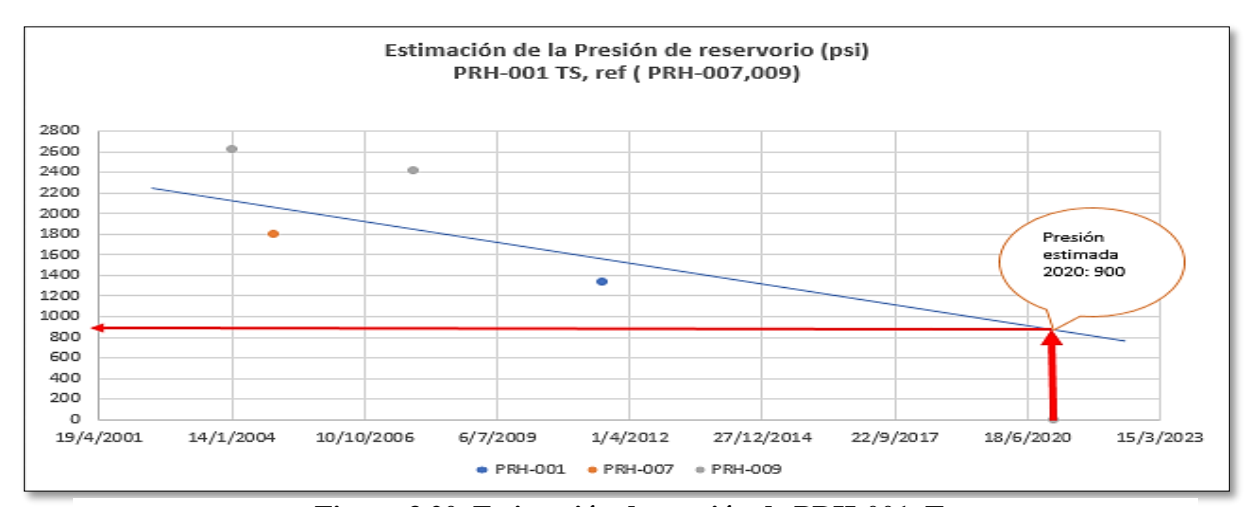


Figura 3.20. Estimación de presión de PRH-001, Ts

El pozo PRH-001 produciendo de Ts, se estima que terminará el año con una presión de 900 psi.

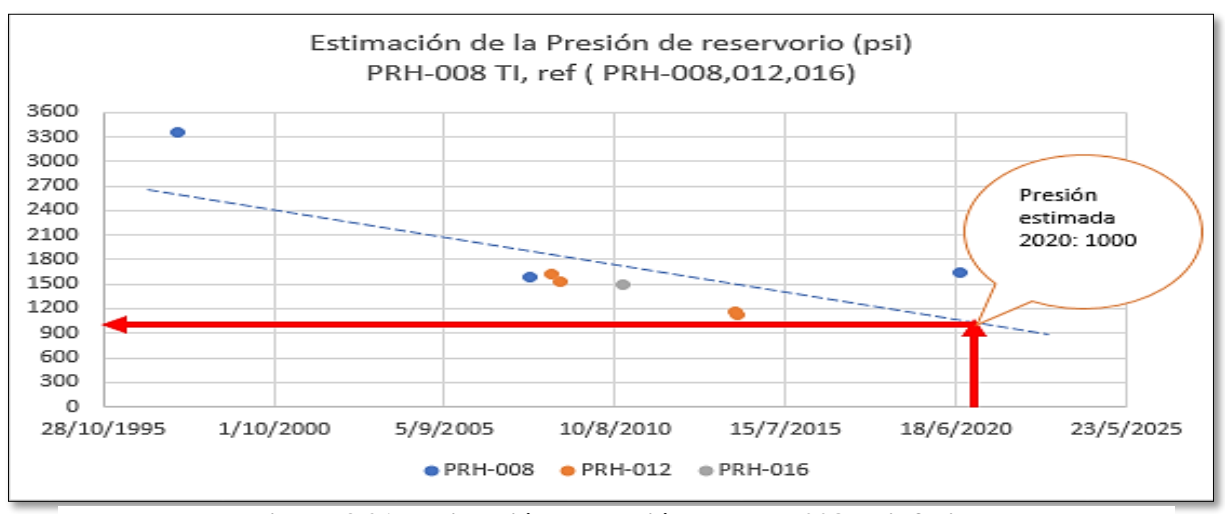


Figura 3.21. Estimación de presión de PRH-008, T inferior

El pozo PRH-008 produciendo de T inferior, se estima que terminará el año con una presión de 1000 psi.

#### 3.7. Mapas isobáricos

Con la ayuda de los datos de completación, análisis realizados en las interpretaciones de las pruebas de build up en Napo Ti y aplicación de ecuaciones para obtener la presión a mediados de los perforados se realizaron mapas isobáricos de las arenas productoras del campo.

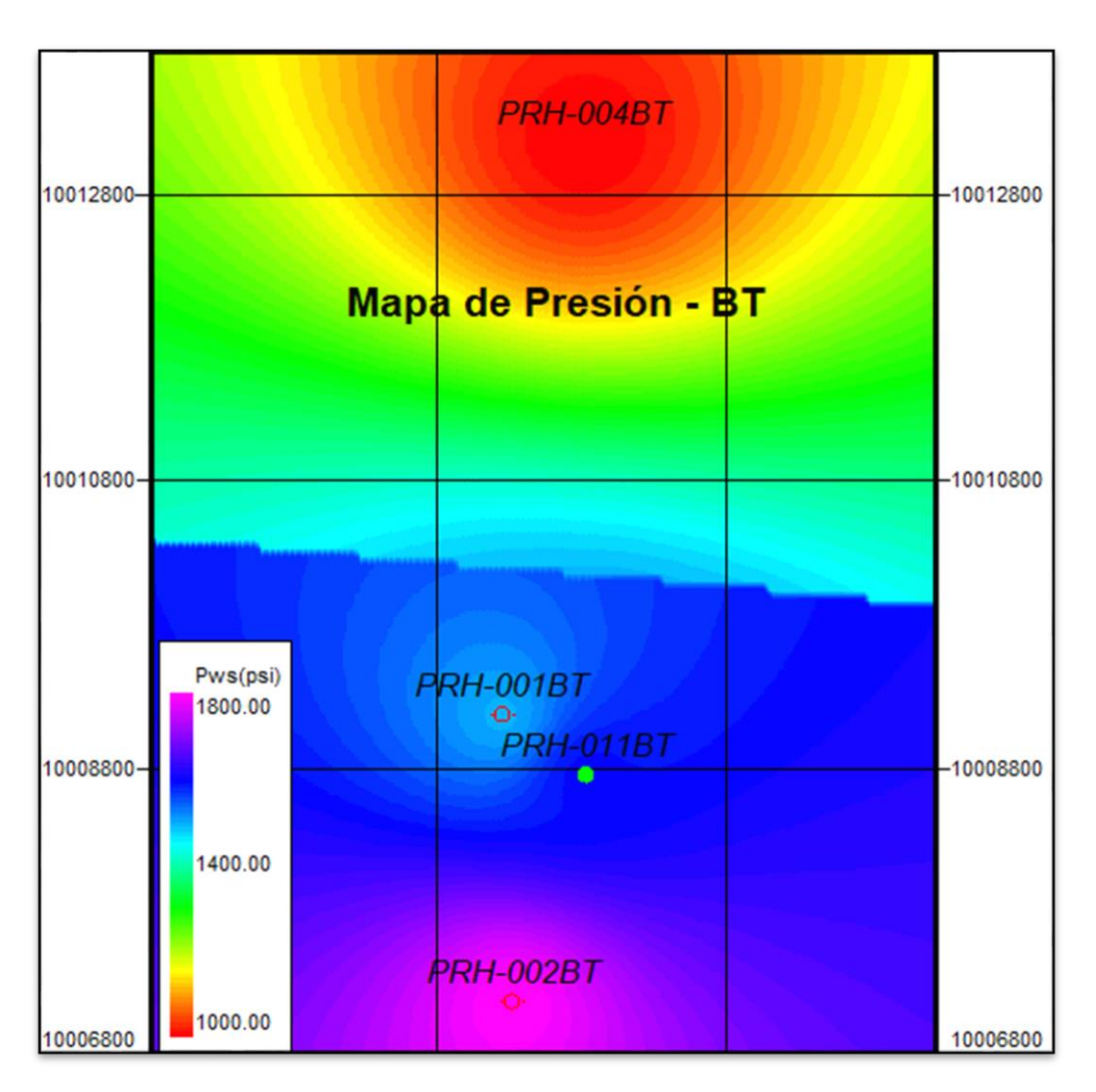


Figura 3.22. Mapa isobárico, Basal Tena

La figura 3.22 representa las presiones del campo Parahuacu de la arena Basal Tena realizado en el software OFM. Fue obtenido por medio de extrapolaciones en una escala a la fecha 31 de diciembre del 2020. Para el desarrollo de este mapa se utilizaron: PRH-001, PRH-002, PRH-004, PRH-011; se observa que la mayor presión corresponde a PRH-002 en el extremo inferior del mapa, se estima que el valor promedio de esa presión es de más o menos 1400 psi.

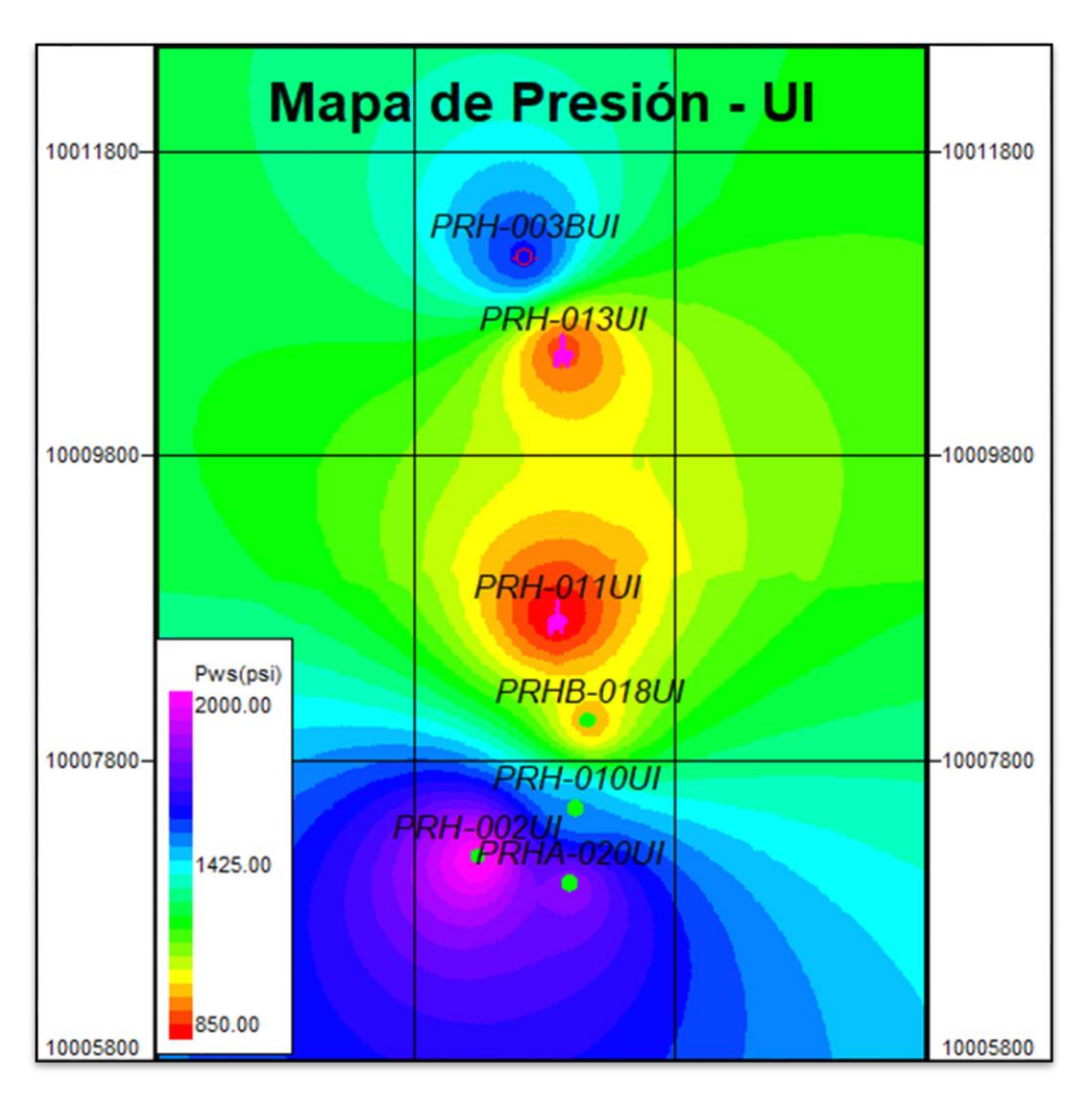


Figura 3.23. Mapa isobárico, U inferior

La figura 3.23 representa las presiones del campo Parahuacu de la arena U inferior realizado en el software OFM. Fue obtenido por medio de extrapolaciones en una escala a la fecha 31 de diciembre del 2020. Para el desarrollo de este mapa se utilizaron: PRH-002, PRH-003B, PRH-010, PRH-011, RPH-13, RPH-18, PRH-20, se observa que la mayor presión corresponde a PRH-002 y PRH-020 en el extremo inferior del mapa con una presión de 2000 psi, se estima que el valor promedio de esa presión es de más o menos 1425 psi.

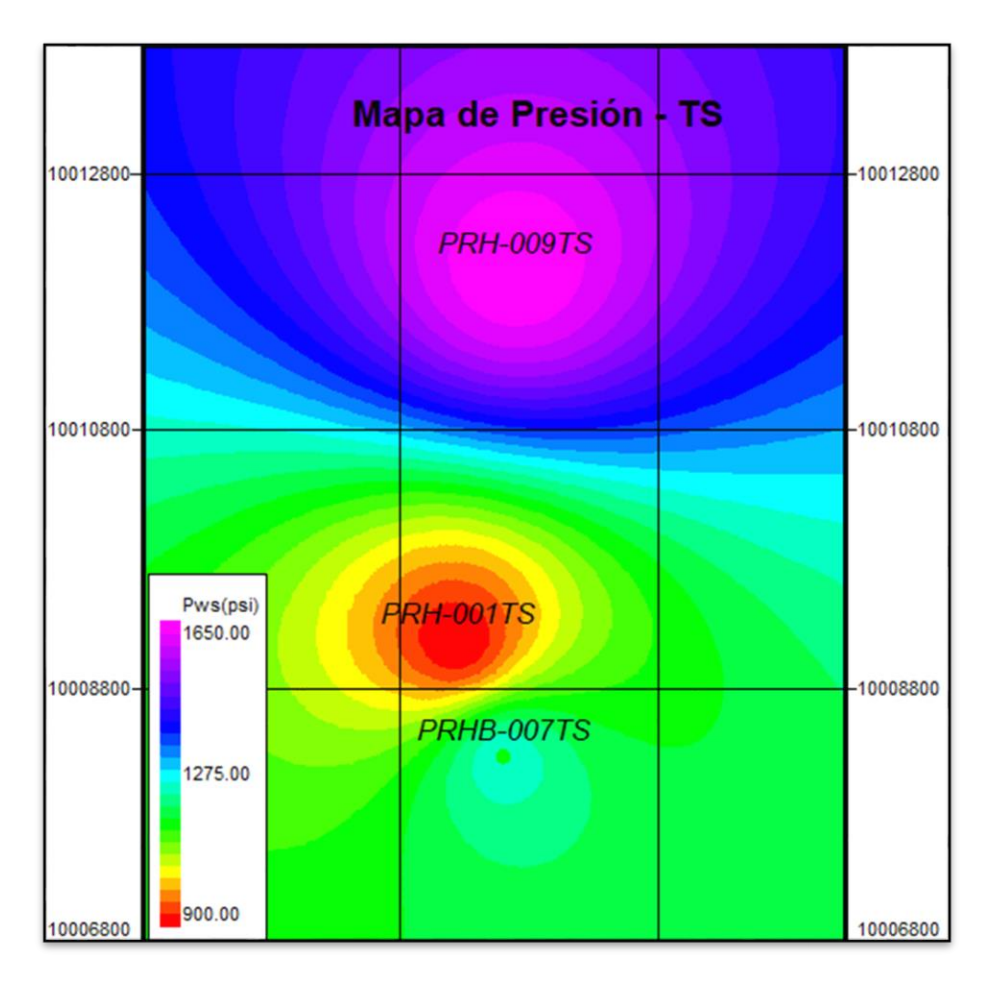


Figura 3.24. Mapa isobárico, T superior

La figura 3.24 representa las presiones del campo Parahuacu de T superior realizado en el software OFM. Fue obtenido por medio de extrapolaciones en una escala a la fecha 31 de diciembre del 2020. Para el desarrollo de este mapa se utilizaron: PRH-001, PRH-009, PRH-007, se observa que la mayor presión corresponde a PRH-009 es decir en el extremo superior del mapa, se estima que el valor promedio de presión de esta arena es de 1275 psi.

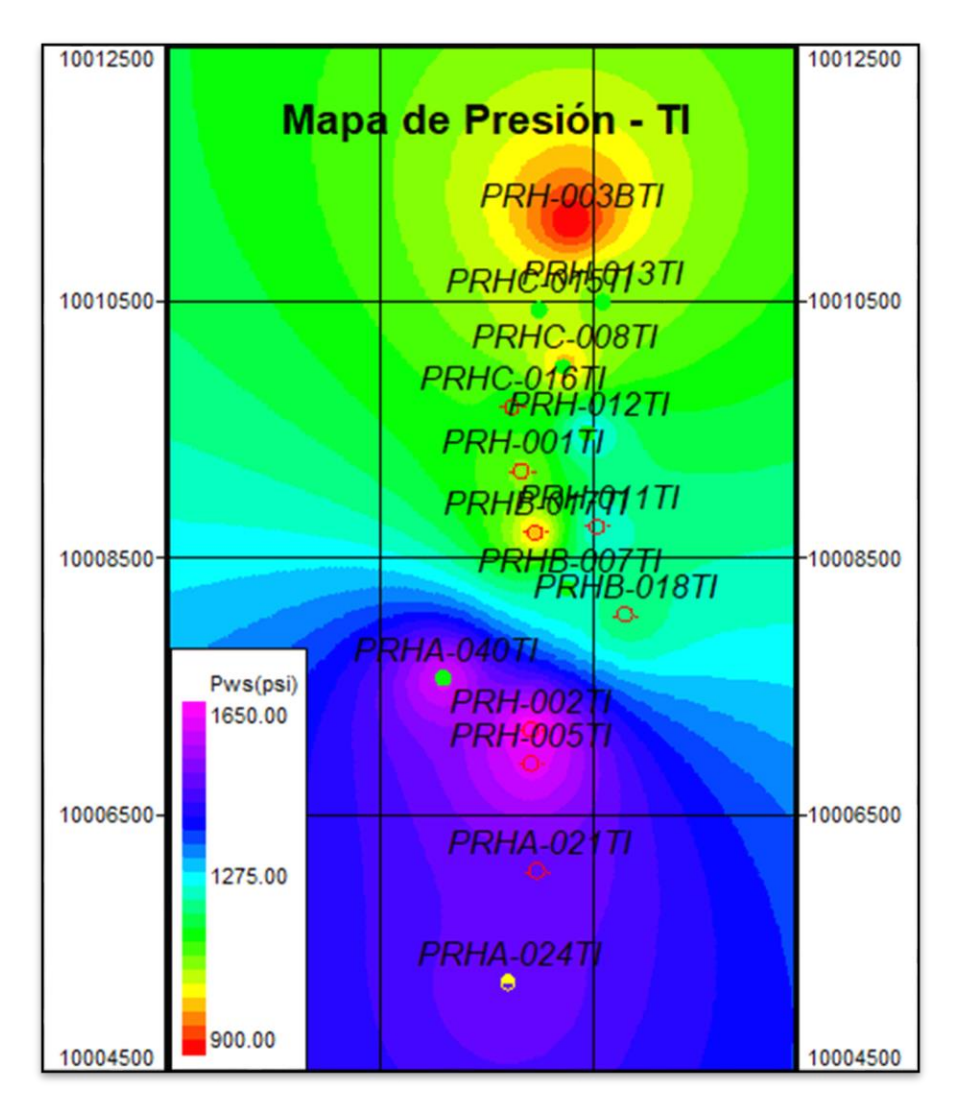


Figura 3.25. Mapa isobárico, T inferior

La figura 3.25 representa las presiones del campo Parahuacu de la arena más productora del campo que es T inferior realizado en el software OFM. Fue obtenido por medio de extrapolaciones en una escala a la fecha 31 de diciembre del 2020. Para el desarrollo de este mapa se utilizaron: PRH-001, PRH-002, PRH-003B, PRH-004, PRH-007, PRH-008, PRH-11,12,13,15,16,17,18,21,24, se observa que la mayor presión corresponde a PRH-002, PRH-005 Y PRH-040, la presión promedio de la arena es de 1275 psi.

#### 3.8. Mapas de permeabilidades

El concepto de permeabilidad absoluta indica que es una propiedad física intrínseca de la roca, es decir no varía, mientras no fuera afectado por algún medio externo como una estimulación o un fracturamiento. La permeabilidad absoluta, a su vez, se combina con los datos de la permeabilidad relativa a una saturación de agua determinada, dando lugar a la Permeabilidad Efectiva.

Con la compilación de valores de permeabilidades efectivas de las completaciones, se logró realizar la caracterización de las arenas, ya que se puede observar arealmente la permeabilidad máxima que se alcanzaría a la saturación inicial de agua.

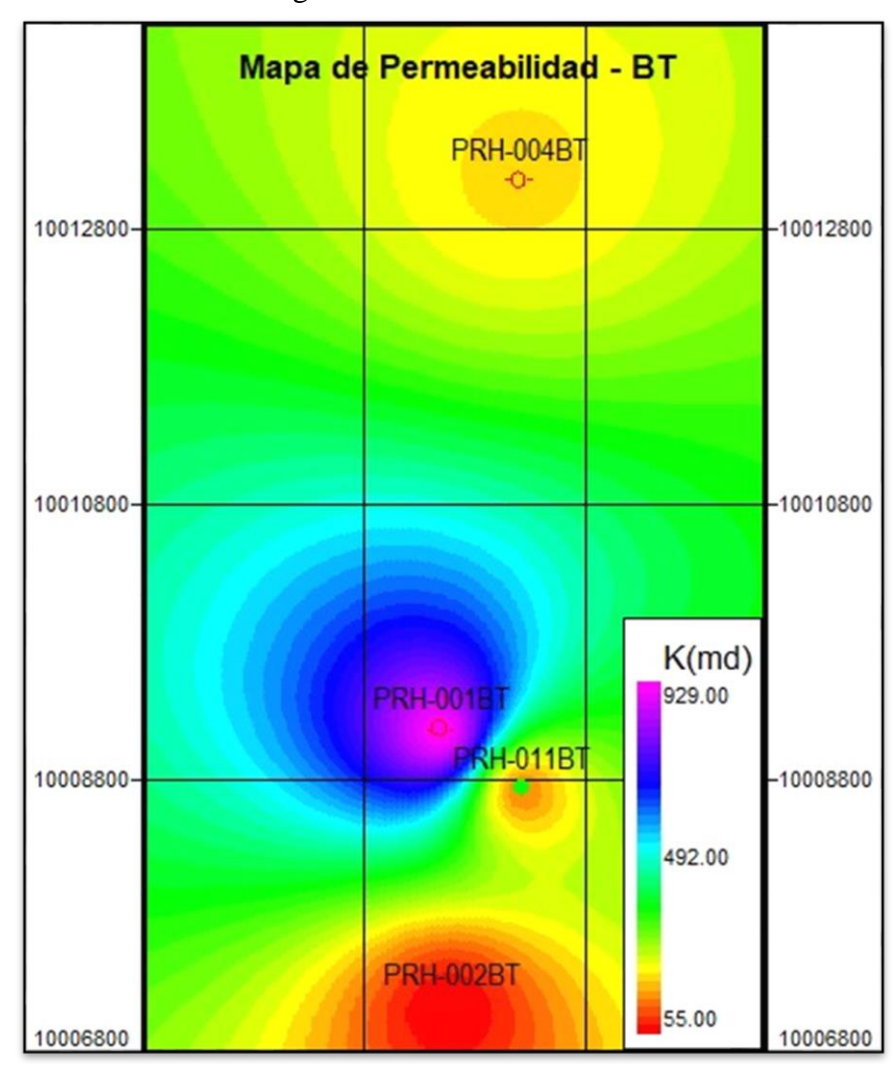


Figura 3.26. Mapa de permeabilidad, Basal Tena

La figura 3.26 representa las permeabilidades absolutas del campo Parahuacu de la arena Basal Tena realizado en el software OFM. Fue obtenido de datos de completaciones. Para el desarrollo de este mapa se utilizaron: PRH-001, PRH-002, PRH-004, PRH-011, se observa que la mayor permeabilidad corresponde a PRH-001 en la parte central del mapa con un valor aproximado de 929 (mD), se considera excelente permeabilidad. Mientras que PRH-002 posee una baja permeabilidad aproximadamente de 55 (mD).

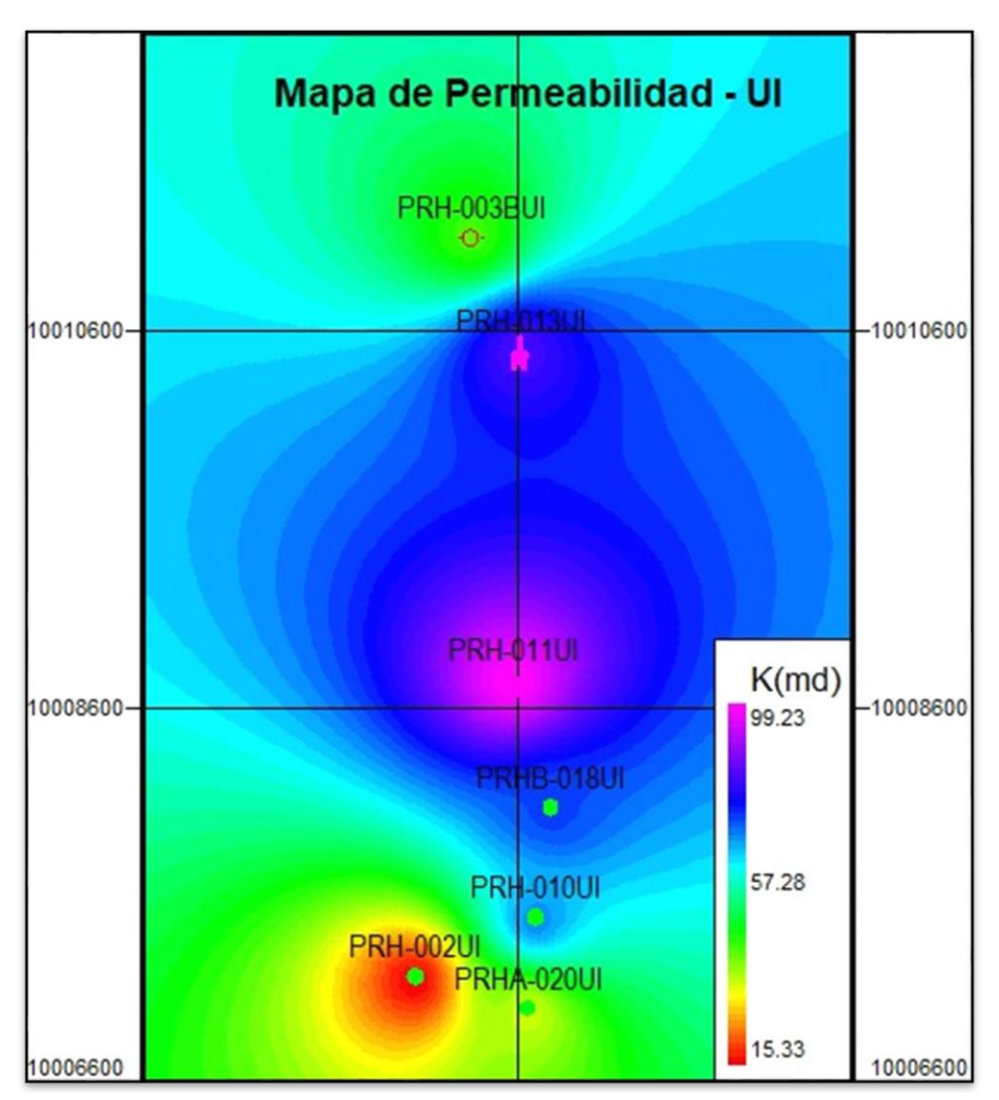


Figura 3.27. Mapa de permeabilidad, U inferior

La figura 3.27 representa las permeabilidades absolutas del campo Parahuacu de la arena U inferior realizado en el software OFM. Fue obtenido de datos de completaciones. Para el desarrollo de este mapa se utilizaron: PRH-001, PRH-002, 3B,10,11,13,18,20, se observa que la parte central posee mayor permeabilidad en la que se encuentra ubicado PRH-011 con un valor de 99.23 (mD), pero

alrededor se encuentran PRH-10,13 y 18 con una permeabilidad mayor a 60 (mD), son valores considerados buenos.

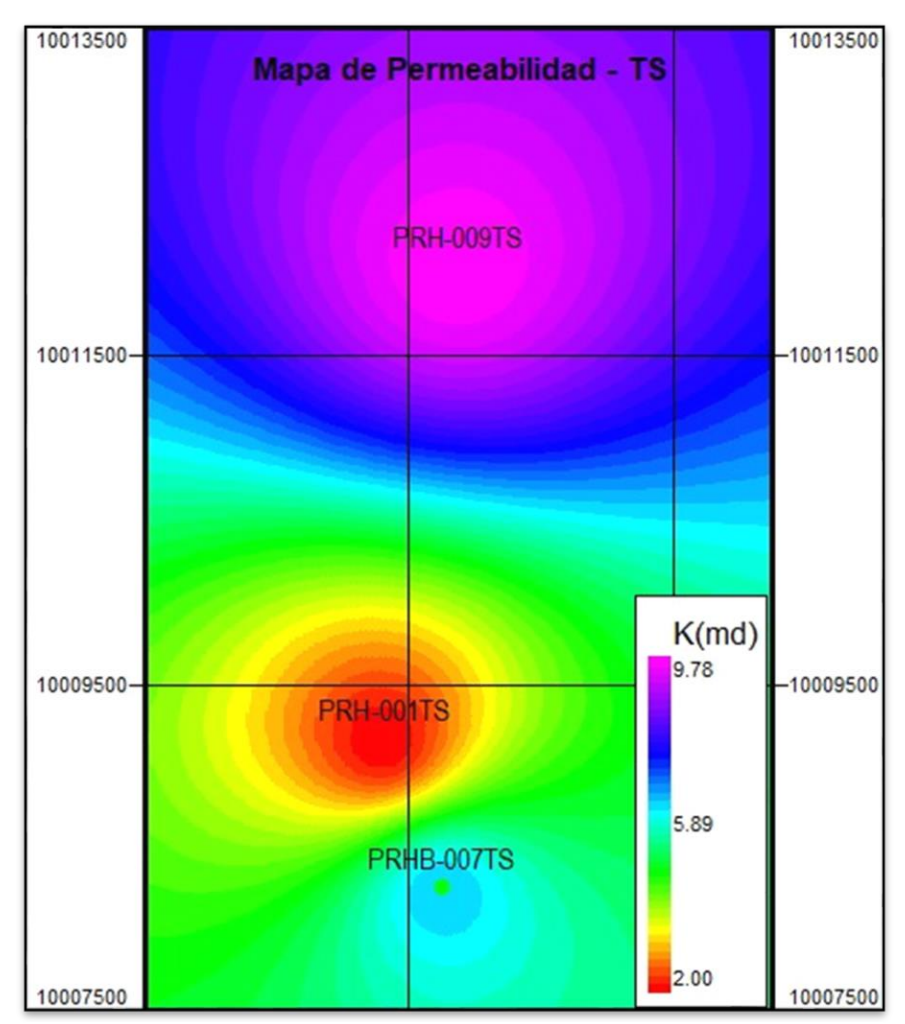


Figura 3.28. Mapa de permeabilidad, T superior

La figura 3.28 representa las permeabilidades absolutas del campo Parahuacu de la arena T superior realizado en el software OFM. Fue obtenido de datos de completaciones. Para el desarrollo de este mapa se utilizaron: PRH-001, PRH-007, PRH-009, se observa que en esta arena se tiene valores en un rango entre (2-9.78) mD, son valores consideramos muy bajos.

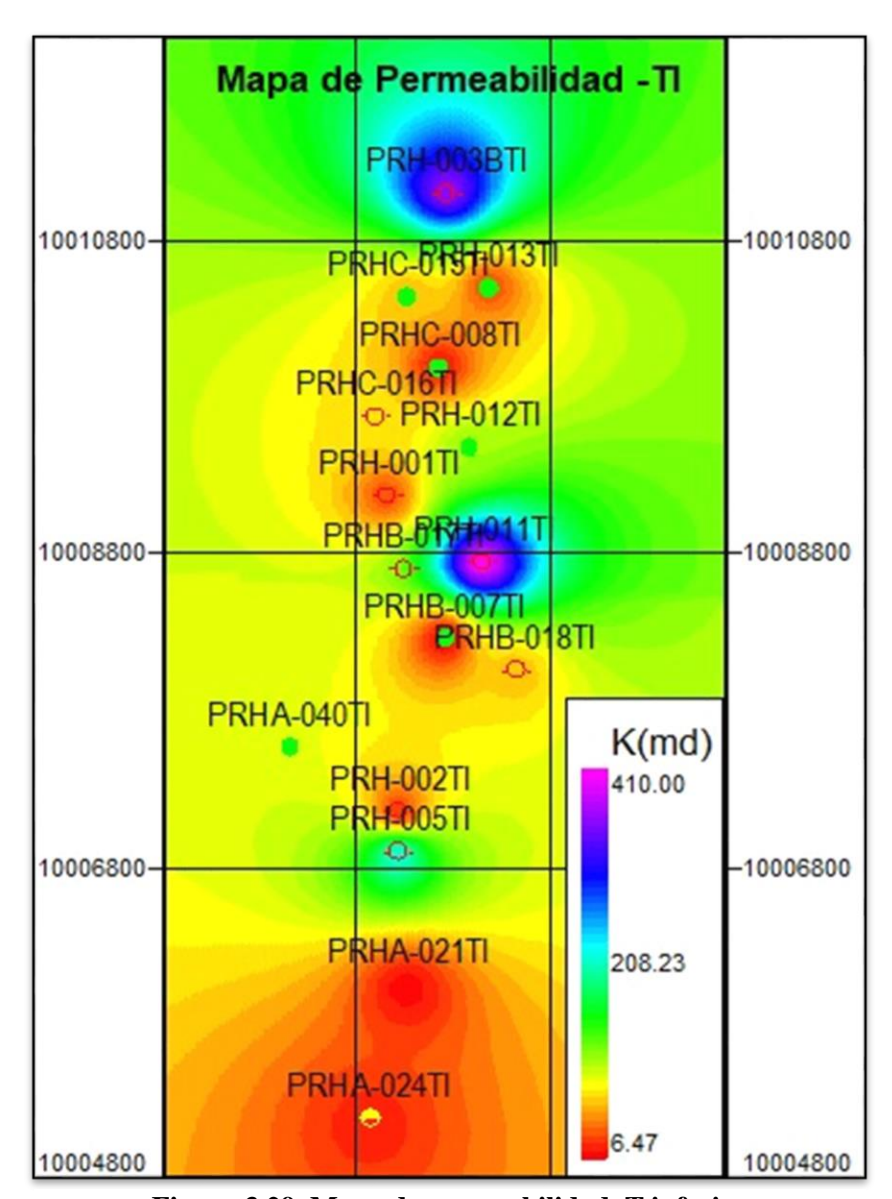


Figura 3.29. Mapa de permeabilidad, T inferior

La figura 3.29 representa las permeabilidades absolutas del campo Parahuacu de la arena T inferior realizado en el software OFM. Fue obtenido de datos de completaciones y de nuevas interpretaciones realizadas. Para el desarrollo de este mapa se utilizaron: PRH-001, PRH-002, PRH-003B, PRH-007, PRH-008, PRH-11,12,13,15,16,17,18,21,24, se observa que la mayor permeabilidad corresponde a PRH-003B en el extremo superior y PRH-011 en la parte central del mapa con un valor aproximado de 300 (mD), se considera excelente permeabilidad.

#### 3.9. Análisis de reacondicionamiento

Se muestra en el apéndice III las gráficas de caída de presión versus petróleo acumulado (Np) de las cuatro arenas; en conjunto con la tabla de permeabilidades promedios de cada arena adjuntada en el apéndice II, se seleccionó los pozos candidatos para realizar trabajos de reacondicionamientos, ya que cuentan con permeabilidades relativamente bajas y cercanos o sobre del punto de burbuja. Con estas dos características se obtuvieron los siguientes pozos: PRH-002 Ui, PRH-011 BT, PRH-014 Ti, PRH-020 Ui.

Mediante las gráficas del historial de producción, se puede observar la declinación que tienen cada uno de los pozos mencionados, en conjunto con los mapas de presión y permeabilidad representa un indicativo de mayor confianza en decidir que dichos pozos se debe realizar un reacondicionamiento, en la cual mejore la permeabilidad y se tenga un incremento en la producción. También se realizó el análisis de la declinación anual, mensual y diaria para confirmar que a finales del año 2020 los pozos presentarán un decremento en su producción promedio de hasta un 27% (aproximado).

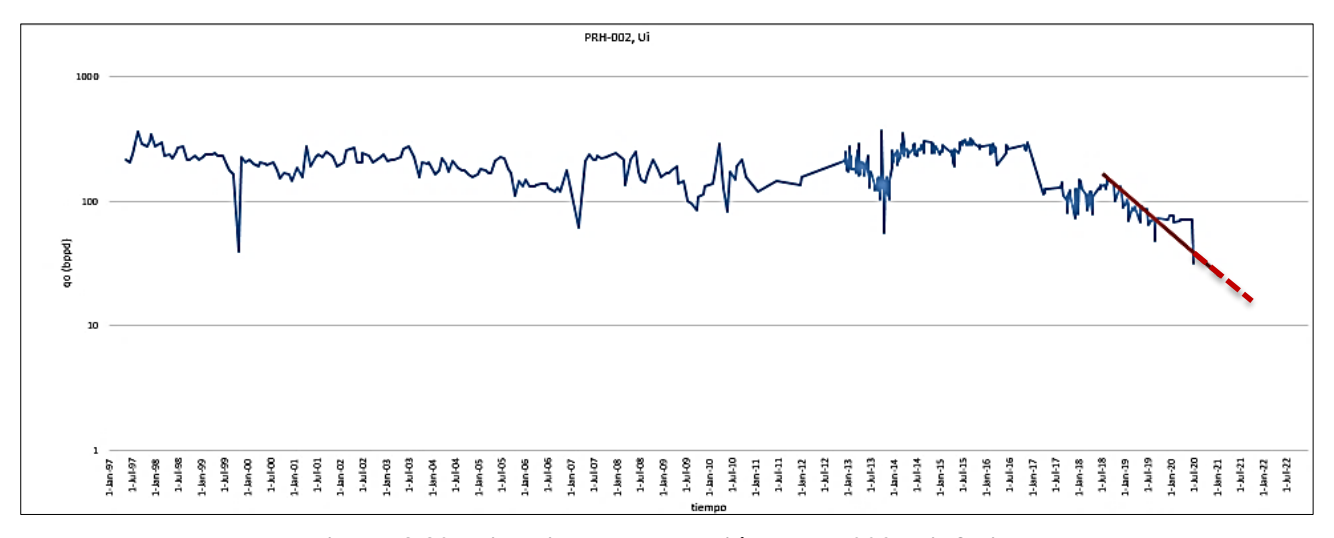


Figura 3.30. Historial de producción, PRH-002 U inferior

Tabla 3.5. Declinación PRH-002 U inferior

Declinaciones Modelo: Exponencial				
Anual	Mensual	Diario		
68.6%	9.21%	0,31%		
ULTIMA TASA DE PRODUCCIÓN:				
Caudal	70,9	Bppd		
ESTIMACIÓN PROMEDIO A FINALIZAR EL AÑO 2020:				
Caudal	22.68	Bppd		
Np	1.516	MBIs		

PRH-002 produce por un sistema de bombeo hidráulico, cuenta con 13 w.o., en las cuales se le han realizado trabajos como estimulaciones con fractura, acido, solventes; en el año 1988 cambiaron el sistema de producción por un bombeo electrosumergible y desde esa fecha se realizaron trabajos de reacondicionamiento para reparaciones de bomba electrosumergible o cambio de la misma, en el año 2017 se fracturaron nuevos intervalos y finalmente en el año 2018 se cambió el sistema de bombeo electrosumergible por bombeo hidráulico.

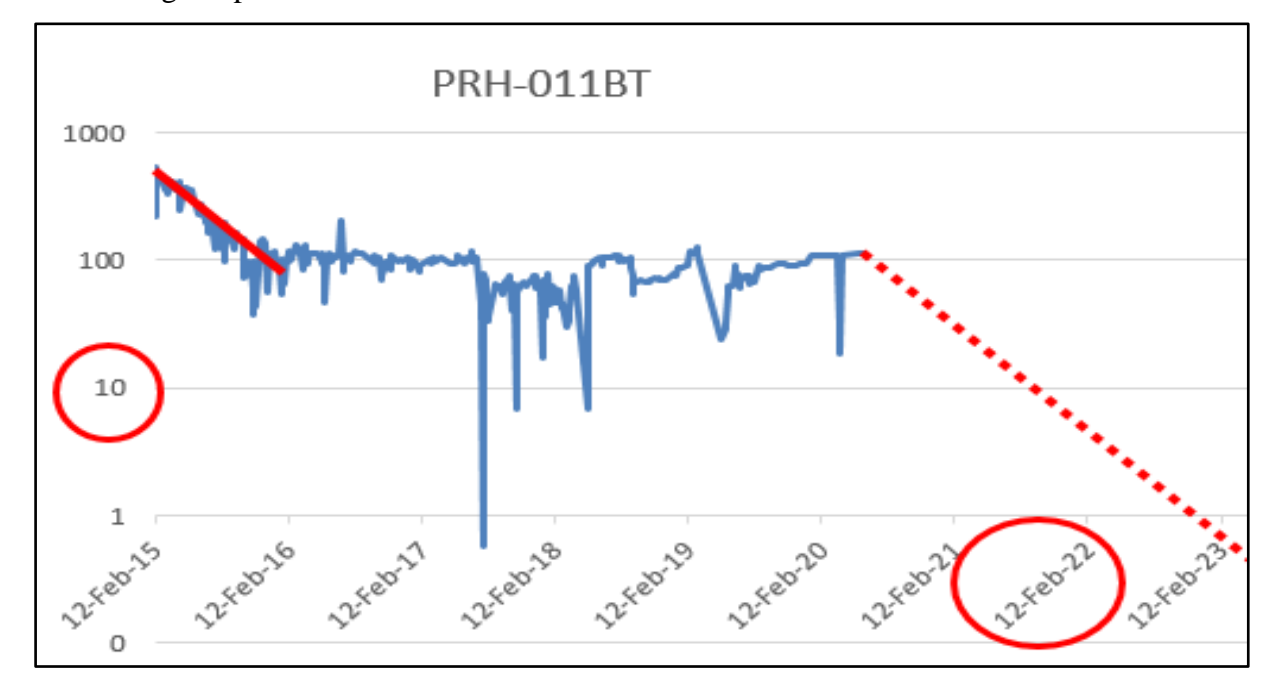


Tabla 3.6. Declinación PRH-011 BT

Figura 3.31. Historial de producción, PRH-011 BT

Declinaciones Modelo: Exponencial				
Anual	Mensual	Diario		
85,88%	15,05%	0,53%		
ULTIMA TASA DE PRODUCCIÓN:				
Caudal	112	Bppd		
ESTIMACIÓN PROMEDIO A FINALIZAR EL AÑO 2020:				
Caudal	63,726	Bppd		

PRH-011 produce por sistema de bombeo hidráulico, tiene 3 w.o. En el 2015 realizaron operaciones de cañoneo y prueba de producción, en el 2017 realizan Pulling hidráulico y prueba de producción, en el 2018 se vuelve a realizar un Pulling hidráulico y se arma nueva completación de bombeo hidráulico.

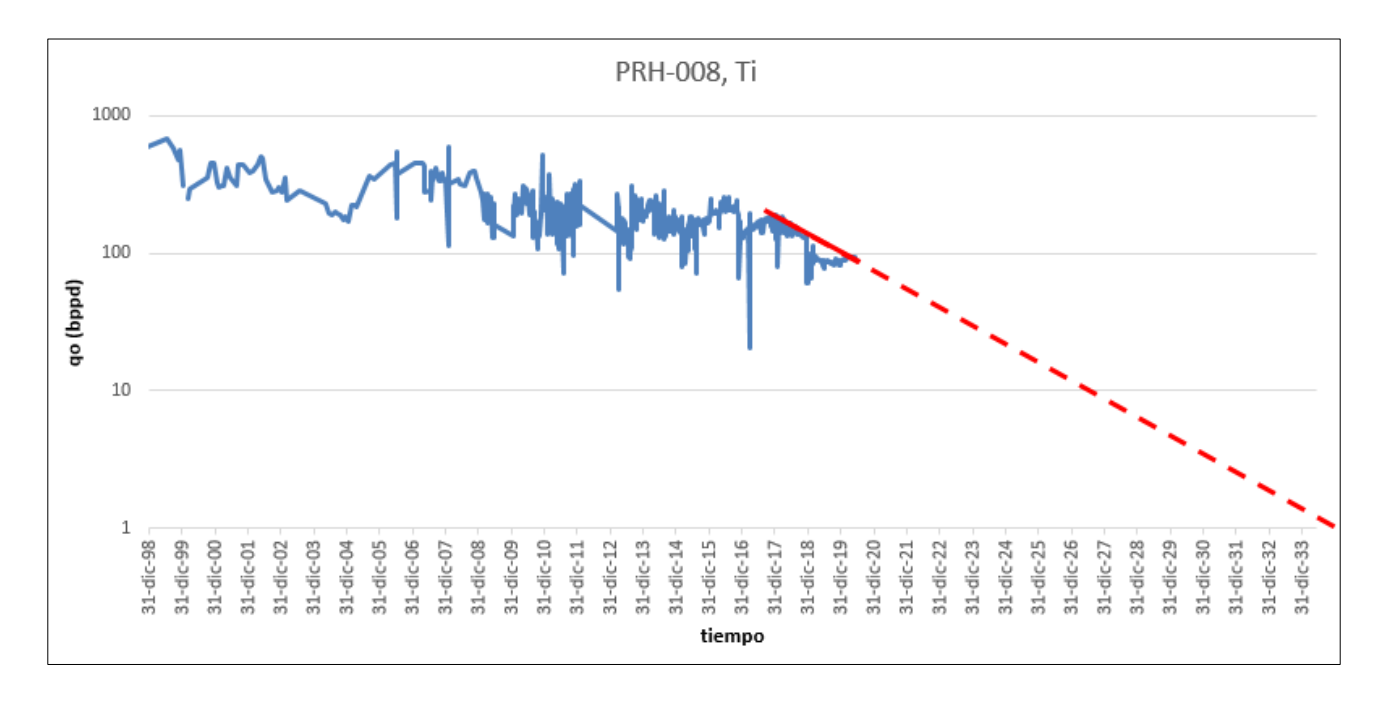


Figura 3.32. Historial de producción, PRH-008 T inferior

Tabla 3.7. Declinación PRH-014 T inferior

Declinaciones Modelo: Exponencial

Anual	Mensual	Diario		
29.7%	2.9%	0,09%		
ULTIMA TASA DE PRODUCCIÓN:				
Caudal	90	Bppd		
ESTIMACIÓN PROMEDIO A FINALIZAR EL AÑO 2020:				
Caudal	63.9	Bppd		

PRH-008 produce por sistema power oil, tiene 6 w.o realizados, la mayoría son por cambio d completaciones debido a problemas como: packer desasentado, daño en STD valve, tubería en mal estado, continuos taponamientos y equipos atascados, en 2006 se realizó fracturamiento de nuevos intervalos debido a que la zona en que se encontraba no había aporte de hidrocarburo, el reacondicionamiento más reciente fue en el año 2019 en la que se realizó un pulling hidráulico.

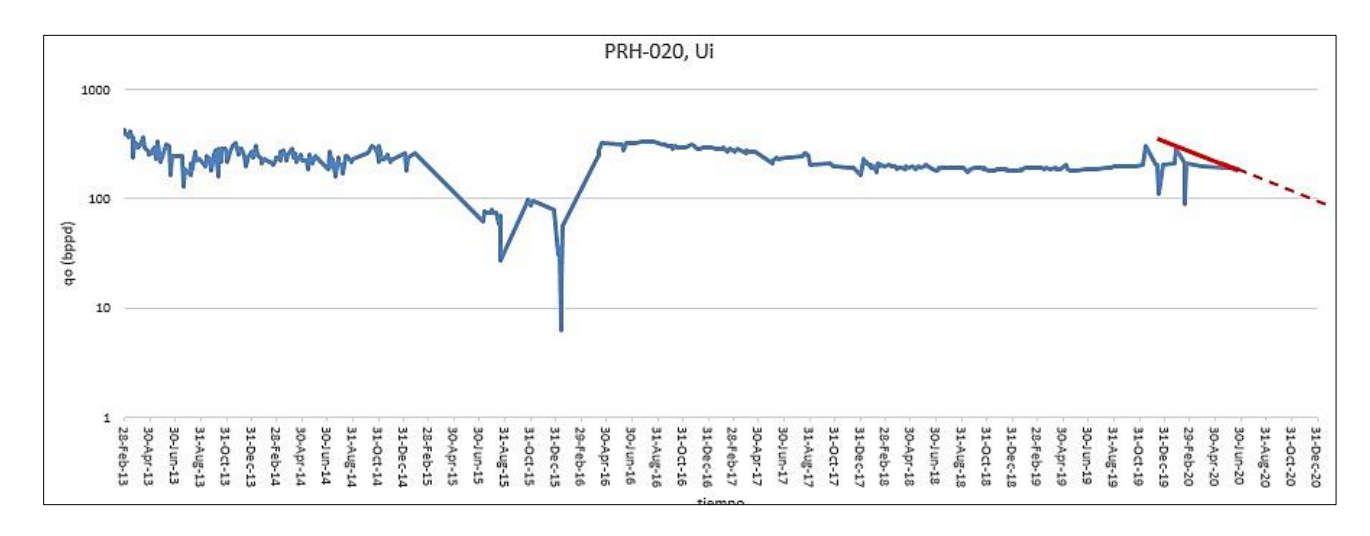


Figura 3.33. Historial de producción, PRH-020 U inferior

Tabla 3.8. Declinación PRH-020 U inferior

Declinaciones Modelo: Exponencial				
Anual	Mensual	Diario		
41,3%	3.5%	0,1%		
ULTIMA TASA DE PRODUCCIÓN:				
Caudal	103	Bppd		
ESTIMACIÓN PROMEDIO A FINALIZAR EL AÑO 2020:				
Caudal	62.7	Bppd		

PRH-020 actualmente produce mediante un sistema de bombeo electrosumergible, inicia su producción en el 2013, en el año 2015 se tienen problemas de escalas, pero se los disuelve con Bath de inhibidor, se le ha realizado 4 w.o. en los cuales se le ha realizado un fracturamiento hidráulico en el año 2015 teniendo como resultado un aumento de producción de petróleo de 192 a 432 bppd.

# CAPÍTULO IV

## 4. Conclusiones y recomendaciones

#### 4.1. Conclusiones

Con la finalidad de aumentar la productividad del campo Parahuacu, reduciendo los tiempos de operación aplicado en cada pozo, se desarrolló mapas isobáricos, luego de los procesos metodológicos, resultados y análisis de observaciones, por lo que se concluye que:

- El análisis del tamaño poblacional fue de 112 completaciones, de la cual se escogió como muestra 58, ya que se los consideró como completaciones con suficiente información a ser analizada, 54 completaciones fueron descartadas por estar en proceso de planeación y no constar con información alguna de dichos pozos, para un mayor orden y comprensión de los parámetros necesarios para el desarrollo de mapas isobáricos se realizó matrices.
- Se realizó el análisis de pruebas de presión en 19 pozos. Se consideraron como las interpretaciones más representativas aquellas que fueron llevadas a cabo en los pozos que presentaron información completa y su respectiva data de prueba de presión.
- La mayor parte de los pozos que están cercanos a la falla presentaron anomalías en valores como la permeabilidad y que no son representativos del reservorio. Tal es el caso de algunos pozos que presentaba un almacenamiento constante y con un modelo de reservorio con doble porosidad o doble permeabilidad, indicando que dicha arena tiene carbonatos, pero la estratigrafía del campo indica que es arenisca.
- Mediante extrapolación de presión de reservorio a mediados de perforados e interpretaciones de la arena más productora Napo Ti, se logró estimar valores de dicha presión a diciembre del año 2020, y así obtener una mayor cantidad de valores representativos de cada pozo completado para representar su presión a futuro mediante mapas isobáricos.
- Combinado los mapas elaborados, se observan zonas donde existen muy bajos valores de permeabilidad y altos valores de presión de yacimiento. Por otra parte, en tales regiones se

llevó acabo los análisis de declinación, lo cual arrojó que en los pozos cercanos existen valores moderados de reservas remanentes. Todo esto nos permite concluir que estas zonas son aptas para realizar programas de reacondicionamientos y métodos de estimulación o fracturamiento.

#### 4.2. Recomendaciones

- A medida que se obtenga información actualizada de presión en los nuevos pozos, las líneas isobáricas deben ser modificadas conforme a los datos.
- En función a los análisis realizados a los mapas de presión y permeabilidad, y a los valores de producción reportados en los pozos PRH-002 (yacimiento Ui), PRH-011 (yacimientos BT), PRH-008 (yacimiento Ti), PRH-020 (yacimiento Ui), se recomienda aplicar trabajos de reacondicionamiento que permitan remediar o incrementar las permeabilidades a nivel de la cara de la arena, bien sea con operaciones de acidificación matricial o fractura hidráulica.
- En las zonas que muestran presiones bajas y permeabilidad moderadamente altas, y que a su vez se encuentran buzamiento debajo de cada yacimiento, se recomienda realizar un estudio para la aplicación de procesos de procesos de inyección de agua periférica, con la finalidad de mantenimiento de la presión. Por ejemplo, bajo estas premisas se podría convertir a inyector PRH-016 (yacimiento Ti).

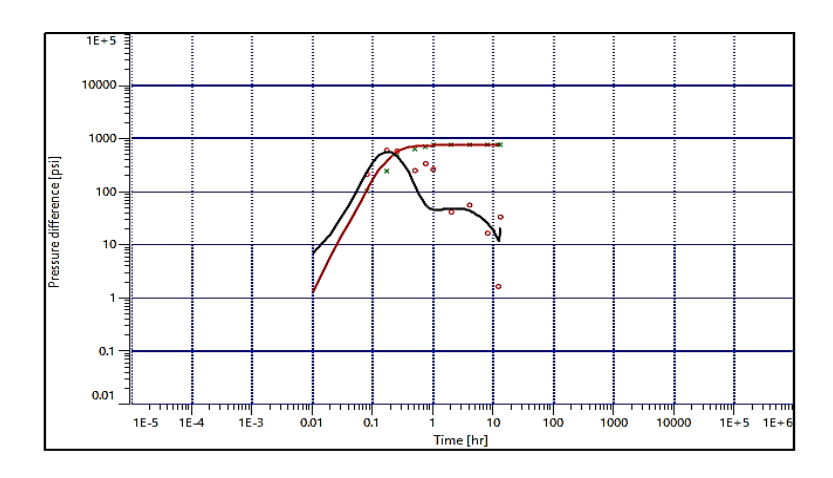
### Bibliografía

- Ahmed, Tarek; McKinney, P. D. (316 C.E.). Advanced Reservoir Engineering (ELSEVIER).
- Baby, Patrice; Rivadeneira, Marco; Barragán, R. (2004). *La cuenca oriente: Geología y petróleo* (A.-M. Brougere (Ed.); Primera).
- Comercio. (2017). *OMS dice que baja la dependencia del petróleo como motor económico de Ecuador*. https://www.elcomercio.com/actualidad/omc-baja-dependencia-petroleo-ecuador.html
- Ep, P. (2017). *Ronda, Campos menores*, *Campo Parahuacu*. https://web.ins.gob.pe/sites/default/files/Archivos/censi/Achiote\_Vademecum.pdf
- Escobar, Freddy H., Saavedra, N. F., Hernández, C. M., Hernández, Y. A., Pilataxi, J. F., & Pinto, D. A. (2004). Pressure and pressure derivative analysis for linear homogeneous reservoirs without using type-curve matching. *Society of Petroleum Engineers Nigeria Annual International Conference and Exhibition 2004, NAICE 2004*, 1–17. https://doi.org/10.2118/88874-ms
- Escobar, Freddy Humberto. (2003). Analisis moderno de presiones de pozos. 107,108.109.110.
- Escobar, Freddy Humberto, Navarrete, J. M., & Losada, H. D. (2004). Evaluation of pressure derivative algorithms for well-test analysis. *SPE International Thermal Operations and Heavy Oil Symposium Proceedings*, 183–192. https://doi.org/10.2523/86936-ms
- G, K. G. (2015). KAZAN (VOLGA REGION) FEDERAL UNIVERSITY INSTITUTE OF PHYSICS Department of radioelektronic WELL TEST ANALYSIS Teaching textbook for the course of lectures.
- Gonzáles, B. (2013). Definición del mapa de presiones del campo Drago mediante análisis de pruebas de presión. In *Journal of Chemical Information and Modeling* (Vol. 53, Issue 9). https://doi.org/10.1017/CBO9781107415324.004
- Gonzalez, A. (2003). Determinación de la geometría de los yacimientos.
- Hechavarría, Rodney; López, G. (2013). WELL TESTING. In *Journal of Chemical Information and Modeling* (Vol. 53, Issue 9). https://doi.org/10.1017/CBO9781107415324.004
- Houzé, O., Viturat, D., Fjaere, O., & Trin, S. (2011). Dynamic Data Analysis Practice of Pressure Transient, Production Analysis, Well Performance Analysis, Production Logging and the Use of Permanent Downhole Gauge Data. In *Houston, TX*. http://scholar.google.com/scholar?hl=en&btnG=Search&q=intitle:the+theory+and+practice+of+pressure+transient,+production+analysis,+well+performance+analysis,+production+logging+and+the+use+of+permanent+downhole+gauge+data#1
- KAPPA Resumen de Saphir. (n.d.). https://www.kappaeng.com/software/saphir
- Paulina, D., & Andrade, F. (2019). Escuela politécnica nacional.
- Quiroa, M. (2019). ¿Por qué el precio del petroleo es determinandte en la economía mundial?

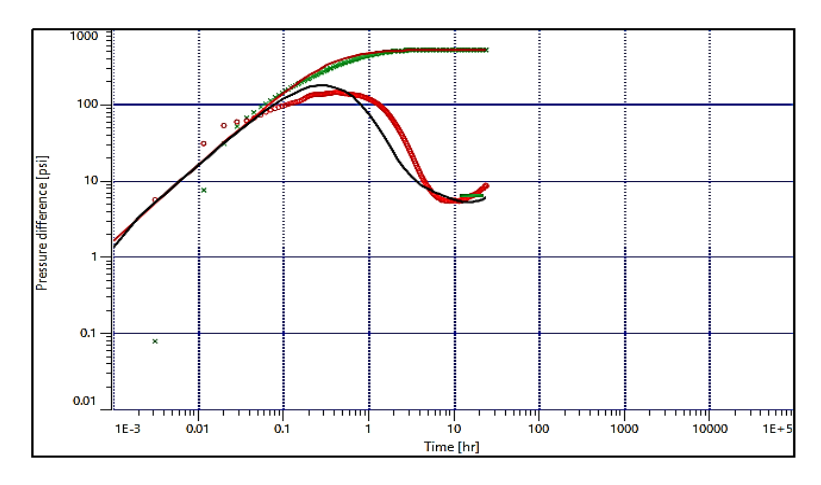
 $Economipe dia.\ https://economipe dia.com/actual/por-que-el-precio-del-petroleo-es-determinante-en-la-economia-mundial.html$ 

Schlumberger. (2019). *Plataforma de software Petrel E&P*. OFM 2019.1. https://www.software.slb.com/software-news/software-top-news/ofm/ofm-2019-1

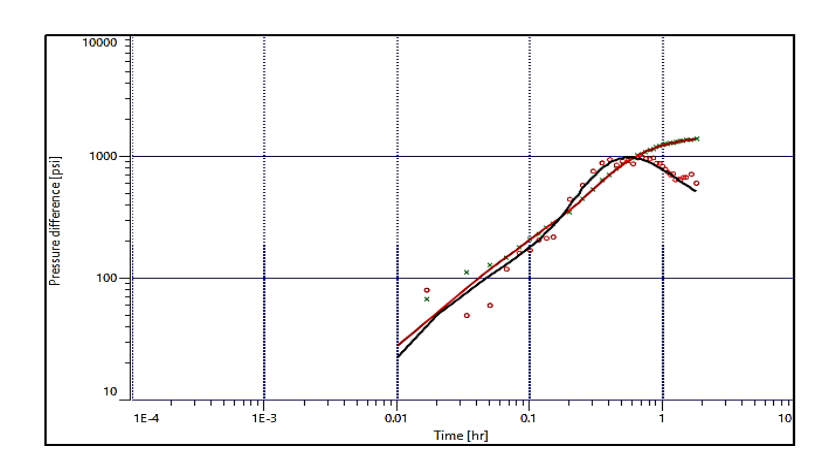
## Apéndice No.1.



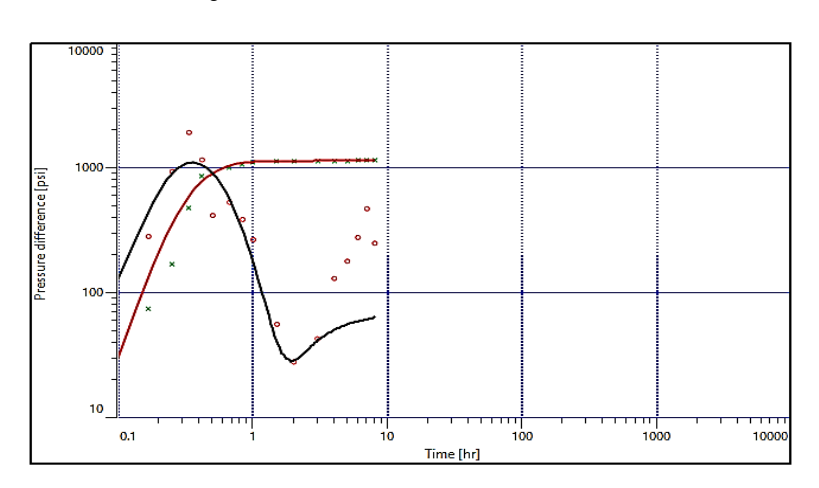
Ajuste de la derivada PRH-001 (1988)



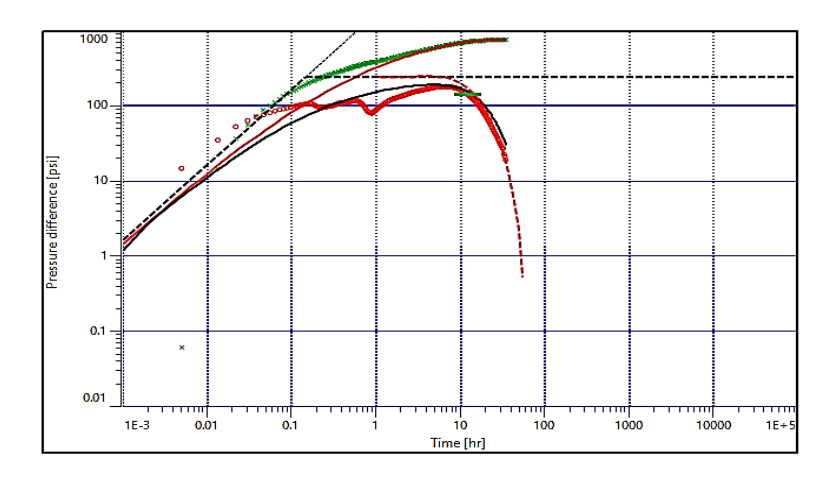
Ajuste de la derivada PRH-003 (2005)



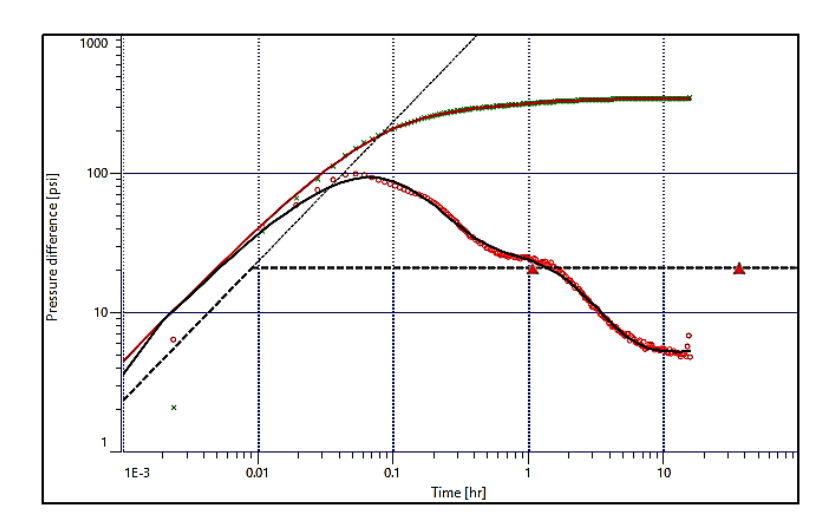
Ajuste de la derivada PRH-002 (1992)



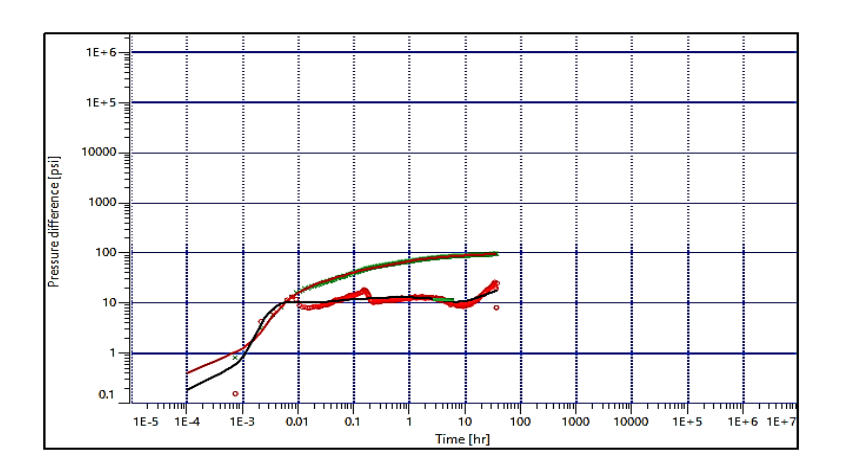
Ajuste de la derivada PRH-005 (1988)



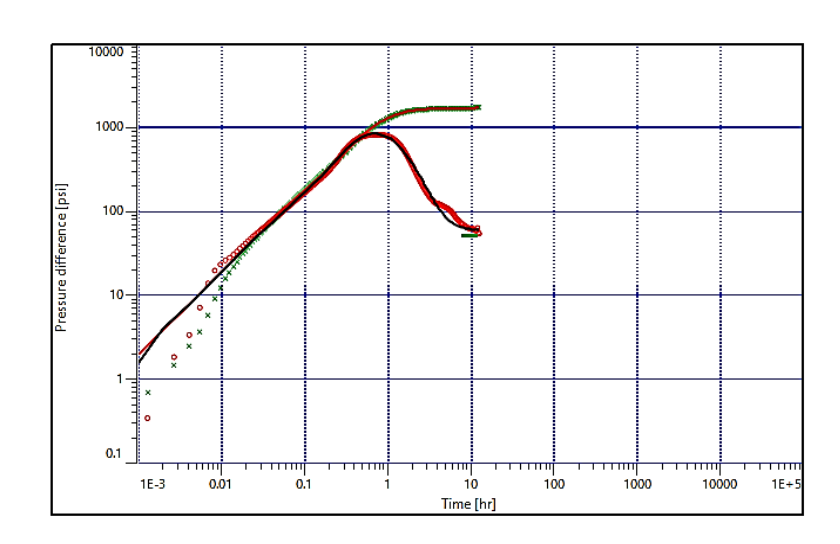
Ajuste de la derivada PRH-012 (2008)



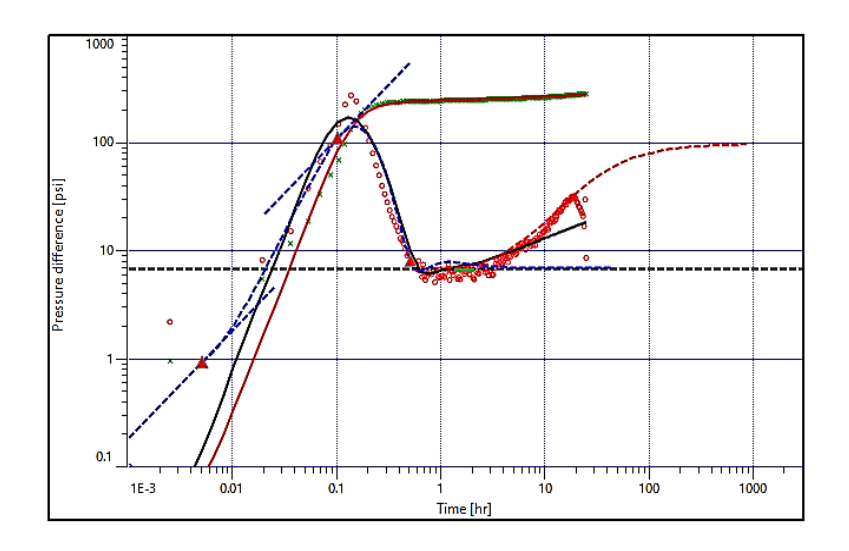
Ajuste de la derivada PRH-013 (2008)



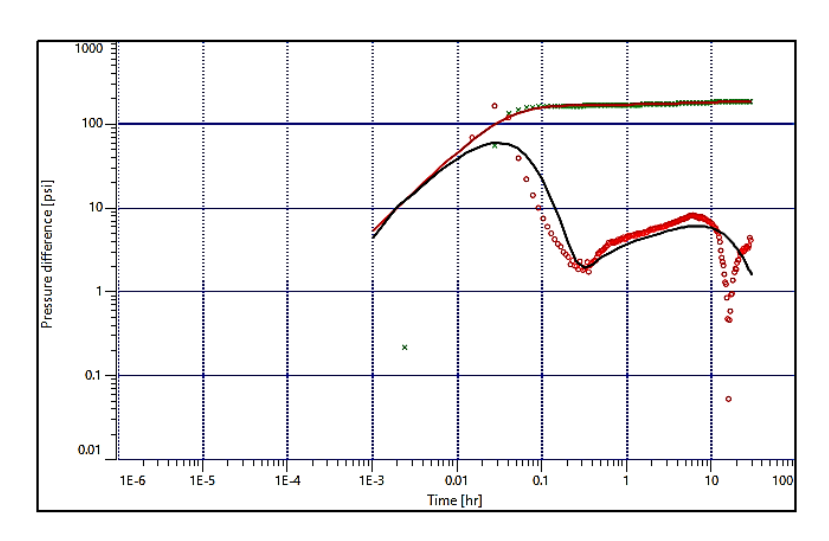
Ajuste de la derivada PRH-012 (2014)



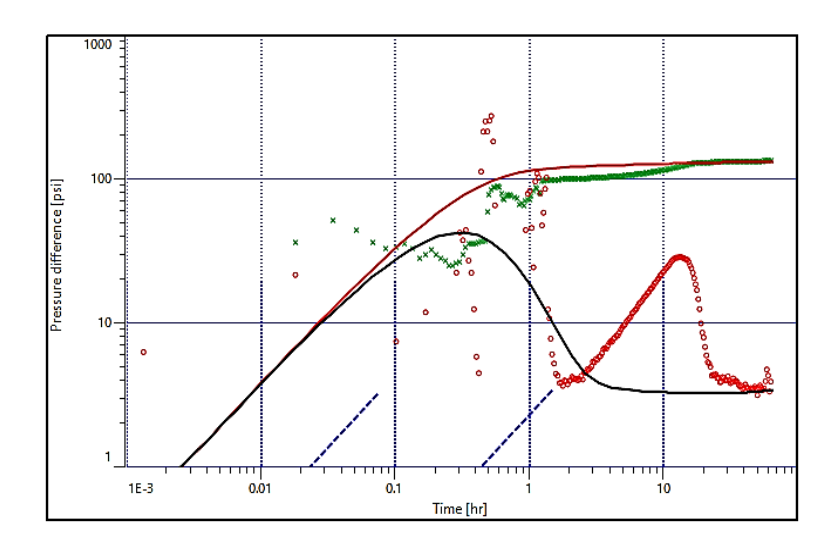
Ajuste de la derivada PRH-014 (2008)



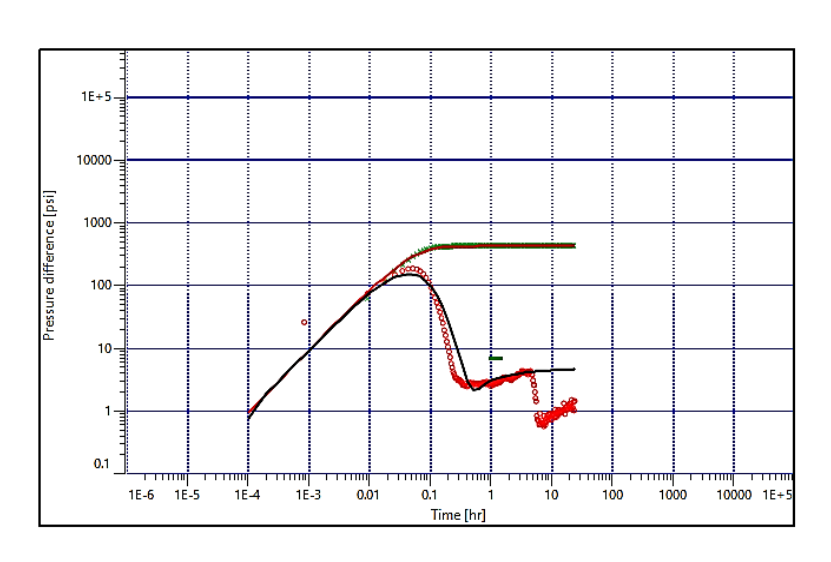
Ajuste de la derivada PRH-016 (2010)



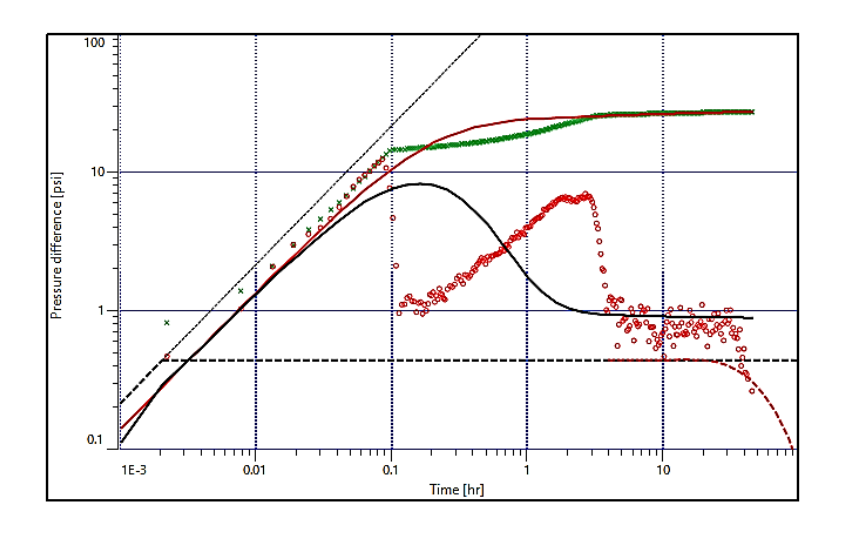
Ajuste de la derivada PRH-018 (2011)



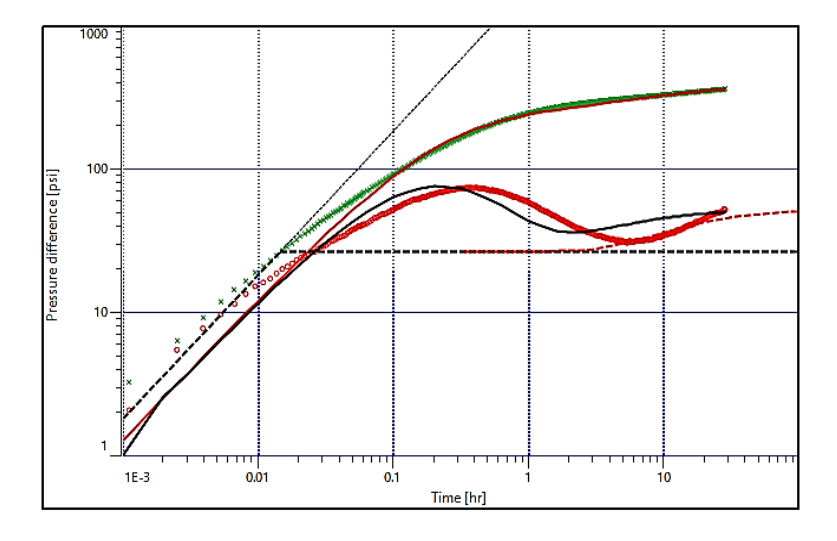
Ajuste de la derivada PRH-018 (2010)



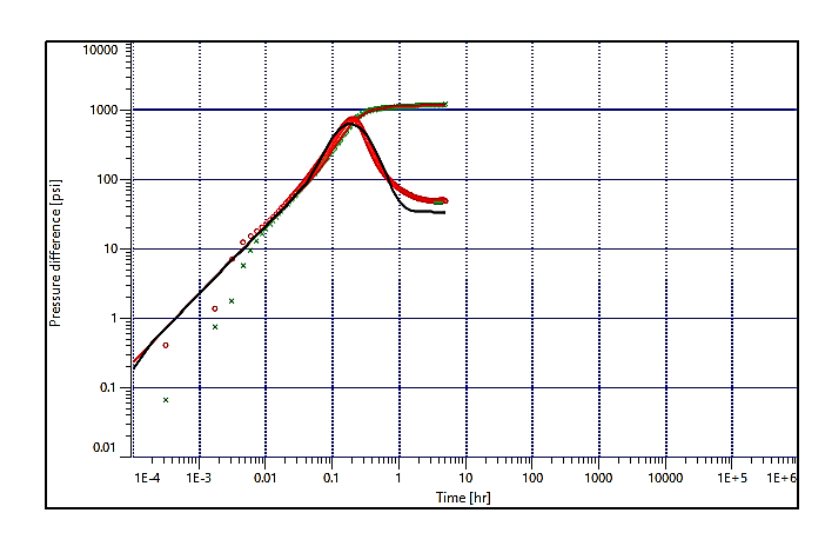
Ajuste de la derivada PRH-018 (02/2019)



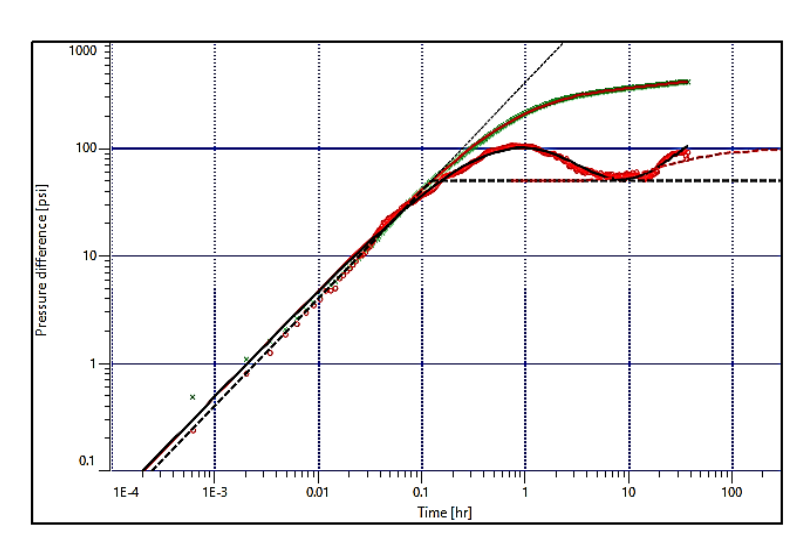
Ajuste de la derivada PRH-018 (03/2019)



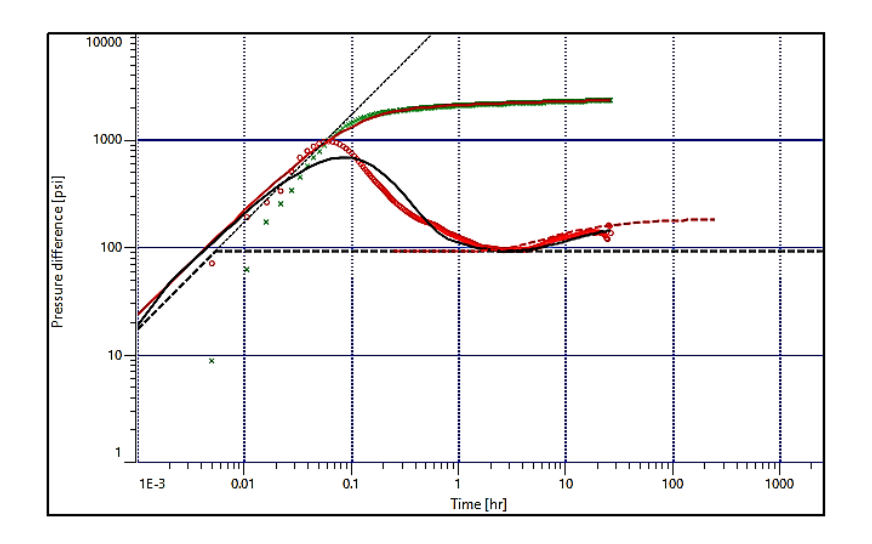
Ajuste de la derivada PRH-023 (2019)

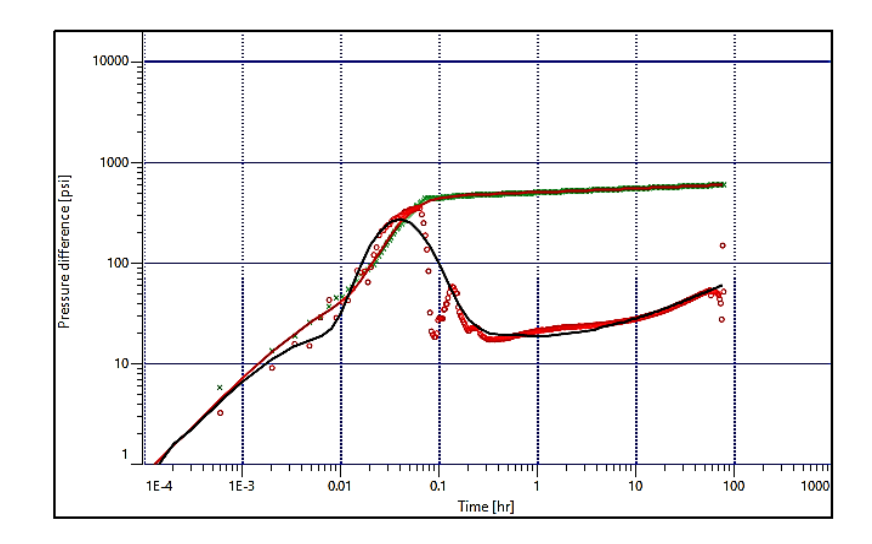


Ajuste de la derivada PRH-021 (2015)



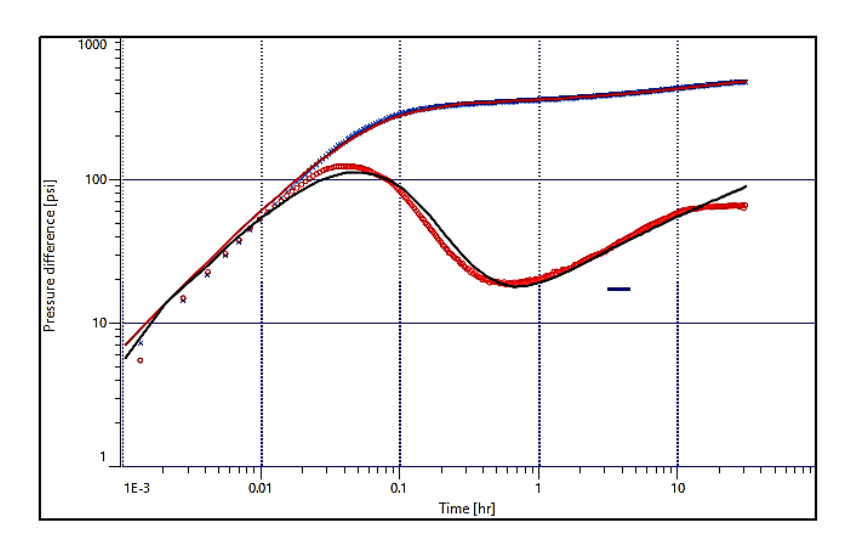
Ajuste de la derivada PRH-024 (2015)





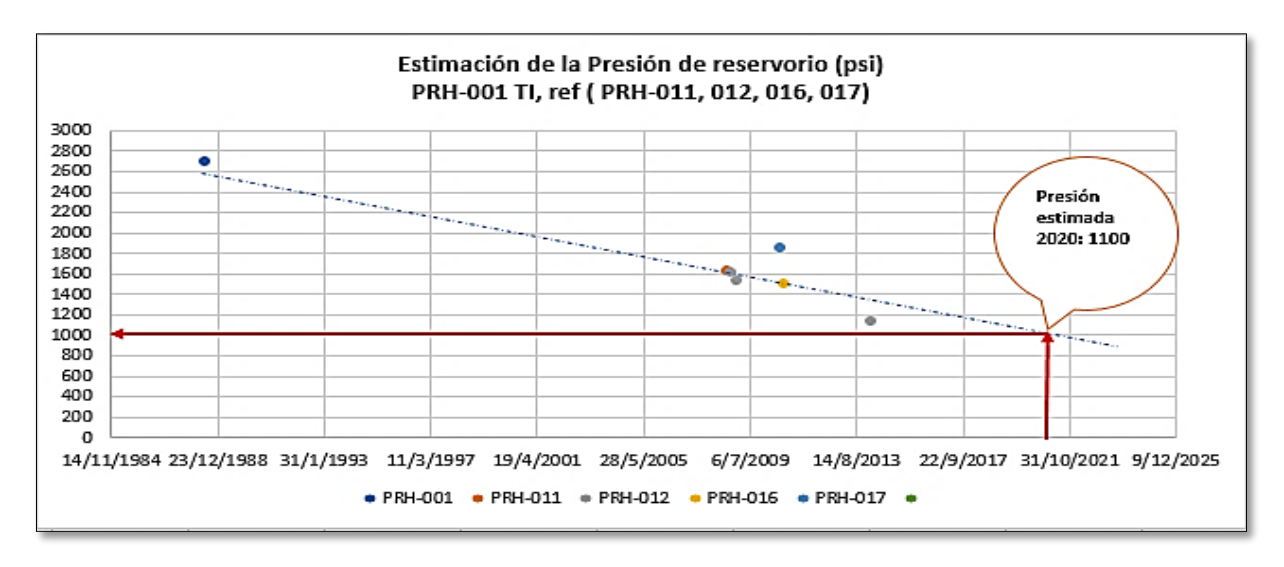
Ajuste de la derivada PRH-025 (2011)

Ajuste de la derivada PRH-031

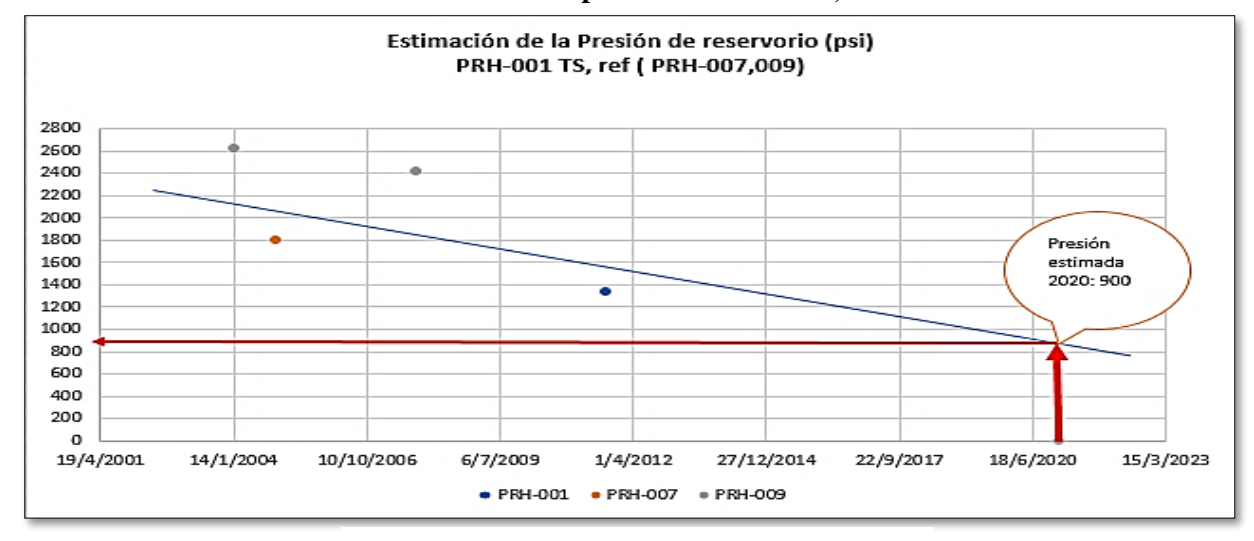


Ajuste de la derivada PRH-031 (2013)

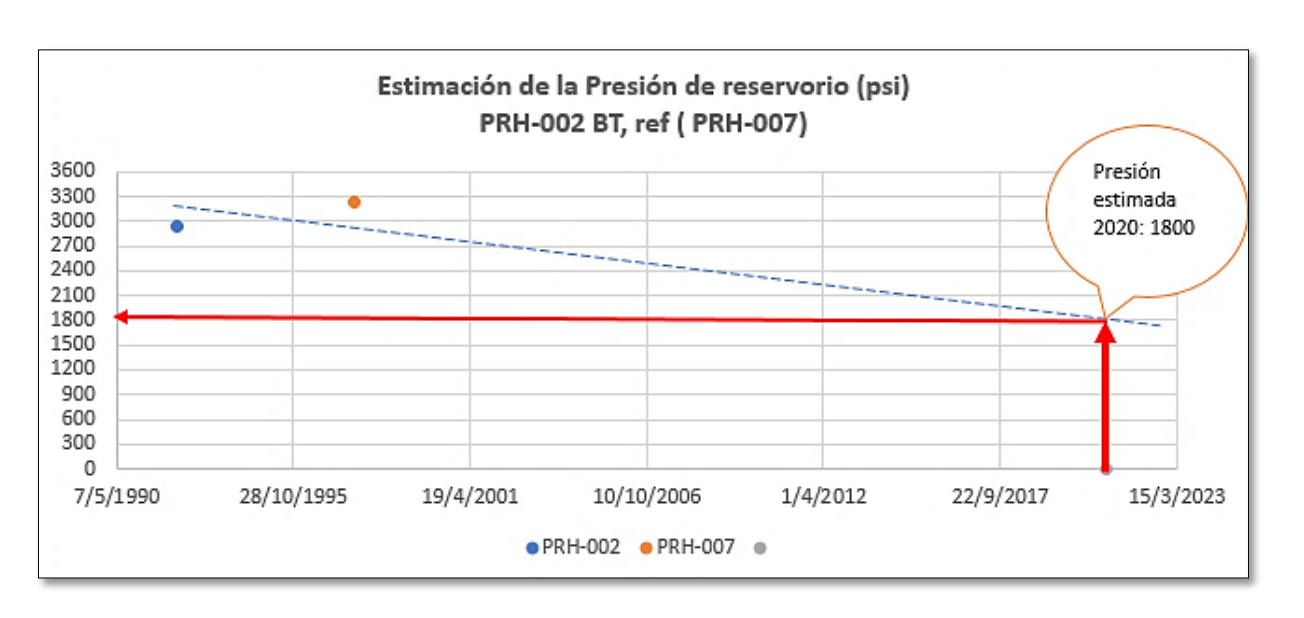
### Apéndice No. 2



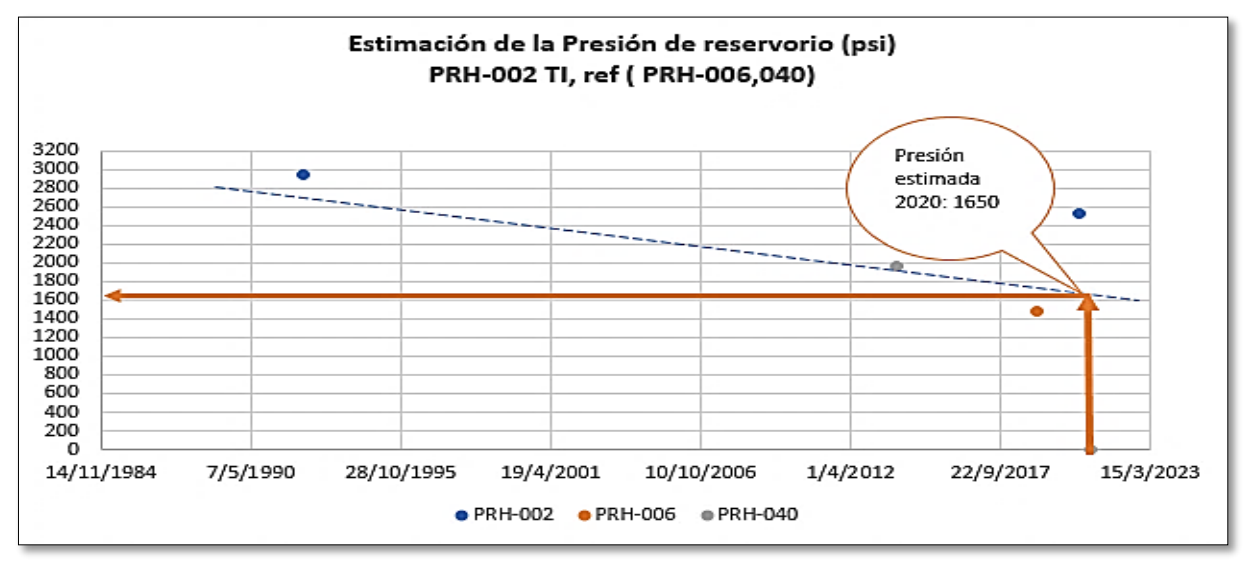
Estimación de presión de PRH-001, TI



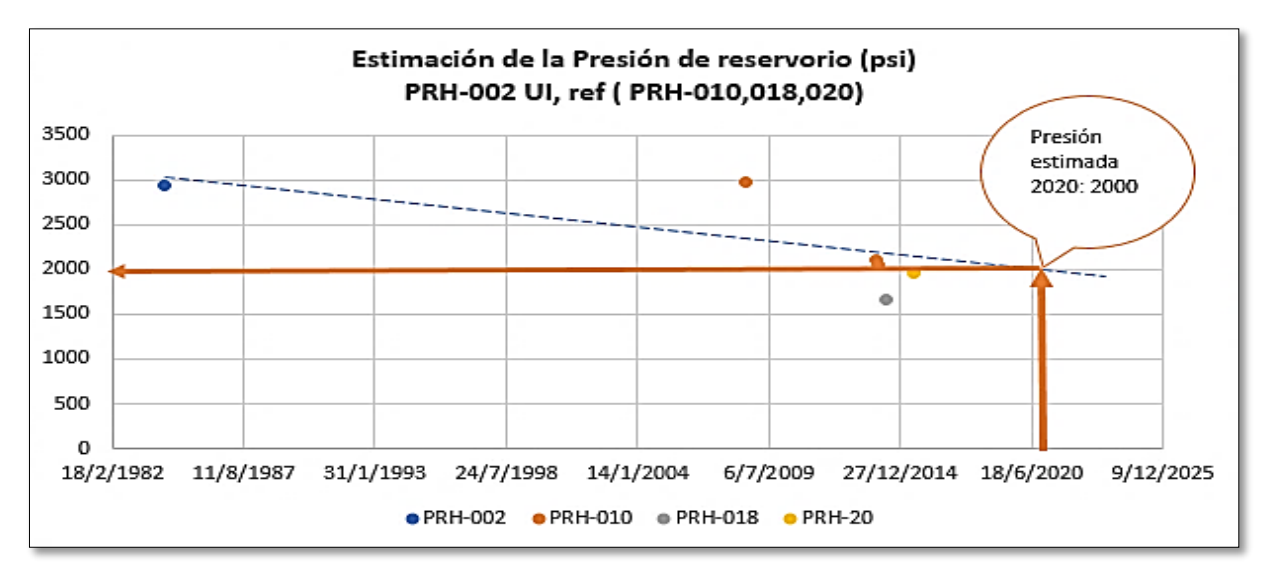
Estimación de presión de PRH-001, TS



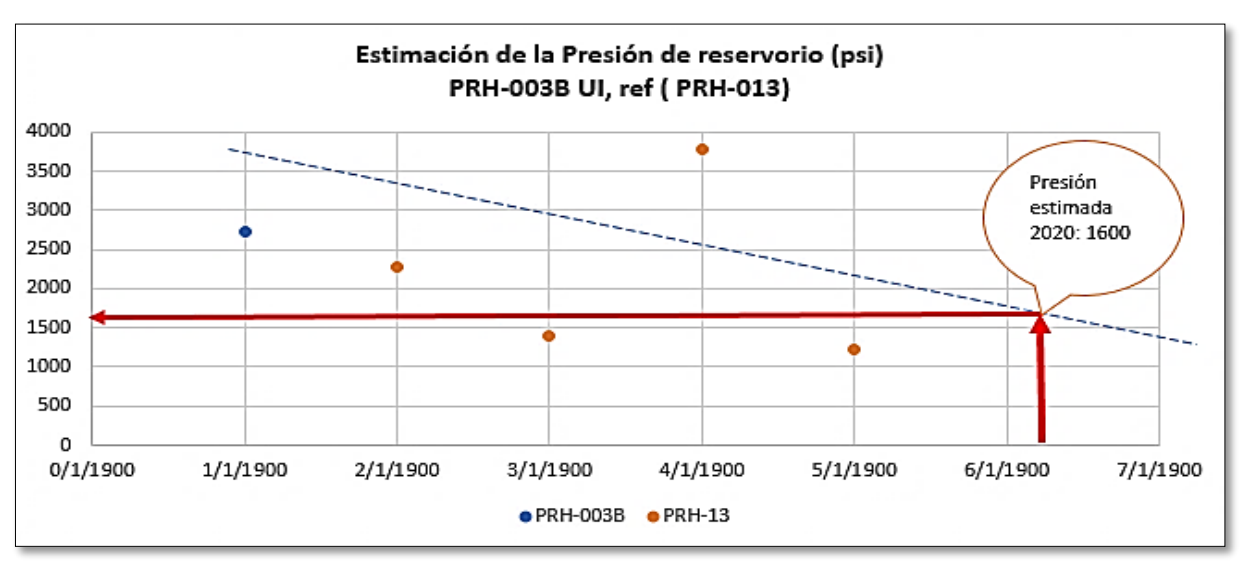
Estimación de presión de PRH-002, BT



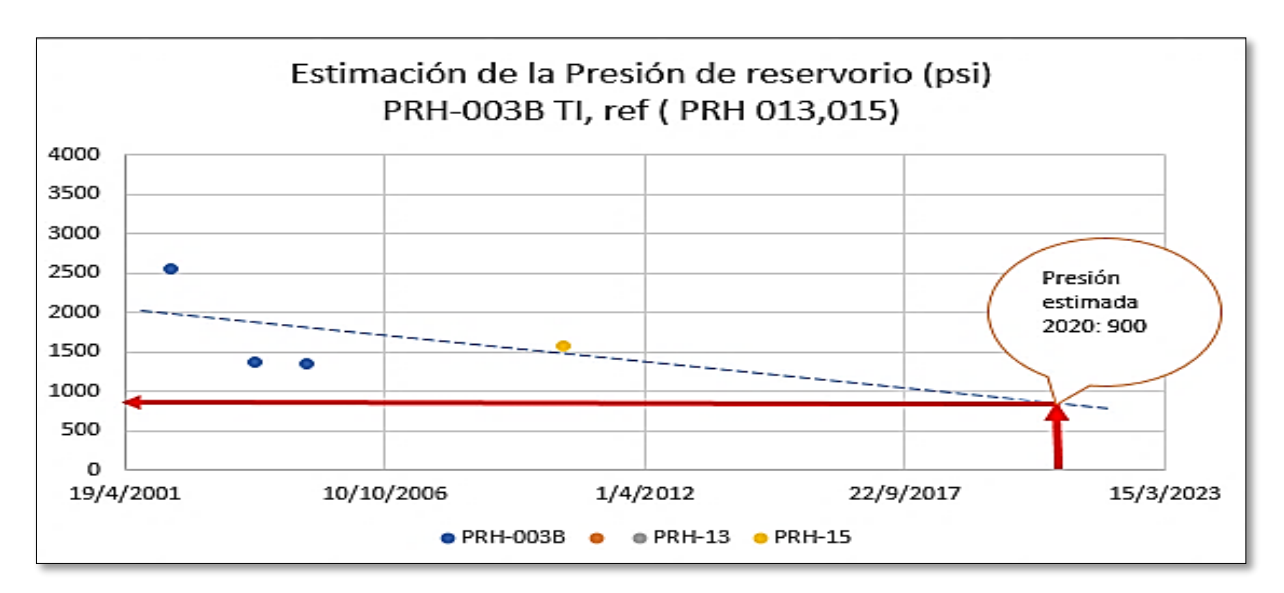
Estimación de presión de PRH-002, TI



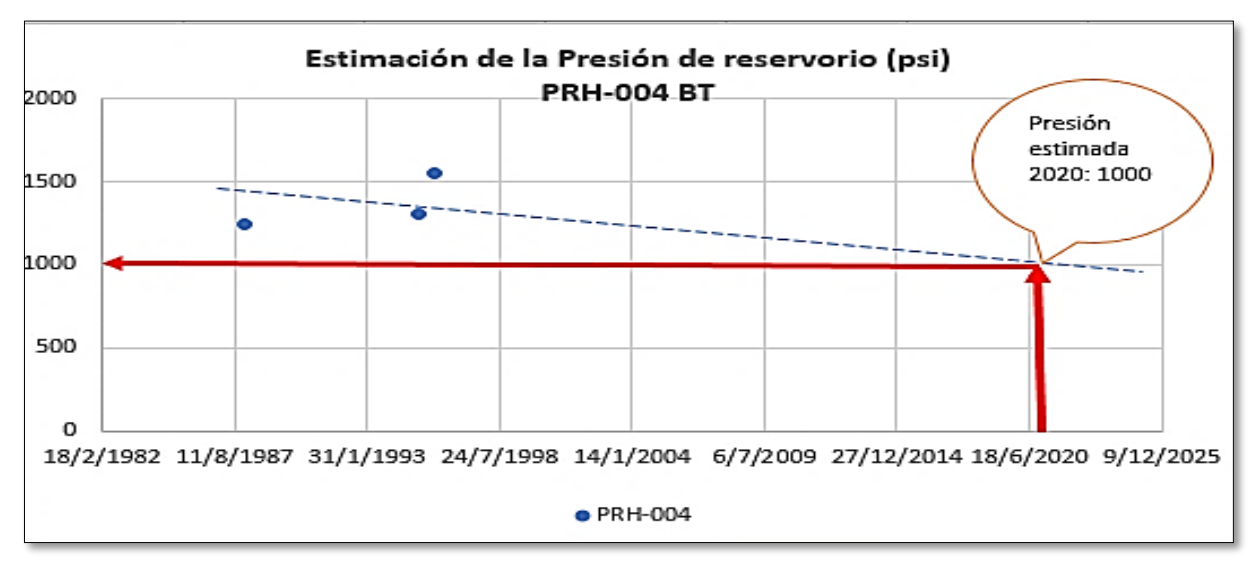
Estimación de presión de PRH-002, UI



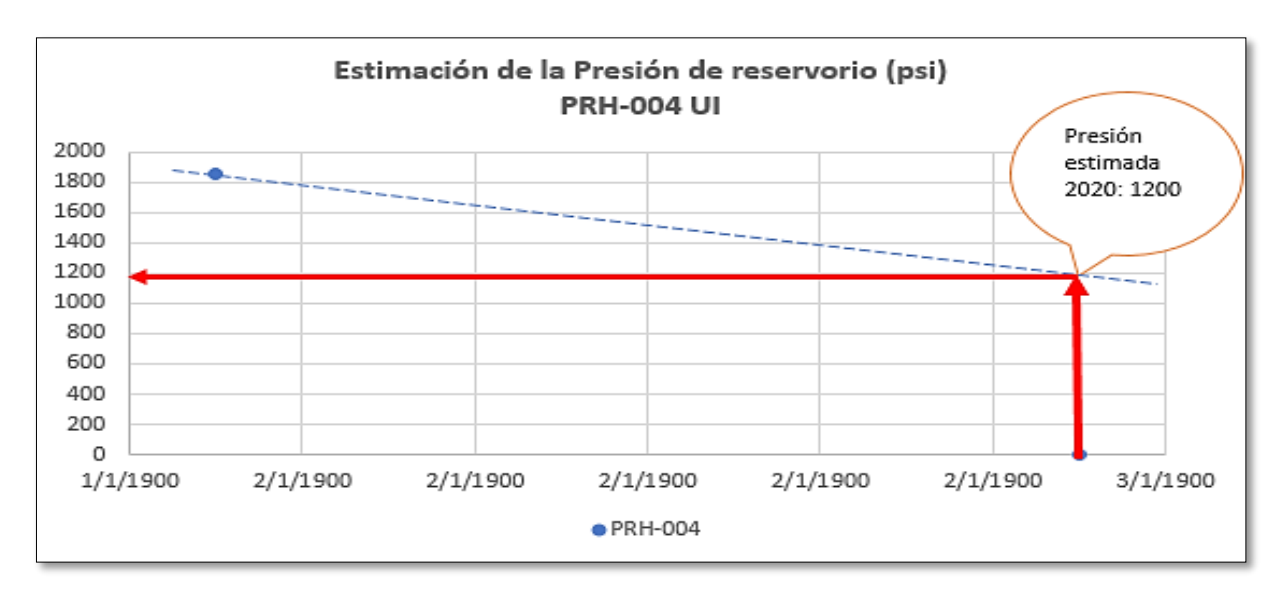
Estimación de presión de PRH-003B, UI



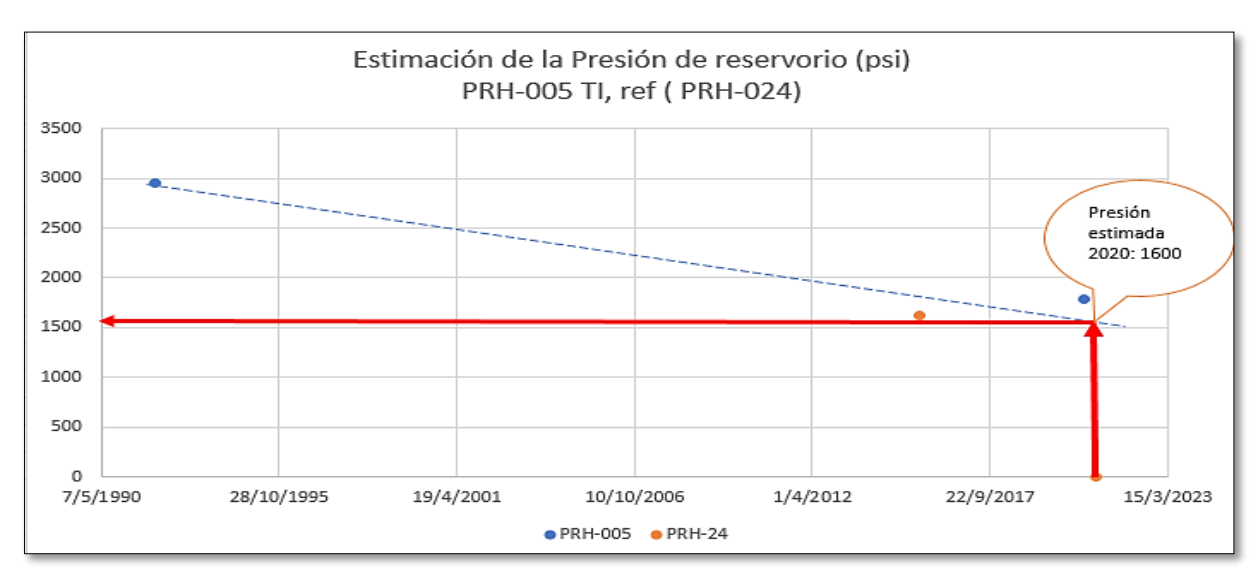
Estimación de presión de PRH-003B, TI



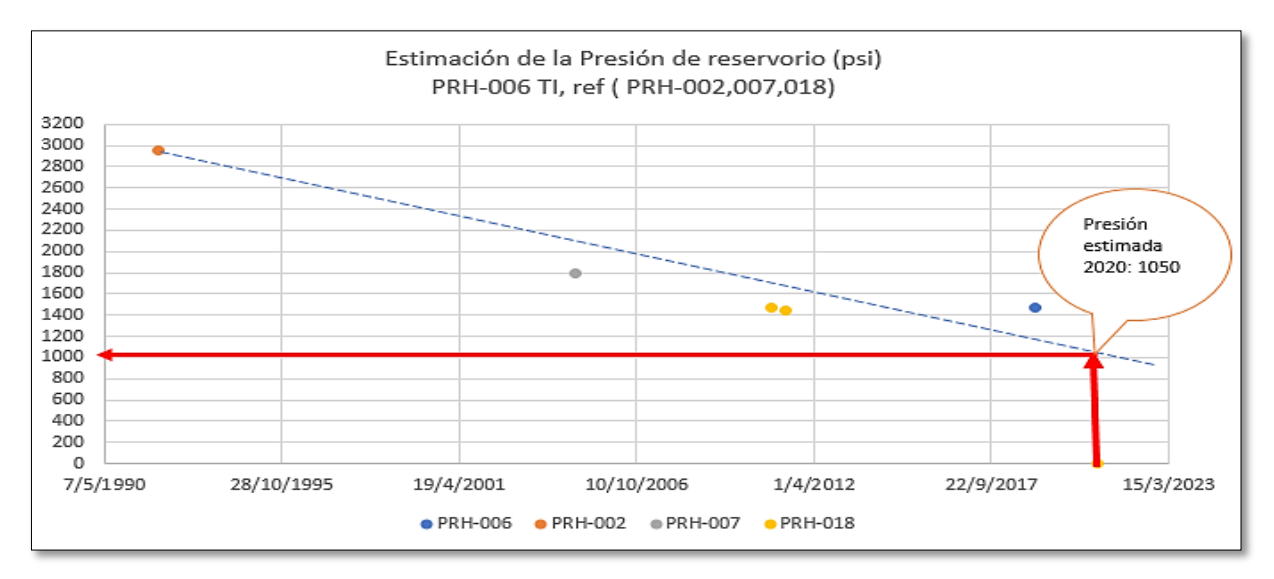
Estimación de presión de PRH-004, BT



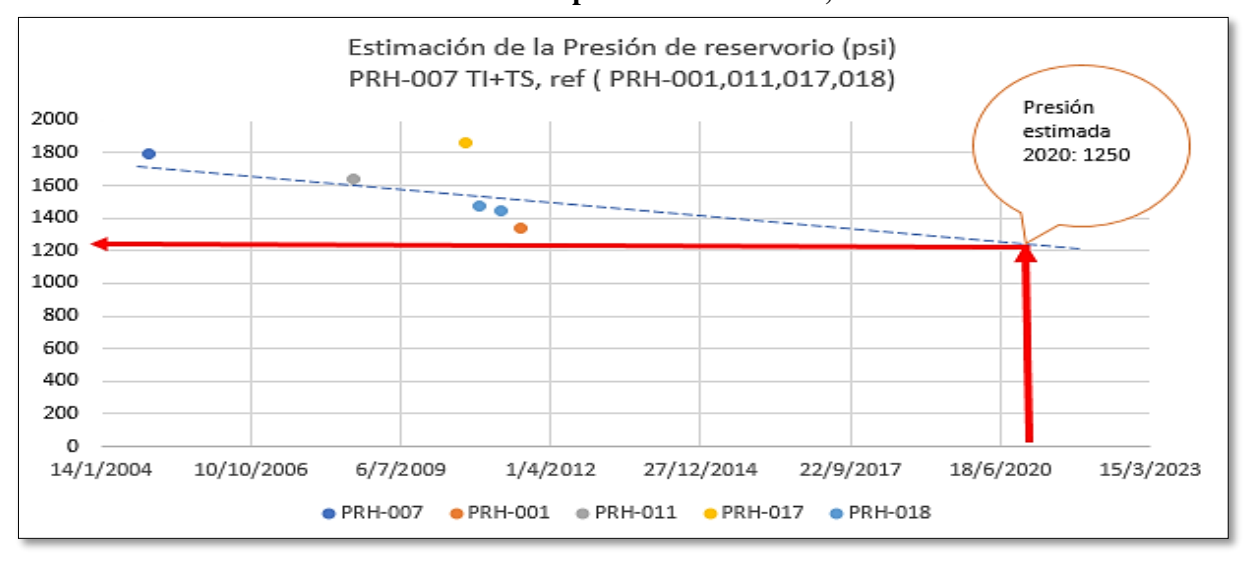
Estimación de presión de PRH-004, UI



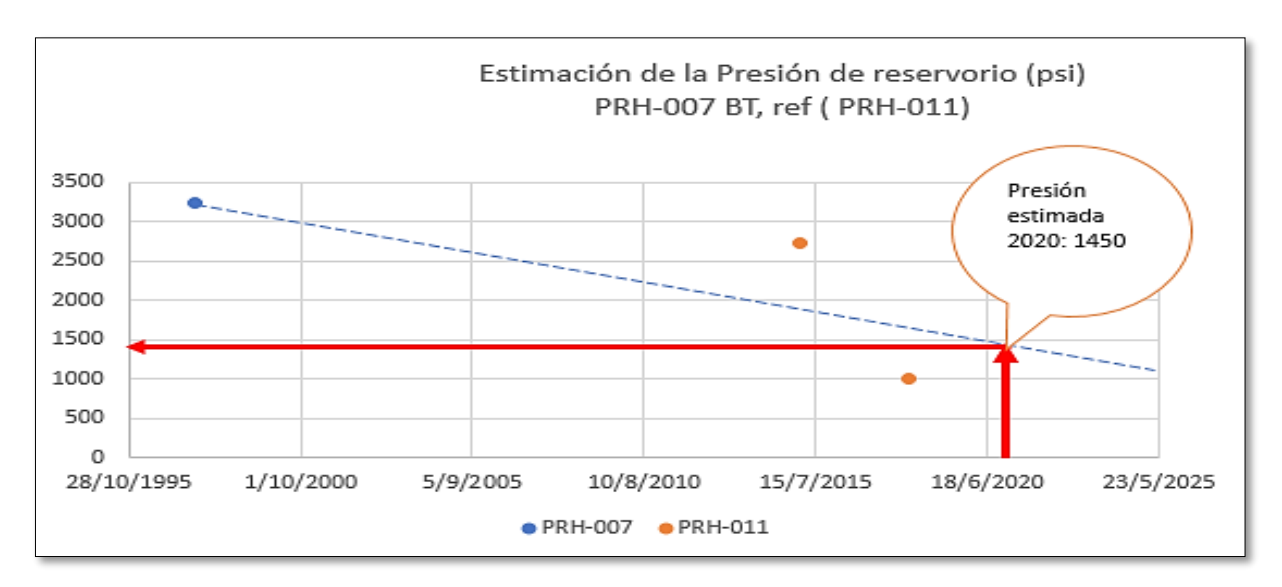
Estimación de presión de PRH-005, TI



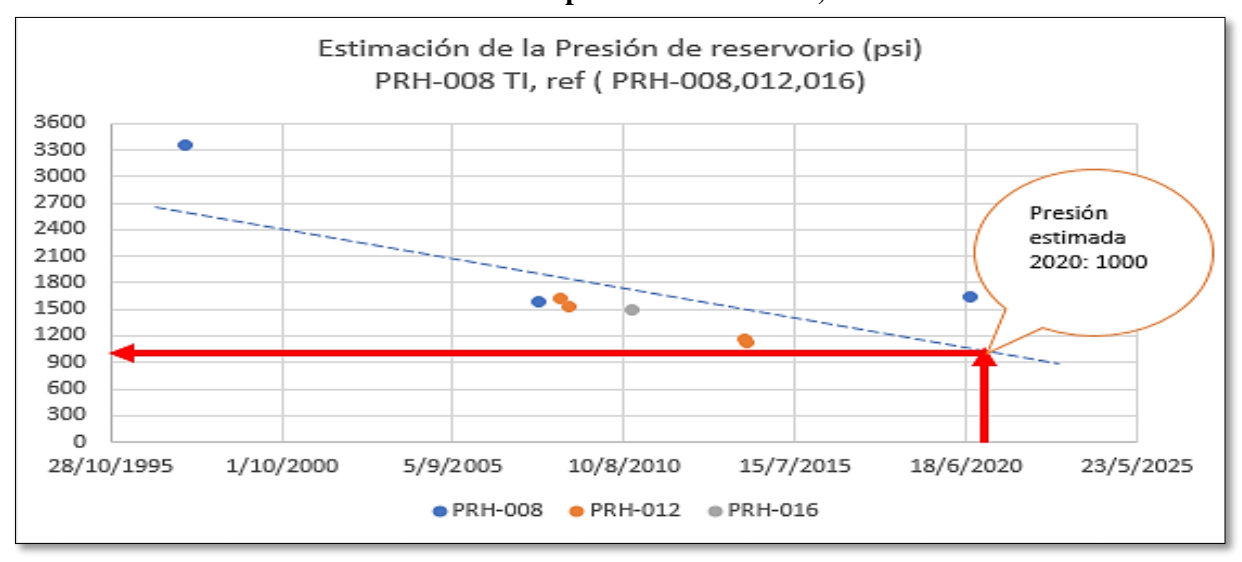
Estimación de presión de PRH-006, TI



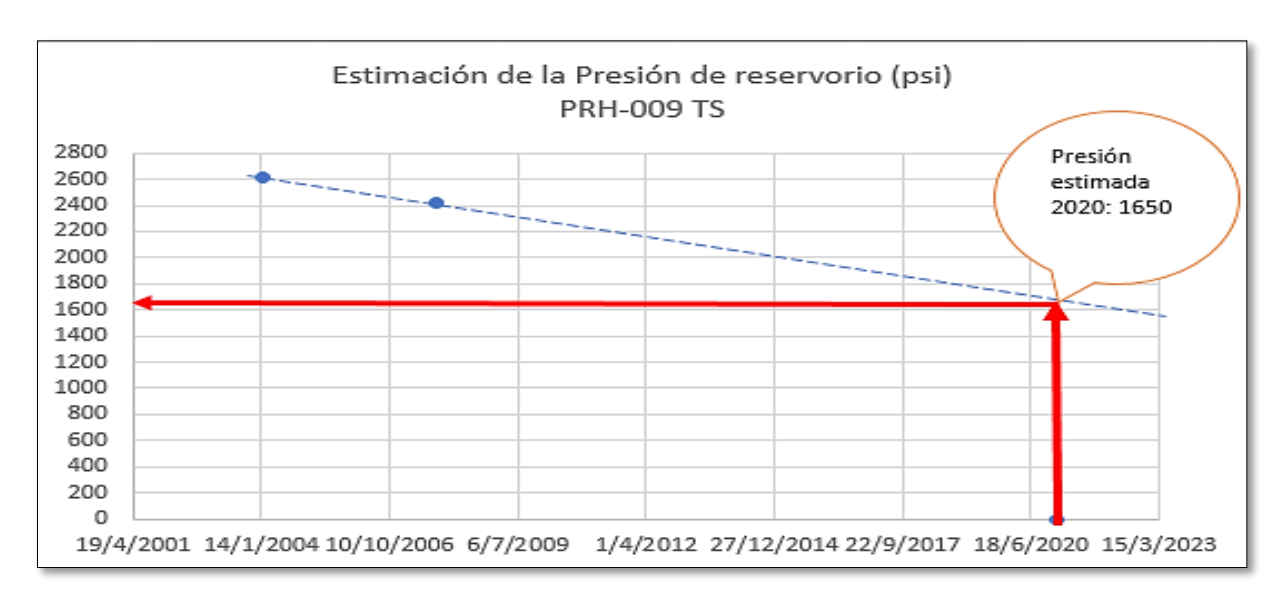
Estimación de presión de PRH-007, TI+TS



Estimación de presión de PRH-007, BT



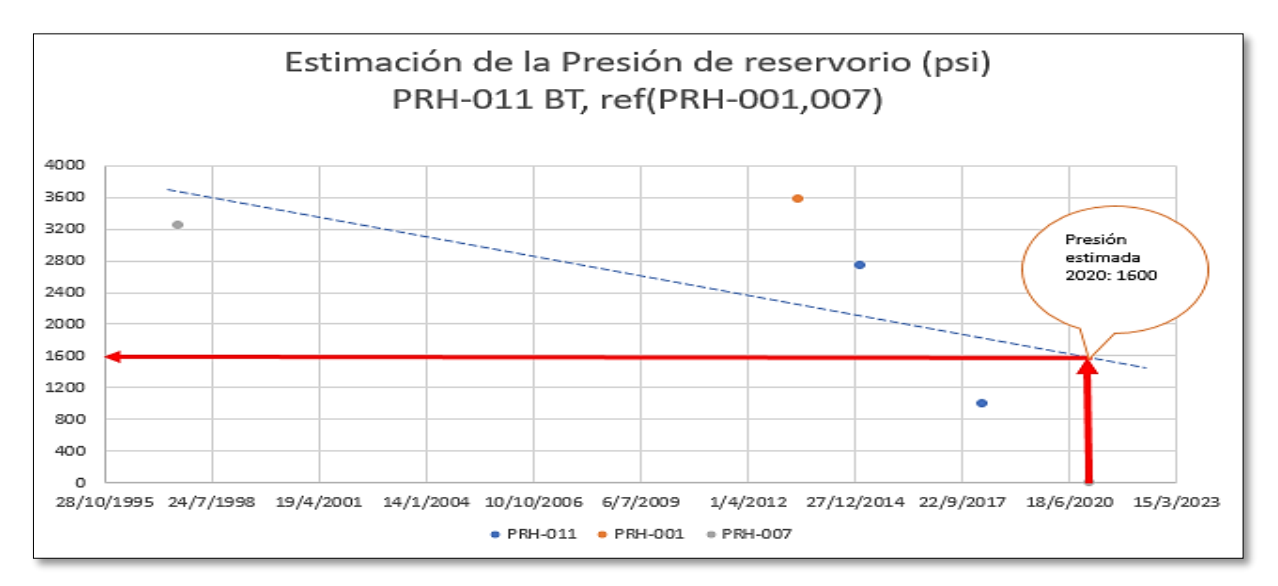
Estimación de presión de PRH-008, TI



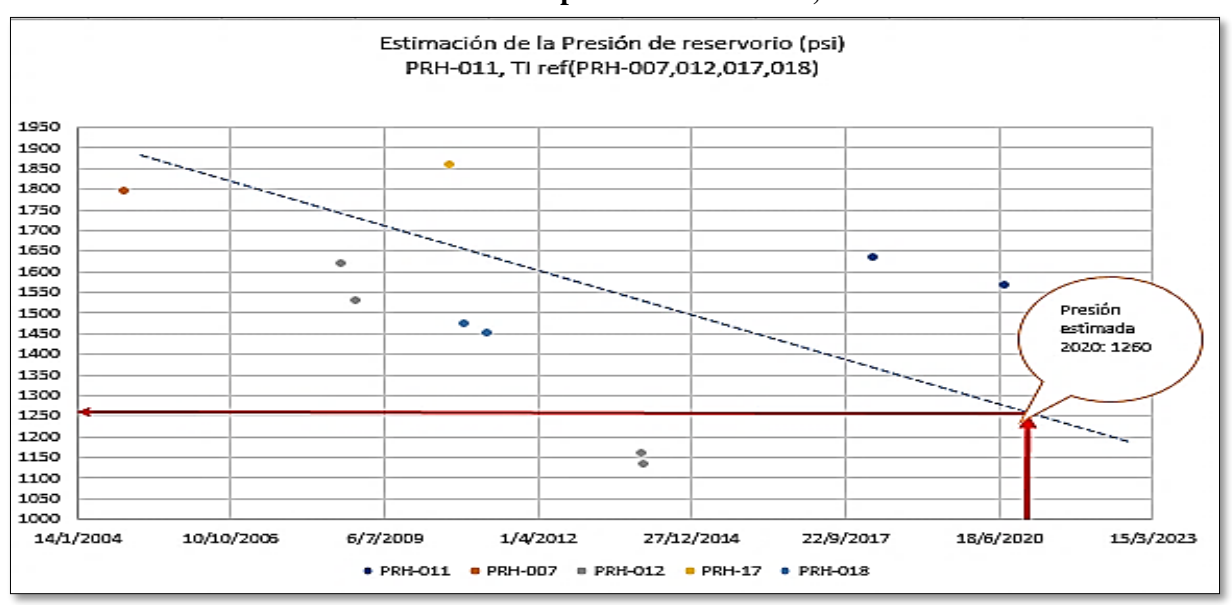
Estimación de presión de PRH-009, TS



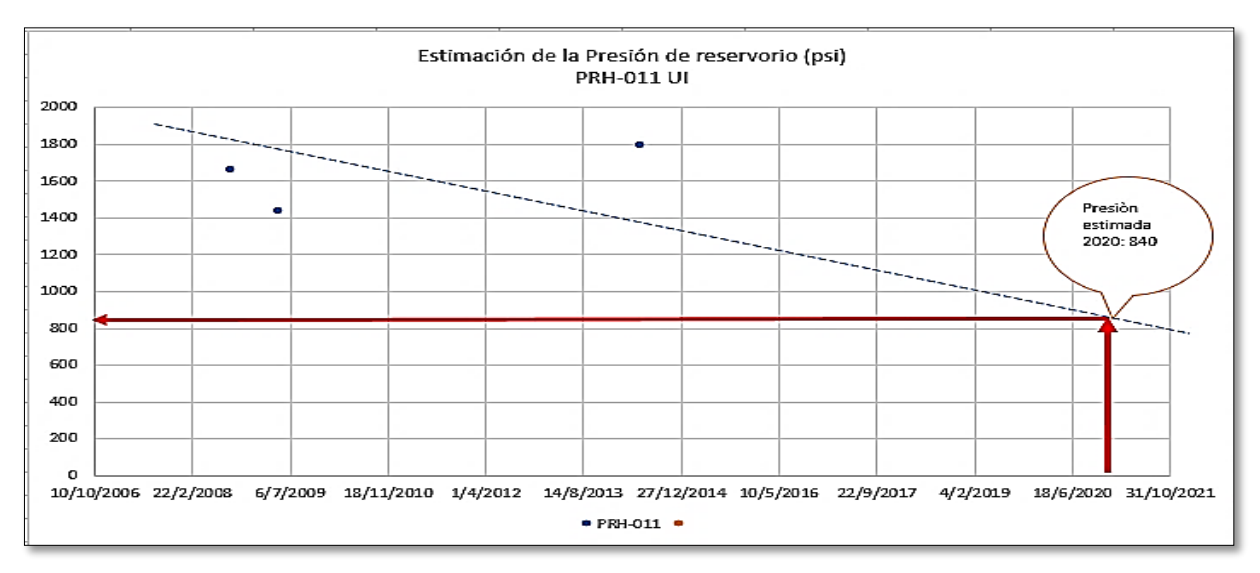
Estimación de presión de PRH-010, UI



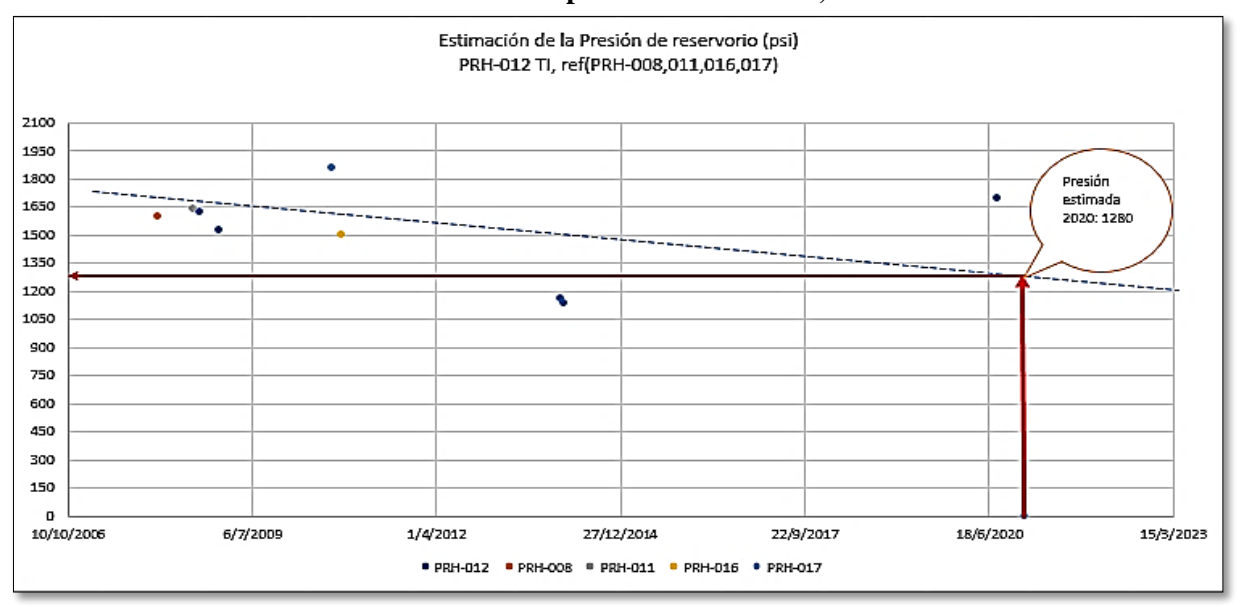
Estimación de presión de PRH-011, BT



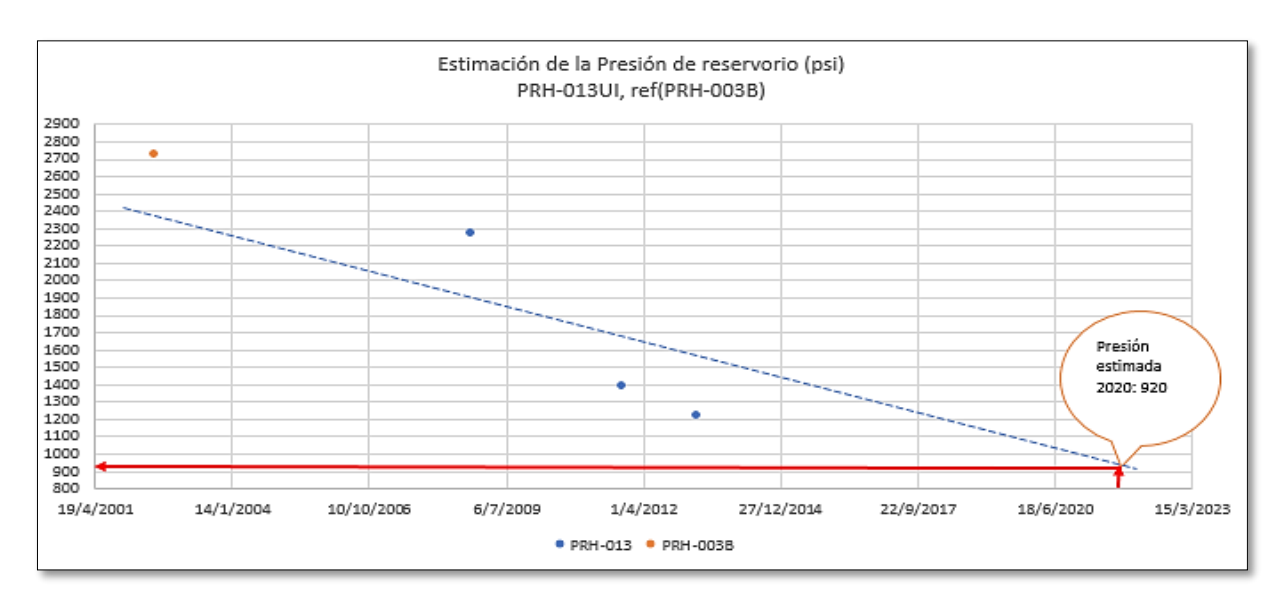
Estimación de presión de PRH-011, TI



### Estimación de presión de PRH-011, UI



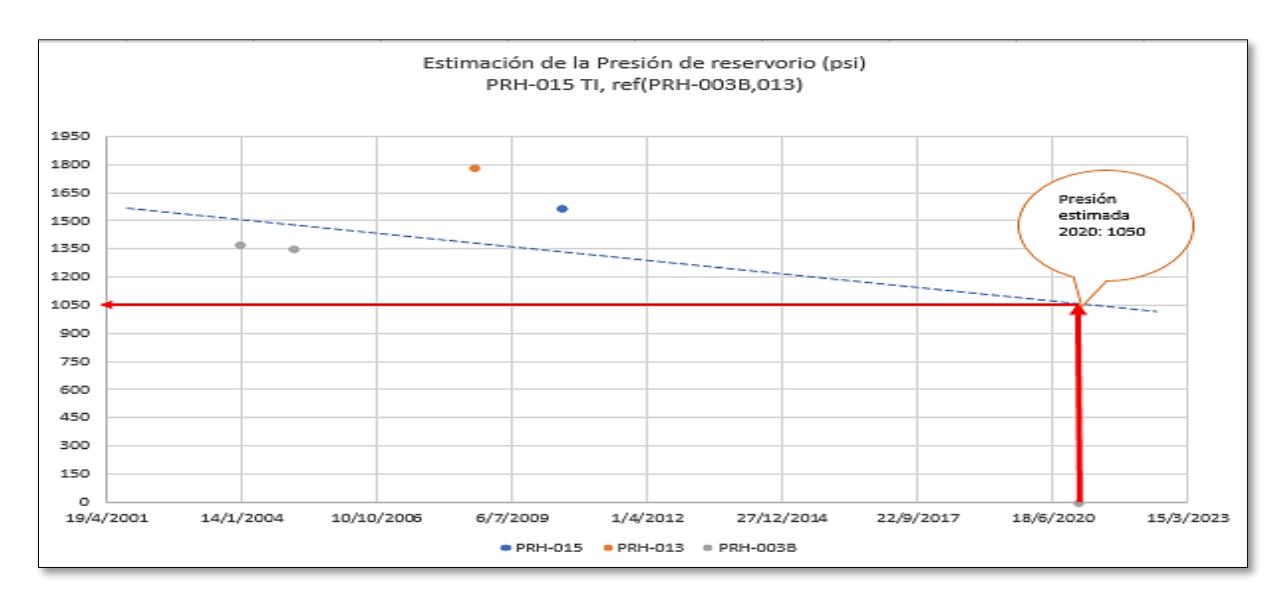
Estimación de presión de PRH-012, TI



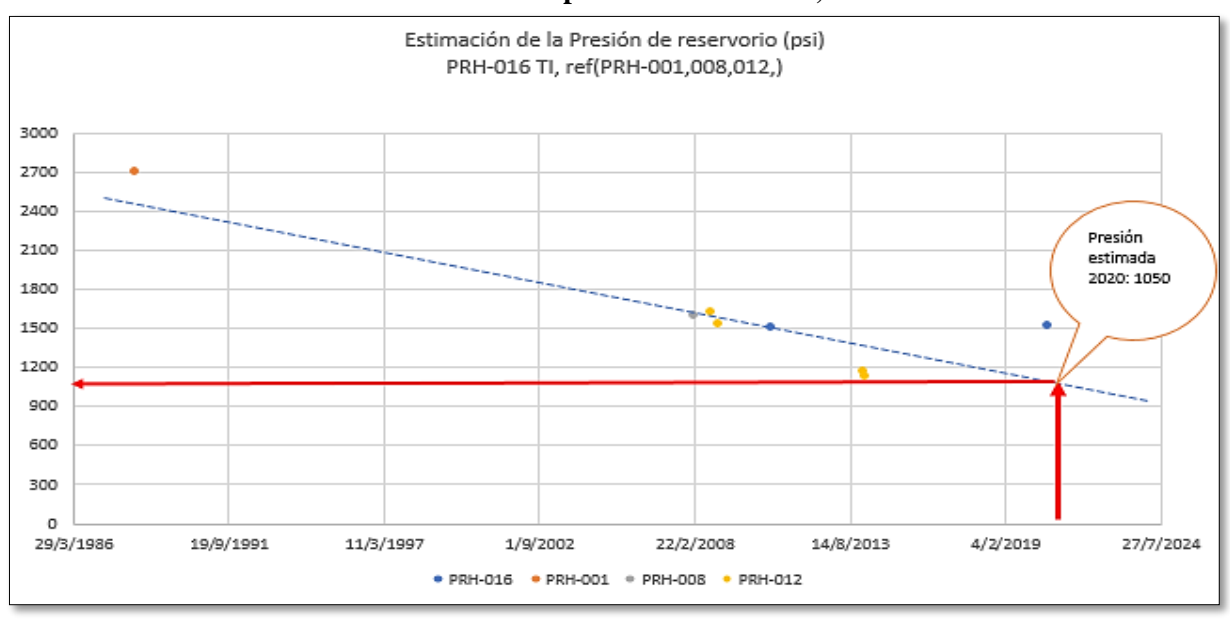
Estimación de presión de PRH-013, UI



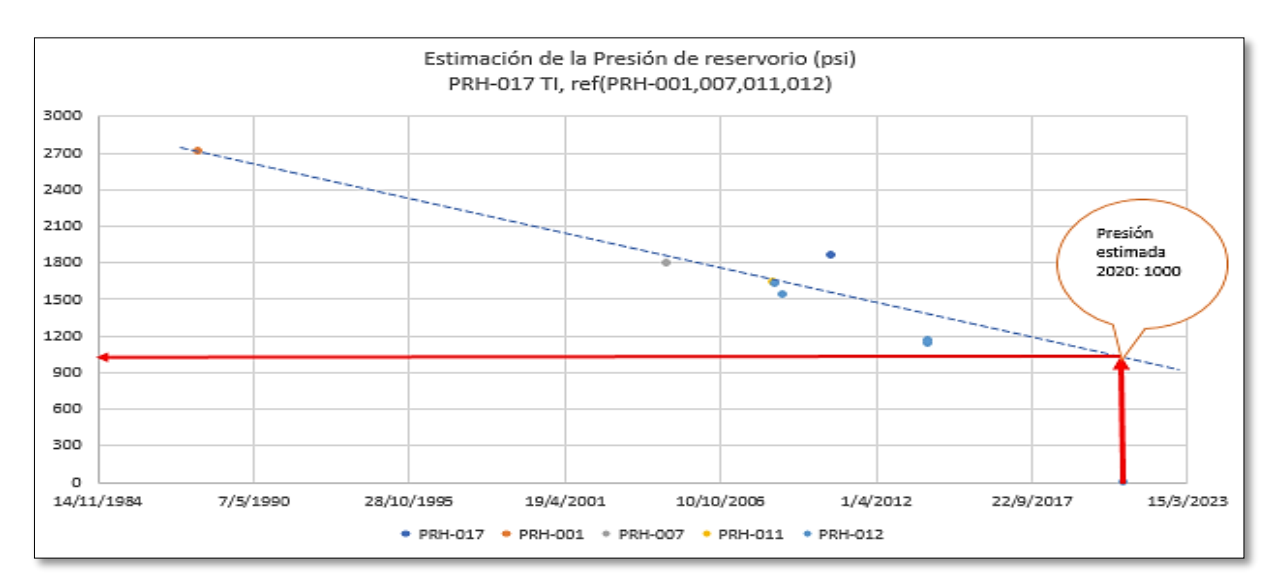
Estimación de presión de PRH-013, TI



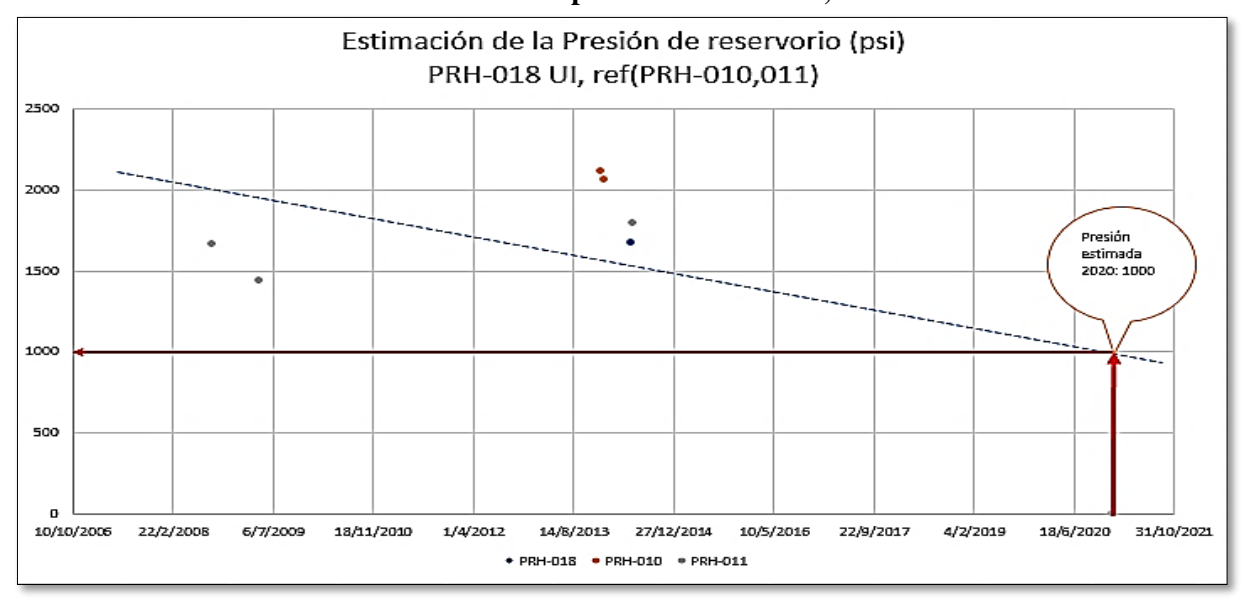
### Estimación de presión de PRH-015, TI



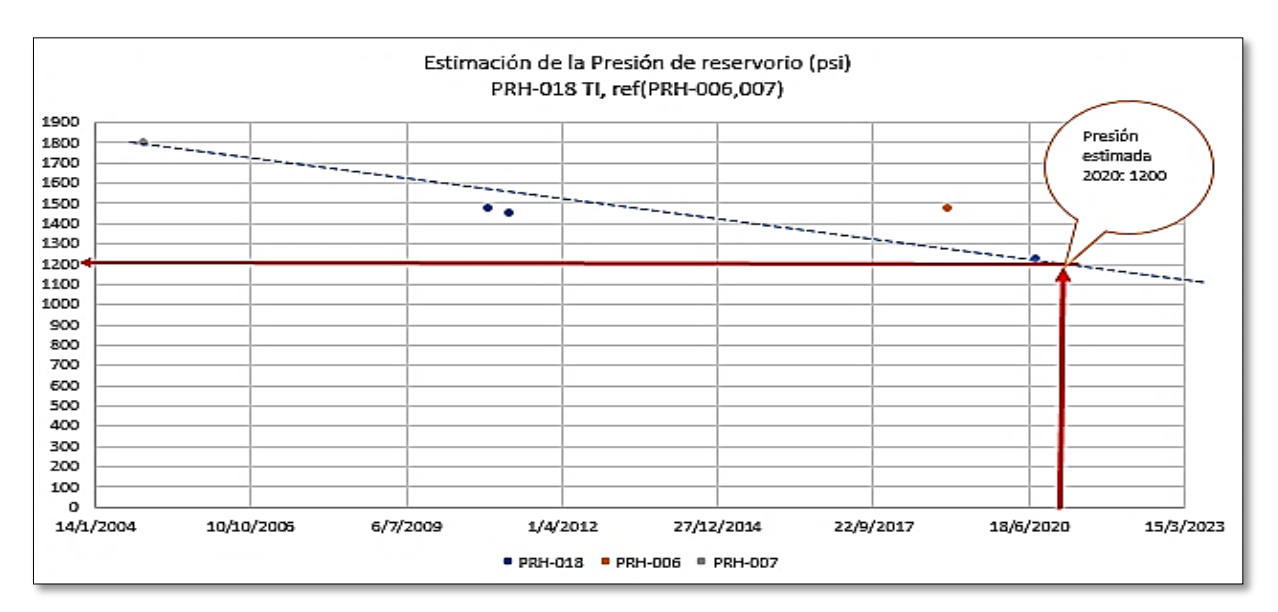
Estimación de presión de PRH-016, TI



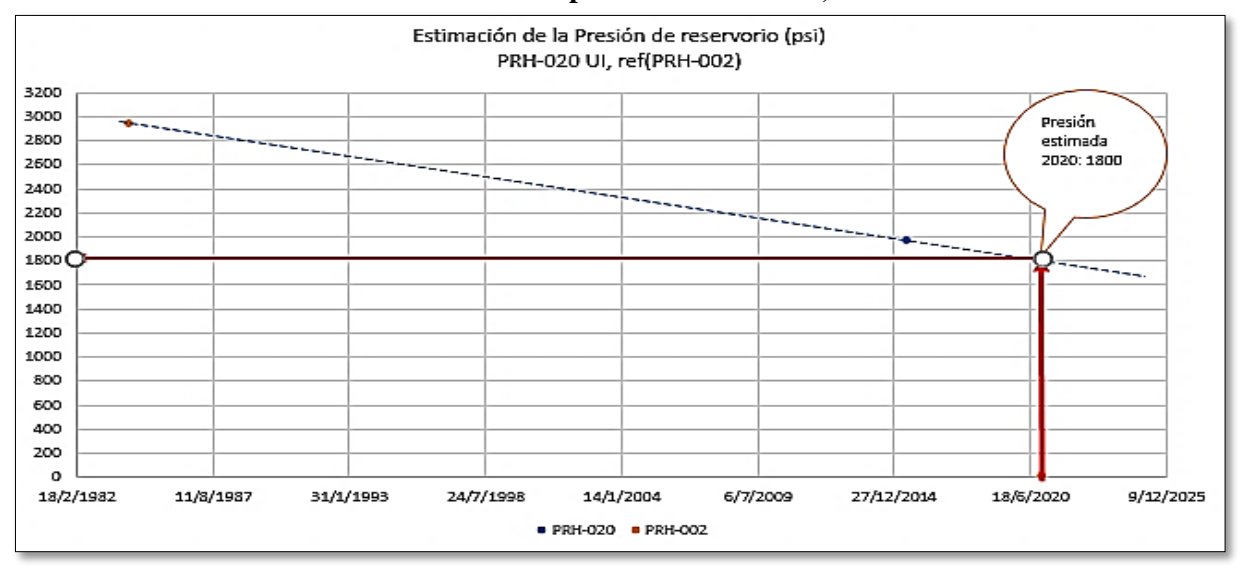
Estimación de presión de PRH-017, TI



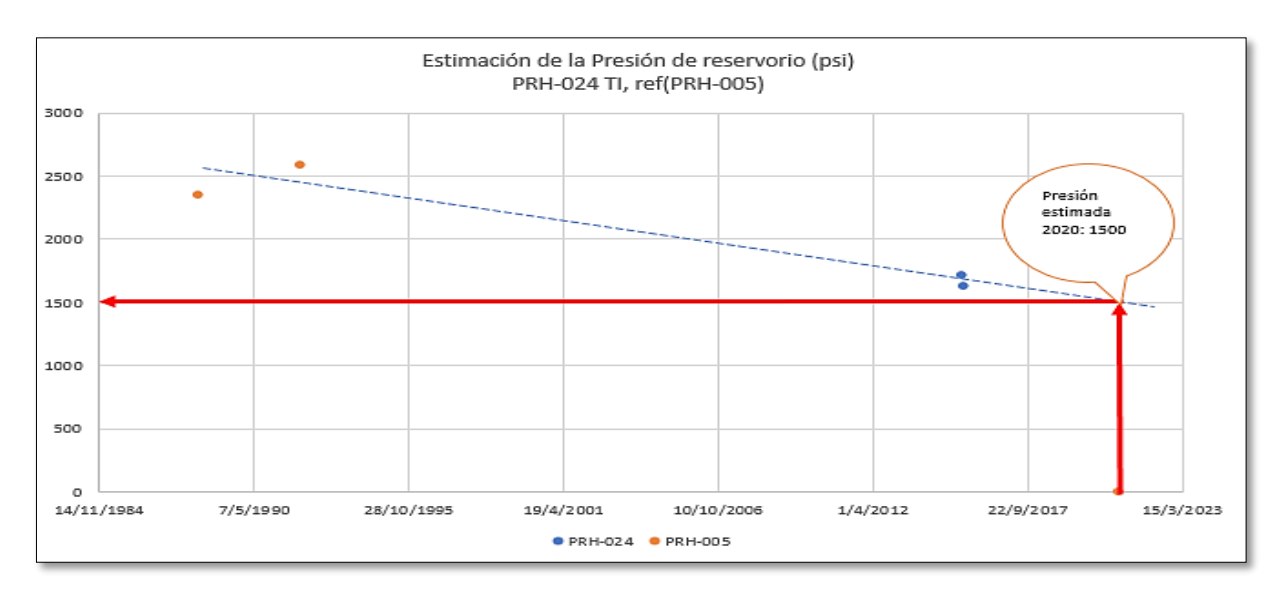
Estimación de presión de PRH-018, UI



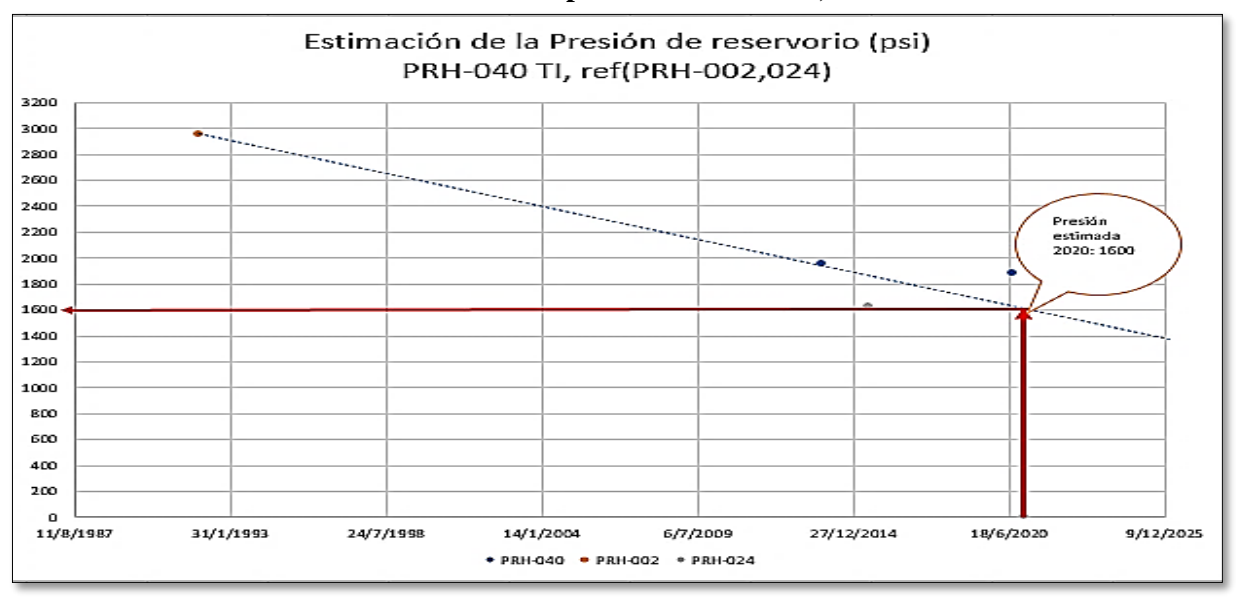
### Estimación de presión de PRH-018, TI



Estimación de presión de PRH-020, UI

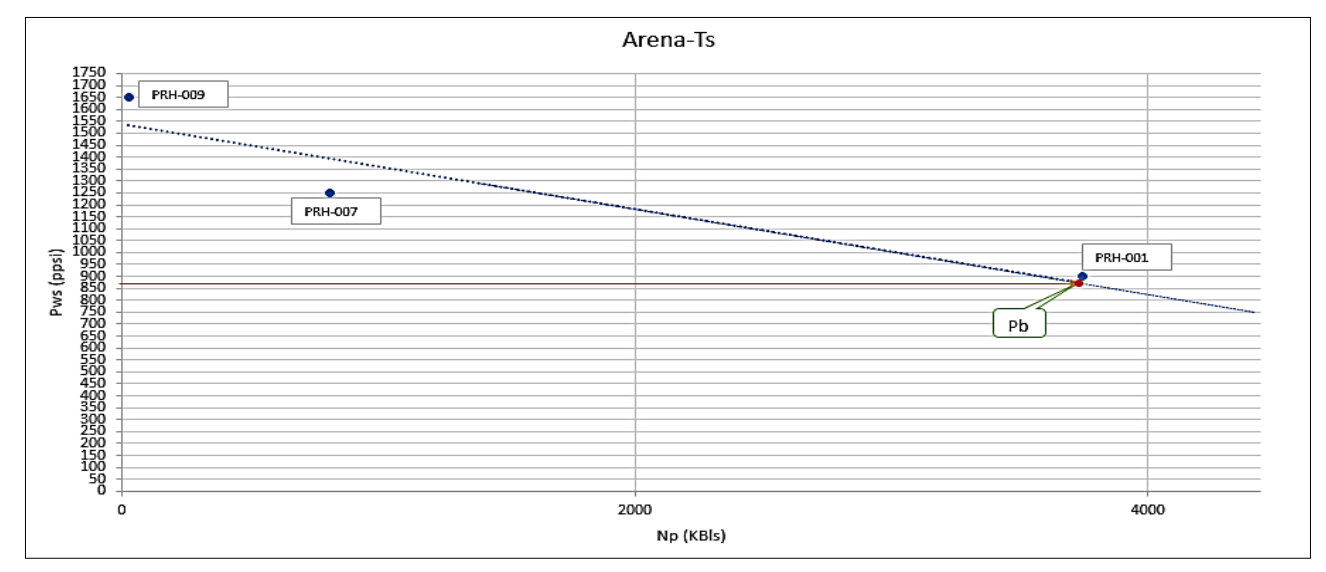


Estimación de presión de PRH-024, TI

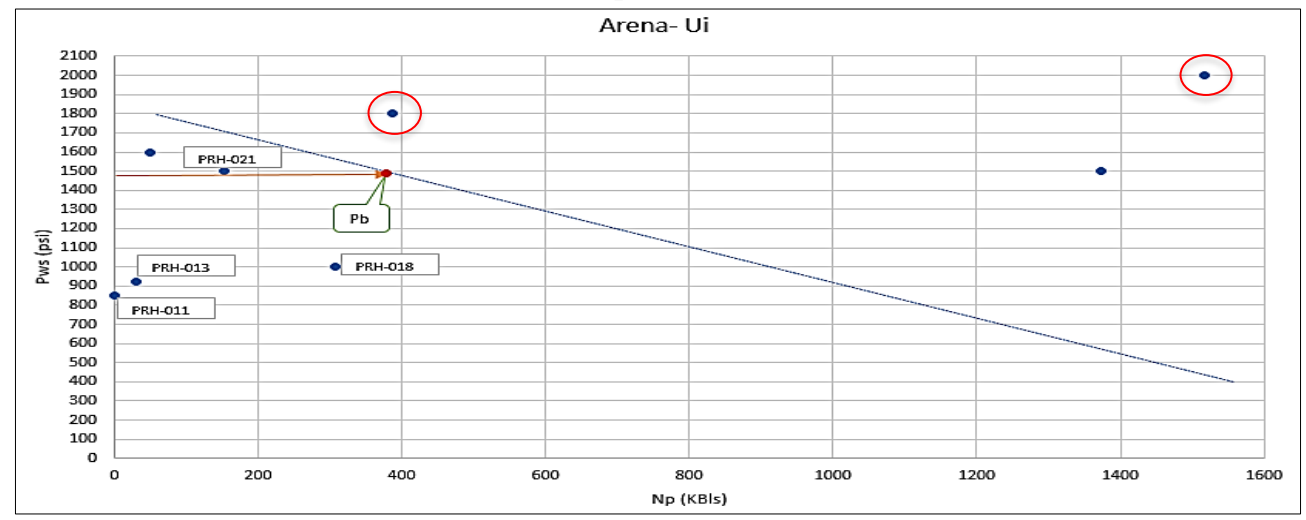


Estimación de presión de PRH-040, TI

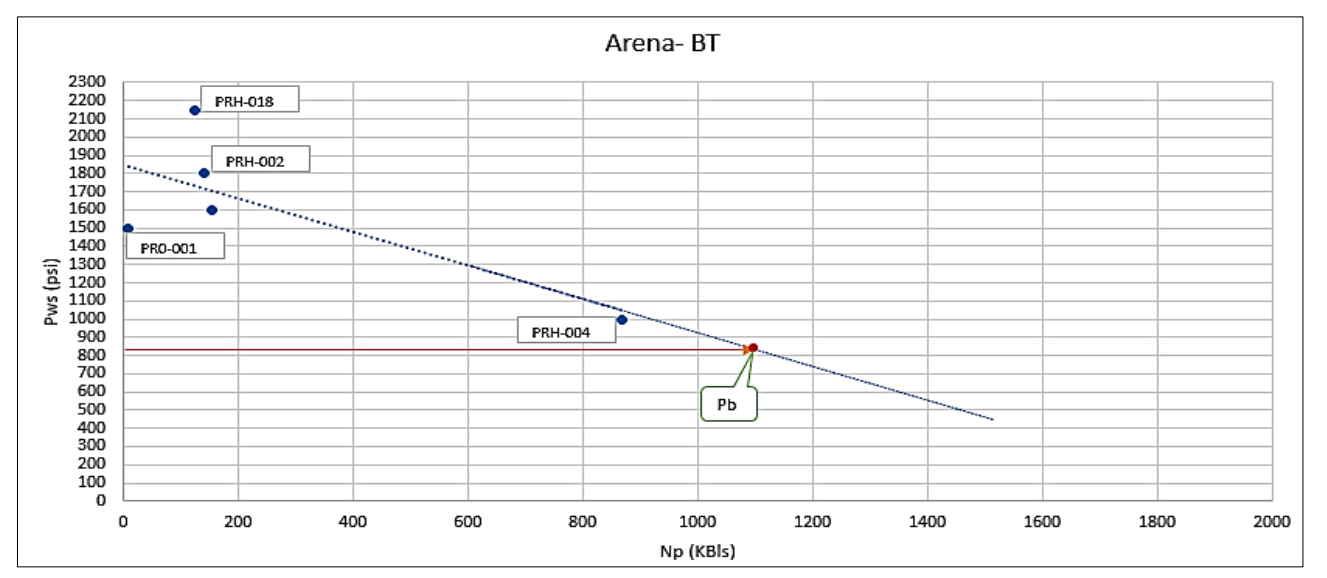
## Apéndice No 3.



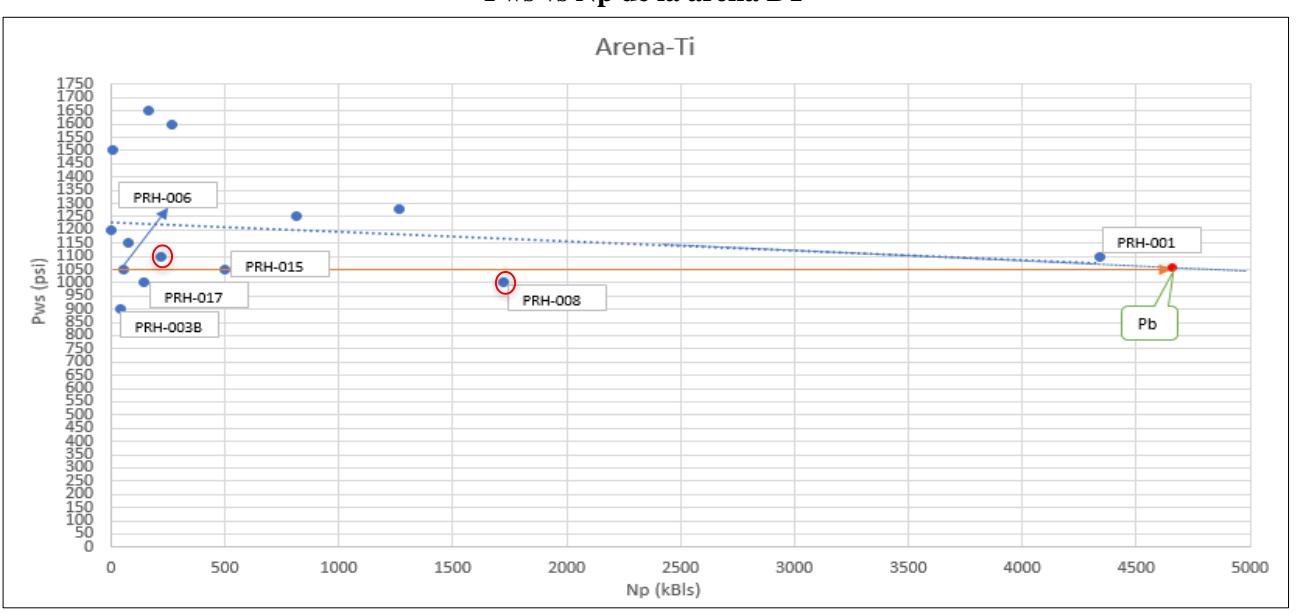
### Pws vs Np de la arena Ts



Pws vs Np de la arena UI



Pws vs Np de la arena BT



Pws vs Np de la arena TI